



# OFICINA ESPAÑOLA DE PATENTES Y MARCAS

**ESPAÑA** 



11) Número de publicación: 2 478 041

51 Int. Cl.:

C12N 15/00 (2006.01)

(12)

## TRADUCCIÓN DE PATENTE EUROPEA

T3

96 Fecha de presentación y número de la solicitud europea: 29.01.2009 E 09709123 (5)

(97) Fecha y número de publicación de la concesión europea: 30.04.2014 EP 2240580

54) Título: Vectores de closterovirus y métodos

(30) Prioridad:

31.01.2008 US 63305 P 24.07.2008 US 83504 P

(45) Fecha de publicación y mención en BOPI de la traducción de la patente: 18.07.2014

(73) Titular/es:

THE STATE OF OREGON ACTING BY AND THROUGH THE STATE BOARD OF HIGHER EDUCATION ON BEHALF OF OREGON STATE UNIVE (100.0%)
312 Kerr Administration Building Corvallis, OR 97331, US

(72) Inventor/es:

DOLJA, VALERIAN, V. y PEREMYSLOV, VALERA, V.

(74) Agente/Representante:

VALLEJO LÓPEZ, Juan Pedro

### **DESCRIPCIÓN**

Vectores de closterovirus y métodos

#### 5 Referencia cruzada a solicitudes relacionadas

La presente solicitud reivindica el beneficio de prioridad de la Solicitud Provisional de Estados Unidos Nº 61/063.305, presentada el 31 de enero de 2008 y Nº 61/083.504, presentada el 24 de Julio de 2008.

#### 10 Campo

20

25

30

35

La presente divulgación se refiere al campo de los closterovirus y su uso como vehículos de suministro génico para plantas.

#### 15 Antecedentes

Las vides (Vitis) son un cultivo frutal global importante con enorme importancia económica y cultural, particularmente Vitis vinifera, que se usa para el cultivo del vino. Se usan comercialmente un número relativamente pequeño de cultivares de V. vinifera para mantener la uniformidad en el fruto dado que las plantas son heterocigotas y no de pura cepa. Por lo tanto, debido a que gran parte del cultivo de uva comercial depende de estos cultivares, que tienen diversidad limitada; la resistencia a enfermedad es una preocupación importante. Las técnicas de cultivo clásicas para aumentar la resistencia a enfermedad generalmente merman la igualdad del fruto, haciendo a las vides un candidato perfecto para la manipulación genética para mejorar la resistencia a enfermedad. Sin embargo, la producción de vides transgénicas ha resultado ser difícil, ya que se sabe que las especies perennes leñosas, tales como las vides, son resistentes a transformación, y el proceso de selección requerido por transformación mediada por Agrobacterium es significativamente más riguroso debido a la competición por las células no transformadas, lo que conduce a tasas de éxito altamente variables (Mullins et al., Meth. Mol. Bio. 344: 273-285. 1990); Bouquet et al., Methods Mol. Biol. 344: 273-285, 2006). Por lo tanto, existe la necesidad de un método fiable, eficaz, para el suministro de genes a vides para tratamientos de enfermedades y la modificación de vides para características deseadas.

Durante las últimas dos décadas, los vectores virales para la expresión de resistencia de las proteínas en plantas y animales se han convertido en herramientas indispensables de la biología molecular y la biomedicina (Pogue *et al.*, Annu. Rev. Phytopathol. 40: 45-74, 2002; Gleba *et al.*, Curr Opin Biotechnol 18: 134-141, 1007). Con la aparición de la interferencia de ARN (ARNi) o silenciamiento de ARN, también se han desarrollado vectores virales para silenciamiento de genes inducido por virus o VIGS (Godge *et al.*, Plant Cell Rep 27(2): 209-219, 2008; e-pub antes de la impresión, 2007). Tomadas juntas, una capacidad para sobreexpresar rápidamente o silenciar genes de interés ha hecho a los vectores virales herramientas importantes en la genómica funcional.

- Se han introducido por ingeniería genética varios virus vegetales en vectores virales, cada uno con limitaciones y especificidad vegetal. La mayoría son adecuados solamente para su uso en plantas herbáceas dicotiledóneas. En su mayoría, los virus icosaédricos no están bien adaptados para acomodar genes ajenos principalmente debido al tamaño limitado de sus cápsidas. En general, los virus elongados han mostrado una mejor capacidad para tolerar genes recombinantes y expresarlos hasta niveles muy altos. En la actualidad, los vectores más habitualmente usados son los basados en el virus del mosaico del tabaco en forma de bastón (TMV, género *Tobamovirus*) (Pogue *et al.*, Annu. Rev. Phytopathol. 40: 45-74, 2002; Gleba *et al.*, Curr Opin Biotechnol 18: 134-141, 1007). Estos vectores se caracterizan por altos niveles de expresión pero estabilidad genética relativamente baja, especialmente en lo que se refiere a insertos ajenos grandes.
- Otra serie de vectores se basa en el virus del rayado del tabaco con forma de bastón (TRV, género *Tobravirus*) (Godge *et al.*, Plant Cell Rep 27(2): 209-219, 2008; e-pub antes de la impresión, 2007). Los vectores derivados de virus filamentosos se basan habitualmente en el virus X de la patata (PVX, género *Potexvirus*) (Chapman *et al.*, Plant J 2: 549-557, 1992) y virus del marcado del tabaco (TEV, género *Potyvirus*) (Dolja *et al.*, Proc. Natl. Acad. Sci. USA 89: 10208-10212, 1992). Los vectores de TMV, TRV y PVX contienen un casete de expresión con un promotor de ARN subgenómico, mientras que los vectores de TEV usan un principio alternativo de expresión proteica basado en procesamiento de poliproteínas. Esta última característica proporciona a los vectores potyvirales una estabilidad genética mucho mayor que la hallada en vectores que contienen promotores (Dolja *et al.*, Virology 252: 269-274, 1998).
- Se han desarrollado vectores de expresión génica basados en el virus del amarilleo de la remolacha (BYV, género *Closterovirus*) (Hagiwara *et al.*, J. Virol. 73: 7988-7993, 1999; Peremyslov *et al.*, Proc. Natl. Acad. Sci. U S A 96, 14771-14776, 1999). Aunque los niveles de expresión proteica que pueden conseguirse para vectores closterovirales pueden ser menores que los de TMV o TRV, se ha demostrado que estos vectores son muy estables genéticamente y capaces de acomodar varios casetes de expresión basándose en promotores de ARN subgenómico heterólogos adicionales o procesamiento de poliproteínas. Dicha versatilidad de vectores closterovirales se debe más probablemente al gran tamaño de genomas closterovirales y presencia de genes que

aumenta drásticamente la replicación genómica y capacidad de expresión génica y posiblemente proporcionan una mayor fidelidad de copia de ARN (Dolja *et al.*, Virus Res. 117: 38-51, 2006). Los supresores fuertes de ARNi (Reed *et al.*, Virology 306: 203-209, 2003; Chiba *et al.*, Virology 346: 7-14, 2006) y proteinasas líder de closterovirus (Peng *et al.*, J. Virol. 75(24), 12153-12160, 2001) están entre los genes que aseguran alto rendimiento genético y evolutivo de closterovirus y precondicionan sus genomas para acomodar genes adicionales, virales o ajenos.

Una de las características más críticas del vector viral es su serie de hospedadores que limita gravemente su utilidad potencial para las plantas de cultivo deseadas. Todos los vectores descritos anteriormente son capaces de infectar solamente plantas herbáceas dicotiledóneas. En otras palabras, la necesidad de generar un vector viral para monocotiledóneas o para cultivos leñosos tales como la vid dicta la necesidad de usar virus que infectan de forma natural a dichas plantas como una plataforma para el desarrollo de vectores.

Hasta la fecha, se han desarrollado muy pocos vectores virales potencialmente adecuados para plantas leñosas, y los datos muestran que la expresión se ha limitado normalmente a una serie estrecha de plantas modelo. Uno de estos vectores se basa en el ARN 2 de virus esférico latente de manzana (ALSV, familia Sequiviridae) (Li et al., Arch. Virol. 149: 1541-1558, 2004). Aunque los autores reivindican que el vector de ALSV fue capaz de expresar la proteína verde fluorescente (GFP) por procesamiento de poliproteínas tras inoculación mecánica a plántulas de manzana, no se han presentado en el artículo pruebas experimentales convincentes de dicha capacidad. De forma similar, no están disponibles datos para apoyar reivindicaciones recientes de un vector "universal" basado en el geminivirus de la rizadura amarilla del tomate, que supuestamente es capaz de infectar de forma sistémica a una amplia diversidad de plantas de dicotiledóneas a monocotiledóneas a árboles y vides (Peretz et al., Plant Physiol. 145(4): 1251-1263, 2007). Se ha desarrollado otro vector usando el virus A de la vid (GVA, un Vitivirus). Su capacidad para expresar una proteína ajena se ha demostrado en tabaco (Haviv et al., J. Virol. Meth. 132: 227-231, 2006) y aún no se ha demostrado para la vid. Otro vector se basa en el virus de Citrus tristeza (CTV), un closterovirus estrechamente relacionado con BYV (Folimonov et al., Virology 368(1): 205-216, 2007). Sin embargo, el CTV solamente es útil en especies de Citrus, y su propagación implica un proceso incómodo de ciclos en protoplastos antes de la inoculación por corte de árboles cítricos con viriones aislados. En consecuencia, existe una fuerte necesidad de vectores virales adecuados para transformar plantas leñosas, particularmente vides.

#### Sumario

5

10

15

20

25

30

45

50

55

60

La presente invención proporciona vectores de transferencia de genes vegetales, células vegetales, plantas y métodos como se exponen en las reivindicaciones.

La presente divulgación se refiere a vectores de transferencia de genes vegetales competentes para replicación que comprenden un ácido nucleico que codifica genes virales para virus asociados al enrollamiento de la vid 2 (LR-2) seleccionados del grupo que consiste en metiltransferasa, ARN helicasa, ARN polimerasa dependiente de ARN y p24; proteasas líder L1 y L2; y un polinucleótido heterólogo unido operativamente con un promotor, en el que el polinucleótido heterólogo se expresa en una célula vegetal y en el que el vector tiene capacidad de replicación infecciosa en la célula vegetal.

La presente divulgación abarca además vectores de transferencia de genes vegetales que se replican de forma condicional que comprenden un ácido nucleico que codifica genes virales del virus asociado con el enrollamiento de la vid 2 (LR-2) seleccionados del grupo que consiste en metiltransferasa, ARN helicasa, ARN polimerasa dependiente de ARN y p24; proteasas líderes L1 y L2, en las que al menos una proteasa líder está inactivada de modo que el vector no puede replicar de forma infecciosa independientemente; y un polinucleótido heterólogo unido operativamente con un promotor, en el que el polinucleótido heterólogo se expresa en una célula vegetal.

Opcionalmente, los vectores proporcionados en el presente documento también pueden incluir uno o más genes virales del virus asociado con el enrollamiento de la vid 2 (LR-2) que están implicados en el ensamblaje de viriones y/o transporte dentro de plantas. Dichos genes incluyen por ejemplo p6, Hsp70h, p63, CPm, CP y p19. En realizaciones particulares, todos estos genes se incluyen en un vector, facilitando de este modo la infección sistémica. Dicho vector puede denominarse vector de longitud completa; se describen en el presente documento ejemplos de estos.

El polinucleótido heterólogo en los vectores descritos puede codificar uno o más de una molécula indicadora, un marcador seleccionable o un gen terapéutico, que puede codificar una proteína deseada, tal como para mejorar las propiedades nutricionales o estéticas de la planta o un gen de resistencia a enfermedad, que puede ser antifúngico, antibacteriano o antiviral. El gen terapéutico puede ser para el tratamiento de enfermedad de Pierce, tal como un polinucleótido que desencadena el silenciamiento génico inducido por virus o codifica un polipéptido de lisozima.

Las proteasas líderes pueden ser L1 y/o L2 de LR-2. Las proteasas líder (por ejemplo, SEC ID  $N^\circ$ : 4 o 6) pueden codificarse por SEC ID  $N^\circ$ : 3 y/o SEC ID  $N^\circ$ : 5. Una o ambas de las proteasas líder puede inactivarse por sustitución, inserción, deleción parcial o alteración completa de la secuencia codificante para la proteasa líder en el vector.

El vector puede comprender además una secuencia de ADN T para la transformación de una célula vegetal. El vector puede comprender un virus del amarilleo de la remolacha u otro promotor de closterovirus relacionado o un promotor de LR-2 nativo. Puede introducirse más de un vector en la planta, tal como un vector que codifique un gen terapéutico y un vector que codifique el supresor de ARNi p24.

5

También se contempla una célula vegetal o planta que comprende un vector descrito en el presente documento, tal como una célula de vid o una vid.

10

También se proporcionan métodos para producir los vectores descritos, que comprenden cultivar una célula que comprende el vector y recuperar el vector de la célula o medio en el que se cultiva la célula. El vector puede opcionalmente estar en un plásmido, tal como un plásmido adecuado para amplificación bacteriana y/o un plásmido binario adecuado para agroinoculación.

15

Otra realización es un método para expresar un gen heterólogo en una célula vegetal que comprende introducir el vector de la presente invención en la célula vegetal. En una realización, la célula vegetal es una célula de vid. En otra realización, el vector se introduce por agroinoculación.

20

Otra realización es un método para expresar un gen heterólogo en una célula vegetal que comprende introducir un vector competente para replicación en la célula vegetal de modo que el vector se replique posteriormente e infecte al menos una célula vegetal adicional. El método comprende además la infección sistémica de una estructura vegetal seleccionada del grupo que consiste en tejido, hoja, tallo, raíz, fruto, semilla o planta completa.

25

Otra realización es un método para inducir resistencia a enfermedad que comprende introducir el vector de la presente invención en una célula vegetal. El vector puede introducirse más de una vez. El vector puede comprender un polinucleótido heterólogo que codifica un gen que confiere resistencia a la enfermedad. Dicho polinucleótido heterólogo puede ser, por ejemplo, un polinucleótido que desencadene el silenciamiento génico inducido por virus, un polinucleótido de *Run1* o que codifique un polipéptido de lisozima.

30

Otra realización es un método para tratar o prevenir la enfermedad de Pierce u oídio en una vid que comprende introducir en una célula de vid un vector de la presente invención. El vector puede introducirse por agroinoculación y puede introducirse más de una vez.

35

Otra realización es un método para modificar las propiedades estéticas, tales como sabor y aroma del jugo, o potenciar la característica nutricional u otra agrícola de una planta que comprende introducir el vector de la presente invención en una célula vegetal.

Otra realización es un método para realizar una planta transgénica que comprende introducir el vector de la presente invención en una célula vegetal, cultivar la célula vegetal en condiciones que promueven el crecimiento de una planta, en el que el gen heterólogo se expresa en la planta transgénica. La planta transgénica puede ser un vid.

40

Las anteriores y otras características y ventajas resultarán más evidentes a partir de la siguiente descripción detallada de varias realizaciones, que se desarrolla con referencia a las figuras adjuntas.

#### Breve descripción de los dibujos

45

50

55

Las Figuras 1A-1C son mapas genéticos del genoma de GLRaV-2 que indican las funciones de los genes virales (Figura 1A), casete para expresión génica recombinante (Figura 1B) y vector binario que contiene el genoma de GLRaV-2 de longitud completa con inserto de ER-GFP (Figura 1C). (Figura 1A) los genes se diseñan de acuerdo con las proteínas codificadas: (Figura 1B) promotor de LR-2 CP, un promotor de LR-2 natural que conduce la expresión del gen de CP; ER-GFP, proteína verde fluorescente dirigida a retículo endoplásmico; promotor de BYV CP, un promotor heterólogo modificado por ingeniería genética derivado de virus del amarilleo de la remolacha donde conduce a la expresión de un gen de CP; Pac I y Fse I, sitios introducidos por ingeniería genética para endonucleasas de restricción correspondientes. (Figura 1C) Desde la izquierda, en sentido de las agujas del reloj: 35S, promotor de ARN polimerasa II 35S derivado de virus del mosaico de la coliflor (flecha); ~17.500 nt, el clon de ADNc de longitud completa, de ~17.500 nucleótidos de longitud, de LR-2 marcado por inserción de ER-GFP (rectángulo, marcado ~17.500 nt); RZ, una ribozima de diseño adaptado que promueve la liberación autocatalítica del extremo 3' de ARN r-LR tras la transcripción del ADN insertado en el núcleo de la célula vegetal (rectángulo con una flecha, marcado RZ); terminador NOS de la ARN polimerasa II; extremo derecho, secuencia de reconocimiento donde el ADN plasmídico se escinde por Agrobacterium para transferencia a la célula vegetal (flecha curvada); Ori, origen de replicación de plásmido (flecha); Kan<sup>R</sup>, gen para resistencia a kanamicina; extremo izquierdo, secuencia de reconocimiento donde el ADN plasmídico se escinde por Agrobacterium para transferencia a la célula vegetal (flecha curvada).

60

La Figura 2 muestra células *N. benthamiana* infectadas con GLRaV-2/ER-GFP tras la agroinoculación a dos escalas diferentes usando microscopía de barrido con láser confocal. El color verde marca el retículo endoplásmico de la célula infectada por virus debido a la expresión del marcador de ER-GFP por virus. El fondo rojo se debe a la autofluorescencia de los cloroplastos. Barras, 50 mm.

La Figura 3 muestra imágenes tomadas por microscopía epifluorescente de tejidos de plantas de *N. benthamiana* infectadas de forma sistémica con GLRaV-2/ER-GFP tras la agroinoculación (fila inferior) en comparación con plantas de control, no infectadas (fila superior). El color verde destaca predominantemente células del floema infectadas por virus y que expresan ER-GFP. Los tallos y los petiolos se seccionaron transversalmente de forma manual antes de la captura de imágenes microscópicas. El fondo rojo se debe a la autofluorescencia de cloroplastos.

Figura 4 (Figura 4A) análisis de inmunotransferencia de los extractos de plantas infectadas con el virus de tipo silvestre y virus modificado para expresar ER-GFP usando anticuerpos específicos de CP como se muestra debajo de la imagen. Las diluciones de los extractos de hoja originales se muestran en la parte superior. (Figura 4B) análisis de RT-PCR de los ARN aislados de plantas de *N. benthamiana* infectadas con el virus de tipo silvestre y virus modificado para expresar ER-GFP. Los productos de RT-PCR se separaron en gel de agarosa al 1 % y se tiñeron con bromuro de etidio. M, marcadores de tamaño de ADN; las bandas correspondientes a ADN de 1 y 2 kb se marcan por flechas.

- Figura 5. Parte superior, un diagrama que muestra el diseño de un vector binario que expresa p24, un supresor de LR-2 de 24 kDa de silenciamiento de ARN clonado en un vector binario pCB302. Líder de TEV, secuencia de ADNc correspondiente a la región no traducida 5' del virus del marcado del tabaco y usado para potenciar la traducción del p24. Parte inferior, imágenes confocales de la célula poco habitual infectada por miniBYV-GFP solamente (panel izquierdo) y miniBYV-GFP con coexpresión de p24 (panel derecho). La imágenes son de Chiba et al. (Virology 346: 7-14, 2006).
- Figura 6. Silenciamiento del transgén de GFP por el vector viral LR-GFP en *N. benthamiana* línea 16c. En el control, todas las células son verdes debido a la producción de GFP transgénico. En las plantas infectadas, las células verdes brillantes son en las que el virus realiza GFP adicional. Las áreas rojas contienen células en las que se silenció GFP transgénico debido a interferencia de ARN inducida por virus.
- Figura 7. (Figura 7A) Expresión maximizada de GFP usando *Agrobacterium* introducida por sonicación en una hoja de Cabernet franc micropropagada. (Figura 7B) Una hoja menos susceptible que, sin embargo, muestra expresión de GFP en la vena. La GFP se expresa directamente a partir de un vector binario realizado por ingeniería genética como se muestra en (Figura 7C).
  - Figura 8. Infección de vid con miniLR-2-GFP introducida por agroinfiltración que muestra imágenes de la hoja inoculada y células verdes que expresan GFP individuales (fila superior) y un mapa genético del replicón de miniLR-GFP. L1 y L2, proteinasas líder; MET, dominio de metiltransferasa; HEL, dominio de ARN helicasa; POL, ARN polimerasa dependiente de ARN; GFP, proteína verde fluorescente; p24, una proteína de 24 kDa.
    - Figura 9. Infección de vid con el LR-2-GFP de longitud completa introducido por agroinfiltración que muestra imágenes de la hoja inoculada y células verdes que expresan GFP individuales.
- Figura 10. (Figura 10A) Esquema del virus GLRaV-2, el vector de longitud completa (LR\_GFP) y minivector (mLR-GFP/GUS). (Figura 10B) Dominios de las proteasas líder L1 y L2 con resultados de procesamiento proteolítico, expresión génica e infección en *N. benthamiana* indicados.
  - Figura 11. Procesamiento de vectores como se muestra por marcaje con HA (Figura 11A) y radiomarcaje (Figura 11B)
- Figura 12. (Figura 12A) Transporte a larga distancia e infección sistémica de hojas de *N. benthamiana* con vectores. (Figura 12B) acumulación de GFP en hojas de *N. benthamiana*. (C) Ausencia de expresión génica en hojas superiores de *N. benthamiana* después de inoculación.
  - Figura 13. Análisis de inmunotransferencia de gradiente de fraccionamiento de sacarosa de viriones aislados de hojas de *N. benthamiana* infectadas.
- Figura 14. Alineamiento de las secuencias de nucleótidos de las variantes derivadas de *N. benthamiana* (Nb; carriles superiores) y derivadas de *V. vinifera* (Vv, carriles inferiores) del vector GLRaV-2. Los nucleótidos diferentes en dos aislados se muestran en negrita y subrayados.

#### LISTA DE SECUENCIAS

5

10

30

- Las secuencias de ácido nucleico y/o aminoácidos enumeradas en el presente documento y/o en la lista de secuencias adjunta se muestran usando abreviaturas de letras convencionales para bases nucleotídicas, y el código de tres letras para aminoácidos, como se define en 37 C.F.R. §1.822. Se muestra solamente una cadena de cada secuencia de ácido nucleico, pero se entiende que la cadena complementaria se incluye por cualquier referencia a la cadena presentada. En la lista de secuencias adjunta:
  - SEC ID Nº: 1 es la secuencia de ácido nucleico de p35S-LR-2/ERGFP, un vector de silenciamiento y de expresión génica derivado de virus de enrollamiento de la vid 2, de longitud completa, que contiene un gen recombinante que codifica el indicador de GFP dirigido a ER. La secuencia incluye el vector binario pCB301 (1-3305), y el casete de expresión viral completo (3306-21957). Los siguientes elementos que se muestran en la Figura 1C también se reflejan en la secuencia: promotor 35S (3306-4063), secuencia viral (4064-21643)
- Figura 1C también se reflejan en la secuencia: promotor 35S (3306-4063), secuencia viral (4064-21643) incluyendo el casete de expresión de indicador-GFP (18648-19439), promotor de BYV CP heterólogo (18440-19723), ribozima (21644-21698) y terminador de NOS (21705-21957).
  - SEC ID Nº: 2 es la secuencia de ácido nucleico de MiniLR-GFP/GUS.
  - SEC ID Nº: 3 y 4 son las secuencias de nucleótidos y aminoácidos de proteasa L1.
- 65 SEC ID Nº: 5 y 6 son las secuencias de nucleótidos y aminoácidos de proteasa L2.
  - SEC ID Nº: 7 es la secuencia de nucleótidos de vector de silenciamiento y expresión de gen derivado de virus

asociado con enrollamiento de la vid 2, de longitud completa, que contiene un gen recombinante que codifica indicador GFP dirigido a ER (LR2-Vitis). Toda la secuencia de nucleótidos de virus asociado con el enrollamiento de la vid 2 se corresponde con una secuencia consenso del aislado viral presente de forma natural en la vid Pinot Noir. Los nucleótidos distintos de los presentes en el virus de *N. benthamiana*, original (SEC ID Nº: 1) se destacan en la Figura 14. La secuencia de nucleótidos fuera del casete de expresión viral son iguales que en SEC ID Nº: 1.

SEC ID Nº: 8 es una secuencia genómica de cromosoma de *V. vinifera* representativa que abarca un promotor específico de floema potencial, promotor ortólogo de AtSUC2 (GSVIVT00002302001\_VvSUC27\_AF021810\_Genomic), adecuado para expresión específica de floema de los vectores de LR-2.

SEC ID Nº: 9 es una secuencia genómica de cromosoma de *V. vinifera* representativa que abarca un promotor específico de floema potencial, promotor ortólogo de AtAHA3 (VV78X258876\_VITISV\_014422\_AM487422\_CAN64375\_Genomic), adecuado para expresión específica de floema de los vectores de LR-2.

SEC ID Nº: 10 es una secuencia genómica de cromosoma de *V. vinifera* representativa que abarca un promotor específico de floema potencial, promotor ortólogo de AtAsus1 (VV78X051063\_CAN82840\_VITISV\_024563\_GI147856448\_Genomic), adecuado para expresión específica de floema de los vectores de LR-2.

SEC ID Nº: 11 es la secuencia de aminoácidos del marcador del epítopo de hemaglutinina (HA).

#### Descripción detallada

5

10

20

25

30

35

40

45

55

60

65

A no ser que se indique de otro modo, los términos técnicos se usan de acuerdo con el uso convencional. Pueden encontrarse definiciones de términos comunes en biología molecular en Benjamin Lewin, *Genes V*, publicado por Oxford University Press, 1994 (ISBN 0-19-854287-9); Kendrew *et al.* (eds.), *The Encyclopedia of Molecular Biology*, publicado por Blackwell Science Ltd., 1994 (ISBN 0-632-02182-9); y Robert A. Meyers (ed.), *Molecular Biology and Biotechnology: a Comprehensive Desk Reference*, publicado por VCH Publishers, Inc., 1995 (ISBN 1-56081-569-8). Para facilitar la revisión de las diversas realizaciones de la invención, se proporcionan en el presente documento explicaciones de términos específicos.

La expresión "vid", "planta de la uva" o "planta de vid" se refiere a cualquier planta del género *Vitis*, por ejemplo *V. vinifera, V. labrusca, V. riparia, V. rotundifolia, V. aestivalis*, o del género *Muscadinia*, y especies del mismo. La vid puede ser un vástago, rizoma, cultivares o una planta híbrida. El término "uva" es la baya o fruto de la vid, que puede comerse completa o de la que puede extraerse el jugo para beber y/o para fermentación dando vino. Otras partes comestibles de una vid incluyen las hojas y las semillas.

A no ser que se explique de otro modo, todos los términos técnicos y científicos usados en el presente documento tienen el mismo significado que se entiende habitualmente por un experto habitual en la materia a la que pertenece la presente invención. Los términos singulares "un" y "el" incluyen referentes plurales a no ser que el contexto claramente indique otra cosa. De forma similar, se entiende que la palabra "o" incluye "y" a no ser que el contexto claramente indique otra cosa. Por lo tanto, "que comprende A o B" significa que incluye A o B, o A y B. Debe entenderse además que todos los tamaños de bases o tamaños de aminoácidos, y todos los valores de peso molecular o masa molecular, proporcionados para ácidos nucleicos o polipéptidos son aproximados y se proporcionan para descripción. Aunque pueden usarse métodos y materiales similares o equivalentes a los descritos en el presente documento en la práctica o ensayo de la presente invención, se describen posteriormente métodos y materiales adecuados. En caso de conflicto, prevalecerá la presente memoria descriptiva, incluyendo cualquier explicación de términos. Además, los materiales, métodos y ejemplos son solamente ilustrativos y no se pretende que sean limitantes.

#### 50 Visión de conjunto de varias realizaciones

La presente divulgación proporciona vectores de transferencia génica que comprenden al menos los genes de replicación de virus asociado con enrollamiento de la vid 2 (LR-2). LR-2 se ha secuenciado (Meng *et al.*, Virus Genes 31: 31-41, 2005) y se ha comparado funcionalmente con otros closterovirus conocidos (Dolja *et al.*, Virus Res. 117(1): 38-51, 2006). Los genes virales del núcleo de LR-2 incluyen Met (metiltransferasa), Hel (ARN helicasa) y Pol (ARN polimerasa dependiente de ARN), mientras que L1, L2 y p24, por comparación con genes homólogos de BYV, desempeñan papeles accesorios en la replicación del genoma. Otros genes también pueden incluirse en el presente vector, tales como p6, Hsp70h, p63, CPm, CP y p19 (véase, por ejemplo, Peremyslov *et al.*, J. Virol. 72: 5870-5876, 1998).

La presente divulgación se refiere a vectores que comprenden las proteasas líder, L1 y L2, y vectores con una o ambas proteasas líder inactivadas. Un experto en la materia reconocerá inmediatamente que hay múltiples maneras en las que puede inactivarse una proteasa, y todos estos métodos se contemplan en el presente documento. Se ha mostrado previamente que para un closterovirus relacionado, BYV, se requiere la proteasa líder correspondiente L-Pro para amplificación de ARN eficaz y transporte a larga distancia del virus (Peng *et al.*, J. Virol. 77, 2843-2849, 2003; Peng & Dolja, J. Virol. 74, 9766-9770, 2000). Resulta interesante que el reemplazo de L-Pro por las proteasas

de otros closterovirus (Peng et al., J. Virol. 75(24), 12153-12160, 2001) o incluso de un arterivirus animal (Peng et al., Virology 294, 75-84, 2002) puede rescatar la amplificación de ARN, pero no la función de transporte de la proteasa líder. El virus asociado con enrollamiento de la vid 2 (GLRaV-2) es un pariente cercano de BYV en el género *Closterovirus* cuya organización genética es casi idéntica a la de BYV (Zhu et al., J. Gen. Virol. 79: 1289-1298, 1998). Sin embargo, a diferencia de BYV que posee una proteasa líder GLRaV-2 codifica dos proteasas líder, L1 y L2 (Meng et al., Virus Genes 31, 31-41, 2005; Peng et al., J. Virol. 75(24), 12153-12160, 2001) (Figura 1A, diagrama superior). Se muestra en el presente documento por primera vez que L1 y L2 tienen funciones complementarias en el establecimiento de la infección por GLRaV-2 en las células inoculadas inicialmente y el transporte sistémico. Sorprendentemente, la contribución global de L1 y L2 a la infección de virus es mucho más crítica en un hospedador de virus natural, la vid, en comparación con un hospedador herbáceo experimental, *N. benthamiana*. Por lo tanto, usando las propiedades de L1 y L2, pueden reconstruirse vectores para la introducción de genes heterólogos en vides como competentes para replicación (que comprenden tanto L1 como L2) o de replicación condicionada (con una o ambas proteasas líder inactivadas).

Son vectores competentes para replicación los vectores que son capaces de producir viriones infecciosos sin necesitar factores adicionales aportados en *trans*. Dichos vectores, después de inoculación o transducción en una célula vegetal pueden producir viriones infecciosos e infectar otras células. Dichos vectores pueden ser útiles cuando se desee la infección sistémica de una planta, dado que el vector puede proliferar más allá de la célula originalmente transducida y aumentar la transducción global. Por ejemplo, el vector puede propagarse dentro de un tejido, entre tejidos, en toda la planta o incluso entre plantas. Por ejemplo, el vector puede infectar una hoja entera, más de una hoja, una o más hojas y el tallo o fruto de la planta, así como las raíces.

10

25

30

35

40

45

50

55

60

65

Los vectores de replicación condicionada carecen de factores virales necesarios para la producción de viriones infecciosos de forma independiente. La presente divulgación abarca vectores que tienen una o ambas proteasas líder inactivadas de modo que el vector no es capaz de producir viriones infecciosos y no pueden infectar células adicionales después de inoculación o transducción. Dichos vectores pueden ser útiles cuando no se desee la proliferación del vector, o cuando sea beneficiosa la proliferación limitada. Dichos vectores pueden tener seguridad aumentada dado que la proliferación del vector así como la expresión del gen heterólogo no va más allá de la transducción original.

En realizaciones específicas, los vectores de transformación de plantas proporcionados en el presente documento incluyen uno o más genes virales del virus asociado con enrollamiento de la vid 2 (LR-2) que están implicados en el ensamblaje de viriones y/o transporte dentro de plantas. Dichos genes incluyen por ejemplo p6, Hsp70h, p63, CPm, CP y p19. En realizaciones particulares, todos estos genes están incluidos en el vector, facilitando de este modo la infección sistémica. Dicho vector puede denominarse vector de longitud completa.

El genoma de LR-2 completo (o esencialmente todo el genoma, o el equivalente del mismo) puede incluirse en el vector. El vector puede comprender secuencias heterólogas adicionales, tales como secuencias que faciliten la propagación o transformación. Dichas secuencias pueden ser elementos de control para la agroinfección, tales como un vector binario, que se conoce bien en la técnica. El vector puede tener la secuencia de nucleótidos de SEC ID Nº: 1 o SEC ID Nº: 2, bien como se proporciona en el presente documento o con diferentes secuencias heterólogas que reemplazan los genes indicadores proporcionados como los ejemplos (GFP y GUS). Las proteasas líder del vector pueden ser L1 (SEC ID Nº: 4) y/o L2 (SEC ID Nº: 6) de LR-2 y pueden codificarse por SEC ID Nº: 3 y 5, respectivamente. Además, puede introducirse también un supresor de silenciamiento de ARN con el vector. Dicho supresores pueden ser LR-2 p24 o p21 del virus del amarilleo de la remolacha (Chiba *et al.*, Virology 346: 7-14, 2006).

El vector incluye un polinucleótido heterólogo unido operativamente con un promotor. El promotor puede ser un promotor de LR-2 nativo, por ejemplo promotor de CP LR-2, o puede ser un promotor heterólogo, tal como un promotor de otros virus que pertenecen al género *Closterovirus*, tales como virus del amarilleo de la remolacha, por ejemplo promotor de CP BYV, virus de *malformación del amarilleo de la remolacha, virus de moteado amarillo del clavel, virus de la tristeza de los cítricos, virus de la menta 1*, etc. Aunque el promotor de CP de estos virus normalmente proporciona mayor niveles de expresión, podrían ser útiles varios promotores adicionales de estos virus. Se conocen en la técnica muchos promotores adecuados. El polinucleótido heterólogo puede codificar una molécula indicadora, un marcador seleccionable y/o un gen terapéutico. Los ejemplos de moléculas indicadoras incluyen proteínas fluorescentes, tales como proteína verde fluorescente, luciferasa, beta-galactosidasa, beta-glucuronidasa y otras moléculas indicadoras conocidas en la técnica. Los ejemplos de marcadores seleccionables también incluyen marcadores de resistencia a antibióticos, marcadores epitópicos útiles para purificación de afinidad y similares. Los ejemplos de genes terapéuticos incluyen los que confieren resistencia a una patología o enfermedad.

La presente divulgación abarca métodos para inducir resistencia a enfermedad en una planta o célula vegetal introduciendo el vector de expresión génica vegetal de la presente divulgación en la célula. Dichas enfermedades de plantas de la uva incluyen, pero sin limitación, agentes fúngicos, agentes bacterianos, agentes virales, parásitos y tensión ambiental. Los ejemplos de enfermedades fúngicas incluyen *Guignardia bidwellii* (podredumbre negra), *Plasmopara viticola* (mildiú algodonoso), *Erysiphe necator* (oídio, previamente *Uncinula necator*), *Botrytis cinerea* 

(podredumbre peduncular), Sclerotinia sclerotiorum (podredumbre de los brotes de Sclerotinia), Eutypia armenicae (degeneración de Eutypia), Elsinoe ampelina (antracnosis), Alternaria alternata (podredumbre de alternia), Pseudopezicula tetraspora, Cercospora brachypus, Sphacelorna ampelinum, Ascochyta sp. Aspergillus aculeatus, Cladosporium spp., Fusarium spp., Helminthosporium spp., Monilia sp., Stemphylium botryosum, Pleospora tarda, Torula sp., Greeneria uvicola, Botryosphaeria stevensii, Diplodia mutila, Penicillium spp., Botryotinia fuckeliana, Anthostomella pullulans, Clostridium spp., Libertella blepharis, Lasiodiplodia theobromae, Rosellinia necatrix. Dematophora necatrix, Roesleria subterranea, Mycosphaerella personata, Pseudocercospora vitis, Isariopsis clavispora, Briosia ampelophaga, Phymatotrichopsis omnivora, Dematophora necatrix, Cristulariella moricola, Grovesinia pyramidalis, Cephalosporium spp., Phellinus igniarius, Stereum hirsutum, Physopella ampelopsidis y Phomopsis viticola (enfermedad de manchas de la caña y hoja de Phomopsis).

Los ejemplos de enfermedades bacterianas incluyen *Xylella fastidiosa* (enfermedad de Pierce), *Agrobacterium tumefaciens* (agalla de corona), *Pseudomonas syringae* y *Xylophilus ampelinus* (roya bacteriana).

Los ejemplos de enfermedades virales incluyen virus asociados con enrollamiento de la vid, virus del raquitismo de la vid, virus de la vid A, virus de la vid B, mosaico anular del tomate, virus asociado con erosión del tallo de *Rupestris*, mosaico anular del tabaco, virus del mosaico de *Arabis*, virus latente italiano de la alcachofa, virus del mosaico de la alfalfa, virus del mosaico de *Bratislava*, virus del marchitamiento del haba, virus del mosaico anular latente del fresal de vid, virus de necrosis del tabaco, virus del mosaico del tabaco, virus del mosaico amarillo de la vid, virus del mosaico en asteroide de la petunia y virus de la mancha anular negra del tomate.

10

25

30

35

40

45

50

65

Los ejemplos de plagas incluyen *Daktulosphaira vitifoliae*, *Lepidoptera*, *Otiorhynchus sulcatus*, *Tylenchulus semipenetrans*, *Xiphinema* spp., *Praylenchus* spp., *Longidorus* spp., *Paratylenchus hamatus*, *Rotylenchulus* spp., *Criconemella xenoplax*, *Meloidogyne* spp., *Helicotylenchus* spp., *Paratrichodorus christiei*, y *Tylenchorhynchus* spp.

Los ejemplos de tensión ambiental incluyen sequía, tensión por calor, tensión salínica, deficiencia de hierro, deficiencia de cinc, ozono y toxinas ambientales. Como alternativa, el presente vector puede usarse para conferir resistencia a herbicidas, fungicidas, pesticidas y viricidas.

La enfermedad de Pierce (PD), provocada por una infección por la bacteria *Xylella fastidiosa*, es particularmente importante para cultivadores de cultivares de uva. Las bacterias se multiplican en el xilema de la planta, provocando el bloqueo del movimiento y la roya o necrosis de la hoja característica, particularmente durante tensión por calor o agua. El tratamiento se centra en la actualidad en la prevención de la infección dirigiendo el vehículo de insecto que transmite las bacterias de planta a planta durante la alimentación. Se conocen varios vectores de insecto, incluyendo varios proconinos, tales como el *Homalodisca vitripennis*. Muchos cultivares comercialmente importantes son susceptibles de PD, haciendo de este modo urgentemente necesario combatir esta enfermedad.

Los tratamientos para dichas enfermedades pueden incluir la expresión de proteínas terapéuticas, tales como los genes de organismos patógenos o infecciosos o represión de genes de hospedadores para mitigar una respuesta no deseada. Los ejemplos de proteínas terapéuticas incluyen proteínas que se dirigen al organismo patógeno o agente directamente, tales como quitinasas, que degradan las paredes fúngicas protectoras (por ejemplo, Adams, Microbiology 150: 2029-2035, 2004), replicasas, que inhiben la replicación (por ejemplo, documento WO 98/052964), lisozimas, que atacan a las paredes bacterianas, o genes que se han descubierto en plantas resistentes a enfermedad. Se ha mostrado que las lisozimas tienen propiedades antibacterianas y pueden ser eficaces contra *Xyllela*. La Solicitud de Estados Unidos Nº 20020104126 muestra que la lisozima bovina, que está activa a un pH muy bajo, puede expresarse en plantas del tabaco y conserva actividad en ensayos *in vitro*. Sin embargo, la viabilidad de expresar lisozima en plantas leñosas, concretamente vides, o su eficacia contra *Xyllela* o tratamiento de PD no se ha ensayado. Se ha mostrado que el gen de resistencia a oídio de la vid, *Rnn1* confiere resistencia a *V. vinifera* susceptible cuando se transfiere mediante una estrategia de pseudo-retrocruzamiento y se suministra usando un cromosoma artificial de bacteria (Barker *et al.*, Theor. Appl. Genet. 111: 370-377, 2005). Por lo tanto, *Run1* y otros genes asociados con la resistencia a enfermedad son adecuados para su uso en los métodos y construcciones/vectores descritos en el presente documento.

Como alternativa, el presente vector puede usarse para inducir silenciamiento de ARN (silenciamiento génico inducido por virus o VIGS) para reprimir la expresión génica no deseada, tal como expresión de genes de organismos patógenos o genes de hospedadores no deseados. El VIGS es un fenómeno bien conocido en la técnica como un mecanismo usado para examinar las funciones de genes vegetales (Godge *et al.*, Plant Cell Rep 27(2): 209-219, 2008; e-pub antes de la impresión, 2007). Para inducir el VIGS, el vector puede codificar una parte de una secuencia de nucleótidos del gen diana. La secuencia de nucleótidos puede ser de cualquier parte del transcrito expresado a partir del gen, incluyendo una región codificante de proteína o secuencias no traducidas.

Otra realización de la presente divulgación es el uso del vector de la invención para introducir genes que están implicados en la modificación estética de las partes comestibles de la planta transducida o transgénica, tal como sabor o aroma del jugo. Dichas partes comestibles incluyen las raíces, tallos, hojas, flores, semillas y/o fruto de la planta, o cualquier sustancia comestible derivada de las mismas. En particular, las uvas, o el jugo derivado de las

mismas, puede modificarse de modo que los agentes que interaccionan con los receptores del sabor bloqueen o potencien ciertos sabores, tales como amargo, dulce, agrio y similares. Como alternativa, los agentes potencian los compuestos aromáticos hallados en las uvas o el jugo. Dichos agentes pueden ser proteínas, tales como monelina, taumatinas, gustducina, terpenoides y otras de dichas proteínas conocidas en la técnica. Para modificación estética, el vector de la presente divulgación puede modificarse por ingeniería genética para codificar una molécula modificadora de la estética, tal como una proteína, y usarse después el vector para transformar una célula vegetal, que después expresa la molécula.

Los métodos y vectores de la presente divulgación también pueden usarse para introducir genes que están implicados en las rutas metabólicas de uvas (metabolómicas) para la mejora de las características nutricionales. Por ejemplo, se ha descubierto que el resveratrol, un compuesto polifenólico (3, 4', 5-trihidroxiestilbeno) hallado en uvas, tiene ciertos beneficios para la salud, tales como propiedades antineoplásicas y asociación con una reducción en enfermedad cardiovascular. Otros compuestos hallados en uvas con beneficios para la salud potenciales incluyen fitonutrientes tales como quercetina, catequinas, antocianinas y proantocianidinas. La secuenciación de la variedad de uva pinot noir así como el desarrollo de técnicas de realización de perfiles metabólicos, tales como técnicas espectroscópicas de resonancia magnética nuclear, proporcionan información valiosa para desarrollar genes adecuados para su uso con los vectores y sistemas de expresión descritos en el presente documento. Genes adicionales de interés están implicados en la maduración, tales como el gen flb, así como cualquier aspecto del cultivo de plantas, desarrollo y producción agrícola que pueda desearse.

La presente divulgación abarca métodos para expresar un gen heterólogo en una célula vegetal introduciendo un vector de expresión génica vegetal descrito en la célula. El vector de transferencia génica vegetal puede introducirse en la célula vegetal por cualquiera de los métodos conocidos en la técnica, por ejemplo, por infiltración de vacío, sonicación, de forma balística, precipitación con fosfato cálcico, electroporación, fusión de polietilenglicol, transformación directa (Lorz et al, Mol. Genet. 199: 179-182, 1985) y otros métodos. El vector puede introducirse como una partícula viral infecciosa o como un nucleótido no infeccioso. Un método es la agroinoculación, por ejemplo, incorporando el vector en un plásmido binario con elementos de control adecuados para expresar el vector en una especie de *Agrobacterium*, tal como *A. tumefaciens*, *A rhizogenes* y *A. vitis*. Dichos métodos se conocen en la técnica, tales como los descritos en Leiser et al., Proc. Natl. Acad. Sci. USA 89: 9136-9140, 1992 y Bouquet et al, Methods in Mol. Bio. 344: 273-285, Agrobacterium Protocols, 2ª ed. vol. 2, Wang ed (2006). Puede introducirse *Agrobacterium* en plantas de vid micropropagadas por medio de infiltración de vacío o sonicación. Las cepas de *Agrobacterium* modificadas por ingeniería genética para expresar el vector viral pueden mezclarse con otra cepa modificada por ingeniería genética para expresar el supresor viral de ARNi para aumentar la infecciosidad del vector (Chiba et al., Virology 346: 7-14, 2006).

El vector puede introducirse para expresión estable o expresión transitoria. Puede conseguirse expresión estable por varios métodos conocidos, tales como cocultivo de tejido de uva embrionario con *Agrobacterium* que contiene el vector usando los métodos de Bouquet *et al.* (Methods Mol. Biol. 344: 273-285, 2006). También puede conseguirse expresión transitoria por métodos conocidos, tales como los métodos descritos en los ejemplos de la presente solicitud. Otros métodos incluyen, pero sin limitación, infiltración de hojas, infiltración de vacío y bombardeo de tejidos diana con partículas recubiertas de ADN.

El vector también puede aplicarse a la vid o a cualquier parte de la misma mediante aplicación de una solución que contiene el vector, tal como por pulverización. Dichas soluciones contienen el vector como ADN, partículas recubiertas de ADN o contenidas en *Agrobacterium*, así como sales y tampones. La solución puede contener, por ejemplo, un tampón fosfato a 0,1 M, pH 7 o puede contener nicotina. Dichas formulaciones se conocen bien en la técnica y pueden usarse según sea adecuado para los presentes métodos. La solución puede contener además un abrasivo, tal como carborundum, por ejemplo carborundum de malla 500, caolín o tierra diatomea Celite®. La solución puede comprender también un tensioactivo, tal como Triton o Tween, que se conocen bien en la técnica. La solución puede aplicarse a la planta mediante frotado, goteo, inmersión, pulverización u otros medios. Véase, por ejemplo, enfermedades transmisibles por injerto de vides. Martelli ed. 1993, Roma, Italia, Food and Agriculture Organization of the United Nations publ.

La presente divulgación incluye además composiciones que comprenden el vector o los vectores descritos en el presente documento. Además del vector y opcionalmente otros ingredientes funcionales tales como abrasivos y/o tensioactivos, dichas composiciones pueden incluir excipientes adecuados para introducir el vector en una célula vegetal, tales como sales, por ejemplo, cloruro de magnesio y tampones, tales como MES o fosfato, y son normalmente soluciones acuosas. Véase, por ejemplo, enfermedades transmisibles por injerto de vides. Martelli ed. 1993, Roma, Italia, Food and Agriculture Organization of the United Nations publ.

El vector puede aplicarse diariamente, mensualmente, por temporadas o anualmente. El vector puede aplicarse durante o después de la aparición de enfermedad o la infestación de los vehículos de enfermedad. Por ejemplo, los síntomas de la enfermedad pueden leerse dos veces al año: al final de la primavera para deformaciones de la hoja y la caña y necrosis y en otoño para pigmentación anómala y otras deformidades ((Graft transmissible diseases of grapevines. Martelli ed. 1993, Roma, Italia, Food and Agriculture Organization of the United Nations publ). Tras la identificación de los síntomas, el vector puede aplicarse, tal como pulverización con una solución que contiene un

abrasivo. Como alternativa, las plantas pueden pulverizarse tras la infestación con un vehículo conocido de una enfermedad, tal como ciertos nematodos o cicadas de vides, o en ciertas condiciones climáticas o estaciones que se sabe que inducen condiciones favorables a una enfermedad, tales como clima húmedo y oídio. Se conocen bien en la técnica directrices e índices para dichas condiciones, tales como las Directrices del Control de Plagas de la Universidad de California, los Sistemas de Control de Plagas Integrados Estatales, disponibles en internet en at.ipim.ucdavis.edu/PMG/r302101211.html (accedida por última vez el 27 de enero de 2008). Además, el presente vector puede aplicarse con otros agentes antienfermedad conocidos, tales como aceites, fungicidas y similares.

La presente divulgación incluye un método para transformar una planta que comprende introducir la transferencia génica vegetal descrita en la planta una vez o más de una vez. El vector puede introducirse dos, tres, cuatro, cinco, 10 seis, siete, ocho, nueve, diez o más de diez veces en la planta. La planta puede expresar el polinucleótido heterólogo de forma sistémica o local.

La célula vegetal puede cultivarse en una planta transgénica, tal como usando los métodos de Bouquet et al. 15 (Methods Mol. Biol. 344: 273-285, 2006). Como alternativa, la célula vegetal puede ser parte de una planta multicelular de modo que se transforme solamente una parte de la planta. Por ejemplo, puede transformarse el rizoma, el tallo o las hojas. El vector puede introducirse antes de la aparición de enfermedad para conferir resistencia, o puede introducirse después de observar la enfermedad para reducir o aliviar la enfermedad, para proteger las partes no infectadas restantes de la planta o para prevenir la propagación de la enfermedad a otras 20 plantas.

#### Referencias adicionales

5

Agranovsky et al., Proc. Natl. Acad. Sci. U S A 92(7), 2470-2473, 1995

Alzhanova et al., Virology 268(1), 192-200, 2000 25

Alzhanova, EMBO J. 20, 6997-7007, 2001

Alzhanova et al., Virology 359, 220-226, 2007

Barrett y Rawlings, Biol. Chem. 382, 727-733, 2001

Boyko et al., Proc. Natl. Acad. Sci. U S A 89, 9156-9160, 1992

De los Santos *et al.*, J. Virol. 80, 1906-1914, 2006 Ding y Voinnet, Cell 130, 413-426, 2007 30

Donson et al., Proc Natl Acad Sci U S A 88: 7204-7208, 1991

Dougherty y Semler, Microbiol. Rev. 57(4), 781-822, 1993

Gabrenaite-Verkhovskaya et al., J. Gen. Virol. 89, 829-838, 2008

35 Gorbalenya et al, FEBS Lett 243, 103-114, 1989

Gorbalenya et al., Virus Res., 117(1):17-37,006

Gorbalenya et al., FEBS Lett. 288(1-2), 201-5, 1991

Karasev, Annu. Rev. Phytopathol. 38, 293-324, 2000

Kasschau et al., Virology 228(2), 251-62, 1997

40 Koonin y Dolja, Crit. Rev. Biochem. Mol. Biol. 28(5), 375-430, 1993

Koonin y Dolja, Virus Res 117, 1-4, 2006

Lakatos et al., EMBO J. 25, 2768-2780, 2006

Lu et al., Proc. Natl. Acad. Sci. U S A 101, 15742-15747, 2004

Marillonnet et al., Nat. Biotechnol. 23: 718-723, 2005

Napuli et al., J. Virol. 77, 2377-2384, 2003 45

Ng y Falk, Annu. Rev. Phytopathol. 44, 183-212, 2006

Satyanarayana et al., Proc. Natl. Acad. Sci. U S A 101, 799-804, 2004

Satyanarayana *et al.*, Virology 278(1), 253-265, 2000 Segers *et al.*, Eukaryot. Cell 5, 896-904, 2006

Susaimuthu et al., Virus Res. 131, 145-151, 2008 Tian et al., J. Gen. Virol. 80, 1111-1117, 1999

Tijms et al., J. Virol. 81, 10496-10505, 2007

Torrance et al., J. Mol. Biol 357, 1-8, 2005

Valli et al., J. Virol. 80, 10055-10063, 2006

Ziebuhr et al., J. Virol 81, 3922-3932, 2007 Ziebuhr et al., J. Gen. Virol. 81, 853-879, 2000

Los siguientes ejemplos se proporcionan para ilustrar ciertas características y/o realizaciones particulares. No debería interpretarse que estos ejemplos limiten la invención a las características o realizaciones particulares

## **Eiemplos**

descritas.

50

55

60

65

Búsqueda de un aislado de virus local. Se realizó un estudio de vides locales para determinar si LR-2 está presente de forma natural en Oregón, y se descubrieron vides que mostraban síntomas de tipo LR-2 de enrojecimiento de la hoja temprana. Se realizó análisis de inmunotransferencia con el kit de inmunodetección de LR-

2 disponible en el mercado (Bioreba AG, Reinach, Suiza; Cat. Nº 120775) y se generaron anticuerpos adaptados usando los viriones de LR-2 aislados de *N. benthamiana* como se describe posteriormente. El análisis de RT-PCR usando los cebadores diseñados para amplificar una región de aproximadamente 2 kb del genoma de LR-2 que contenía el gen de proteína de cápsida viral también demostró que las vides contenían de hecho el virus.

5

10

15

20

25

30

Clonación molecular y secuenciación de nucleótidos. Para facilitar la acumulación y aislamiento de LR-2, se usó material de vides infectadas para inocular mecánicamente *N. benthamiana*. Se usaron partículas de virus purificadas para obtener ARN viral, amplificarlo por RT-PCR y clonar los productos de ADNc en el plásmido del vector pBlueScript. Las secuencias terminales del genoma viral se clonaron usando RLM-RACE. Se secuenció un gran número de clones independientes para proporcionar cobertura múltiple del genoma viral. La secuencia de nucleótidos consenso resultante por primera vez incluyó el genoma viral completo y contenía regiones terminal 5' y terminal 3' exactas. El análisis comparativo de esta secuencia reveló 99,9 % de identidad con la secuencia incompleta publicada previamente del aislado del LR-2 de Nueva York sobre las regiones de solapamiento (Zhu et al., J. Gen. Virol. 79: 1289-1298, 1998). Se muestra un mapa funcional del genoma de LR-2 de ~16.500 nucleótidos de longitud en la Figura 1A.

El inóculo inicial de *N. benthamiana* con LR-2 se realizó como se describe en Goszczynski *et al.* (Vitis 35: 133-135, 1996). Posteriormente, se usaron hojas infectadas de *N. benthamiana* para realizar un inóculo para propagación de virus en este hospedador de virus experimental. De forma rutinaria, se molió 1 g de tejido infectado en 5 ml de tampón de Na-fosfato 0,05, pH 7,0, y se usó para inoculación manual de las nuevas plantas con ayuda de carborundum.

Se realizó amplificación por RT-PCR, clonación y ensamblaje del clon de ADNc de longitud completa como se describe en Peremyslov y Dolja (Curr. Protocols Microbiol., "Cloning of Large Positive-Strand RNA Viruses" Supl. 7., Coico, ed., noviembre, 2007).

Inserción del casete de expresión génica. Se clonó un promotor de ARN subgenómico fuerte que conduce la expresión de la proteína de cápsida principal en el pariente de LR-2, virus del amarilleo de la remolacha (BYV), y se insertó cadena abajo del promotor de LR-2 análogo junto con sitios de restricción únicos *Pac* I y *Fse* I en uno de los clones de ADNc de LR-2 parciales. Se insertó un gen indicador que codificaba proteína verde fluorescente dirigida a retículo endoplásmico (ER-GFP) entre los dos promotores (Figura 1B). Se esperaba que este diseño diera como resultado una producción de alto nivel de ER-GFP de promotor de LR-2 auténtico y proteína de la cápsida de LR-2 de un promotor de BYV recombinante descrito en (Agranovsky *et al.*, J. Gen. Virol. 72: 15-23, 1991) e ilustrado en la SEC ID Nº: 1.

35

40

45

Generación de un clon de ADNc de longitud completa de LR-2. Usando clones de ADNc parciales solapantes, se ensamblaron varios clones de LR-2 de longitud completa prototípicos que contenían casete de expresión en pBlueScript® (Stratagene, La Jolla, CA) bajo el control del promotor de ARN polimerasa SP6 de fago. Se obtuvieron transcritos de ARN de extremos recubiertos correspondientes *in vitro* y se usaron para transfectar protoplastos de cultivo en suspensión del tabaco e inocular plantas de *N. benthamiana*. Debido a que ninguno de estos experimentos dio como resultado multiplicación e infección de virus, se volvió a secuenciar el genoma viral clonado. Se detectaron múltiples mutaciones perjudiciales en todo el genoma lo que sugiere que se introdujeron errores durante la amplificación por RT-PCR de fragmentos genómicos. Para superar este importante obstáculo, se volvió a ensamblar el genoma de LR-2 completo a partir de los fragmentos de ADNc obtenidos usando transcripción inversa y ADN polimerasa de Klenow en lugar de PCR. Aunque este enfoque dio como resultado una reducción drástica del número de mutaciones letales, ninguno de los clones resultantes estaba completamente libre de ellas. Estos resultados indicaron que el ADNc de LR-2 en forma sin mutaciones, funcional, era probablemente tóxico para *E. coli* usada para clonación.

50 U p u

55

Uno de los enfoques que pueden aliviar la toxicidad de ADN recombinante es usar un número de copias de plásmido para la clonación. Para ensayar esta posibilidad, se usó pCB-302 (Xiang et al., Plant Mol. Biol. 40: 711-717, 1999), un mini-vector binario adecuado para clonar tanto en *E. coli* como en *A. tumefaciens*. Este vector se ha modificado para acomodar todos los elementos de control requeridos para expresión posterior del genoma de LR-2 en plantas usando agroinoculación. Estos elementos incluyeron el promotor de ARN polimerasa de 35S, terminador de NOS y una ribozima diseñada a medida para una liberación de un extremo 3' auténtico de ARN de LR-2 tras su transcripción. Este último acontecimiento de procesamiento es crítico para la capacidad del ARN viral para replicar en la planta. Después de estas modificaciones, se clonó el ADNc de LR-2 de longitud completa en pCB-302 y se designó el plásmido pCB-LR-GFP (SEC ID Nº: 1).

60 EI

El ADNc de LR-2 se clonó entre los extremos derecho e izquierdo de ADN-T del plásmido pCB-302. Se muestra un mapa del plásmido resultante en la Figura 1C. La secuenciación de nucleótidos del genoma viral clonado completo no reveló ninguna mutación perjudicial.

Ensayos de infecciosidad en *N. benthamiana*. Se transformó pCB-LR-GFP en agrobacterium y la cepa resultante se cultivó, se indujo y se usó para agroinfiltración de las plantas de *N. benthamiana*. De media a las 2-3 semanas después de la inoculación, algunas de las plantas mostraron síntomas de infección típicos. La microscopía de

barrido de láser confocal detectó fuerte expresión de GFP en las células epidérmicas de las hojas infiltradas. Como se esperaba, la fluorescencia de GFP se limitó a una red característica del retículo endoplásmico (ER) y complejos de replicación de viral derivados de ER (Fig. 2). El examen de las hojas superiores, tallos y peciolos de las plantas sintomáticas reveló altos niveles de acumulación de ER-GFP en los tejidos del floema por toda la planta que son típicos de LR-2 y otros closterovirus (Fig. 3). El análisis ultraestructural del tejido infectado confirmó la acumulación de las grandes cantidades de viriones de LR-2 filamentosos en las células de floema, especialmente en las células de la vaina de haz que rodean al xilema y elementos de tamiz. Además, el análisis de inmunotransferencia confirmó la acumulación eficaz de proteína de la cápsida de LR-2 (Fig. 4A). Estos experimentos demuestran que el LR-2 clonado, recombinante es altamente infeccioso, es capaz de proliferar de forma sistémica y expresar un proteína recombinante en un hospedador experimental *N. benthamiana*.

**Mejora del eficacia de agroinfección.** Aunque se produjo uniformemente infección por LR-2 tras la agroinoculación, el número de células infectadas de forma primaria en las hojas inoculadas fue baja y solamente una fracción de las plantas inoculadas desarrolló infección sistémica. Para potenciar la capacidad del virus recombinante para establecer la infección, se usó un método basado en la expresión de supresores virales de ARNi en el momento de la inoculación (Chiba *et al.* Virology 346: 7-14, 2006). Además, se demostró que LR-2 codifica un supresor muy potente de ARNi, p24. Por lo tanto, se añadió agrobacterium que se había modificado por ingeniería genética para expresar p24 a inóculo. Esta técnica dio como resultado un aumento de aproximadamente 5000 veces en la infecciosidad específica del virus introducido por agrobacterium (Fig. 5) (Chiba *et al.* Virology 346: 7-14, 2006). En la actualidad se obtiene rutinariamente 100 % de infección de las plantas agroinoculadas *N. benthamiana*.

**Estabilidad genética del vector de expresión génica de LR-2.** Para ensayar si el vector de LR-2 es capaz de conservar un inserto ajeno intacto que codifique proteína indicadora, se han aislado ARN de las hojas superiores de las cuatro plantas individuales de *N. benthamiana* infectadas. Se ha realizado RT-PCR usando estos ARN y cebadores localizados cadena arriba y cadena abajo del casete de expresión de ER-GFP. Los productos de PCR resultantes eran del tamaño esperado lo que indica conservación del casete completo en cada una de las plantas ensayadas (Fig. 4B). Resulta importante que no se detectaron productos más cortos que podrían originarse de pérdida completa o parcial del casete. Estos datos confirmaron que el vector modificado por ingeniería genética es genéticamente estable y puede usarse para la expresión eficaz de las proteínas recombinantes.

Desarrollo del vector de silenciamiento génico para genómica funcional y control de virus. Para ensayar un potencial del vector de LR-2 para silenciamiento génico inducido por virus (VIGS), se usó la línea de *N. benthamiana* transgénica para GFP 16c y LR-2 que expresaba GFP. Se observó el silenciamiento de GFP fuerte en las hojas infectadas de forma sistémica de plantas 16c después de inoculación con LR-2 GFP (Fig. 6). Este experimento demostró que LR-2-GFP actúa de forma similar a vectores de VIGS conocidos induciendo ARNi del transgén en respuesta a sobreexpresión del gen afín por virus, proporcionando prueba de concepto para la utilidad del vector de LR-2 para VIGS.

**Micropropagación de vid y transferencia a suelo.** Se desarrolló un aporte fiable de plantas de vides experimentales en todo el año para ensayar los nuevos vectores usando una técnica para micropropagación de vid en condiciones estériles en cajas de plástico usando medio de cultivo basado en agar. Dichas plantas pueden usarse para ensayos de infecciosidad directamente. Además, hay informes anecdóticos que indican que las plantas micropropagadas han aumentado la susceptibilidad a infección viral. Como alternativa, pueden transferirse plantas micropropagadas a suelo y cultivarse en el invernadero para obtener plantas leñosas que son más similares en su susceptibilidad a plantas cultivadas en el suelo abierto. Las condiciones se optimizaron para dicha transferencia y se obtuvo aporte constante de las plantas de vides micropropagadas y de invernadero.

Brevemente, se agruparon recortes de 30,48 centímetros con al menos dos brotes en grupos de 20-30 y se empaparon en una solución de lejía al 10 % durante 10 minutos, se aclararon tres veces en agua, después se sumergieron en agua durante 12-24 horas. Los haces se sumergieron después en solución de arraigo (Dip'N Grow, Dip'N Grow Inc., Clackamas, OR) y se plantaron en vermiculita húmeda calentada a 29,44 °C. El arraigo se produjo en 3-4 semanas. Los recortes se plantaron después a 10,16-15,24 centímetros de profundidad en suelo de maceta bajo un lecho de nebulización ajustado para 3 segundos cada ocho unidades solares (día) y 3 segundos cada 2 horas (noche): una vez que las hojas aparecieron en aproximadamente dos semanas, se redujo la nebulización para evitar el crecimiento de moho y mildiú.

Para establecer vides en cultivo tisular, se retiraron nuevos brotes y se retiraron todas excepto una hoja de la punta del brote. Los brotes se incubaron en jabón líquido Ivory al 0,05 % (Proctor and Gamble, Cincinnati, OH) durante 10 minutos, se aclararon en agua durante una hora, después se sonicaron durante diez minutos en un baño de agua de sonicación. Los brotes se esterilizaron en superficie en una solución de lejía al 5 % durante seis minutos y se movieron a una campana de flujo laminar para manipulación estéril. Los brotes se aclararon en agua desionizada estéril, se recortaron en la base y se plantaron en medio de agar OH. Los brotes se incubaron en una campana de cultivo durante dos semanas; se añadió líquido GS1, se incubó durante otras dos semanas, y después se transfirieron a medio de agar GS1. Cada dos semanas, se añadió medio nuevo, a continuación después de un mes, los brotes se cambiaron al medio del siguiente estadio (GS2, GS3). Las raíces se desarrollaron en medio GS3.

Medio OH de uva

Ingrediente Concentración g/l Sales M y S 3,22 g Tiamina reserva de 0,8 ml () Inositol 0,100 g 0,5 ng/ml Sacarosa 7 g 0,170 g NaH<sub>2</sub>PO<sub>4</sub> Sulfato de adenina 0,08 g

Ajustar pH a 5,7

Agar 3 g

5 Esterilizar por autoclave durante 20 minutos, enfriar en baño de agua a 50 °C durante 30 minutos, después añadir antibiótico: Cefotaxima 0,2 g. Esterilizar por filtración en medio frío y mezclar. Distribuir a tubos de ensayo estériles.

Medio de estadio de uva 1 (GS1)

Concentración g/l Ingrediente

Sales M y S 3,22 g

Tiamina reserva de 0,8 ml (0,5 mg/ml)

Inositol 0,1gSacarosa

**BAP** reserva de 2 ml (0,5 mg/ml))

10

20

Esterilizar por autoclave durante 20 minutos, enfriar en baño de agua a 50 °C durante 30 minutos, después añadir antibiótico: Cefotaxima 0,2 g. Esterilizar por filtración en medio frío y mezclar. Distribuir en 24 cajas Magenta estériles.

15 Medio de estadio de uva 2

> Ingrediente Concentración g/l Sales M y S 3.22 a Tiamina

reserva de 0,8 ml (0,5 mg/ml) Inositol

0.25 gSacarosa 15 g NaH<sub>2</sub>PO<sub>4</sub>  $0.05 \, q$ BAP

reserva de 4 ml (0,5 mg/ml) IAA

reserva de 0,5 ml de IAA (1 mg/ml)

Ajustar pH a 5,3

Agar 2 g 1,2 g Goma gellan Gelrite®

Esterilizar por autoclave durante 20 minutos, enfriar en baño de agua a 50 °C durante 30 minutos, después añadir antibiótico: Cefotaxima 0,2 g. Esterilizar por filtración en medio frío y mezclar. Distribuir en 24 cajas Magenta estériles.

Medio de estadio de uva 3 (GS3)

Concentración g/l Ingrediente

Sales M y S 3,22 g

Tiamina reserva de 0,8 ml (0,5 mg/ml)

Inositol 0,025 g Sacarosa 15 g NaH<sub>2</sub>PO<sub>4</sub> 0.05 g

IAA reserva de 1 ml (1 mg/ml)

Ajustar pH a 5,3

Agar 1 g Goma gellan Gelrite® 1 g

- 25 Esterilizar por autoclave durante 20 minutos, enfriar en baño de agua a 50 °C durante 30 minutos, después añadir antibiótico: Cefotaxima 0,2 g. Esterilizar por filtración en medio frío y mezclar. Distribuir a 24 cajas Magenta estériles o 12 cajas Magenta de dos pisos.
- Se están micropropagando y examinando numerosas variedades de uva con respecto a su susceptibilidad a la agroinfiltración y expresión de proteínas ajenas. Las variedades Carbernet franc y Sirah han demostrado 30

propiedades deseables. Además, se ha descubierto preliminarmente que las plantas estériles transferidas a medios sin antibióticos son más susceptibles a agroinfiltración.

**Preparación de agrobacterium.** Para preparar el *Agrobacterium*, la construcción de agro se sembró en estrías en placa de agar LB Kan (50 μg/ml) y se incubó a 28 °C durante tres días. Se seleccionaron colonias individuales y se añadieron a un cultivo de 5 ml en LB Kan (50 μg/ml), MES (10 mM) y acetosiringona (20 μM) y se agitó a 220 rpm y 28 °C. Se añadió rifampicina (50 μg/ml) si se usó la cepa de Agro C58 GV2260. Los cultivos de partida se transfirieron a 500 ml de LB Kan (50 μg/ml), MES (10 mM) y acetosiringona (20 μM) y se agitaron durante una noche (1-20 horas) a 28 °C. El cultivo se centrifugó a 6000 rpm durante 10 minutos a temperatura ambiente y el sedimento celular se suspendió en 20 ml en tampón de inducción para una concentración final de  $DO_{600}$  2,0 para construcciones de virus completo o  $DO_{600}$  0,7 para construcciones solamente con marcador de GFP combinando con  $DO_{600}$  0,1-0,14 para p24 supresor y añadiendo tampón de inducción adicional.

Para preparar la construcción de p24 supresora, se preparó la reserva de Agro como anteriormente, después se suspendió en 20 ml de tampón de inducción a una concentración final de  $DO_{600}$  0,1 para combinar con la suspensión de construcción de virus completo o  $DO_{600}$  0,14 para combinar con suspensión solamente con marcador de GFP.

Tampón de inducción

5

10

15

35

40

45

50

55

MgCl<sub>2</sub> 10 mM = 2 ml de MgCl<sub>2</sub> 0,5 MES 10 mM pH 5,85 = 2 ml de MES 0,5 M pH 5,85 por 100 ml acetosiringona 150  $\mu$ M = 100  $\mu$ l de acetosiringona 150 mM

Infiltración por agrobacterium de hojas de vid micropropagadas o plantas completas. Se hirieron hojas sanas de plantas micropropagadas con aguja de 31 g agujereando las venas grandes y la superficie de la hoja. Se colocaron hojas individuales en tubos con 5-10 ml de suspensión de inducción, o la planta completa se soltó en un vaso de precipitados grande con 200 ml de suspensión de inducción. Las suspensiones de vid/agro se sonicaron durante 10 minutos en un baño de agua de sonicación Branson 3510, después se empaparon en suspensión de inducción durante 2-3 horas después de la sonicación. Las hojas o plantas de vid se secaron en toallas de papel estériles, después las hojas se colocaron en placas de agar con agua (7 g de agar/1 l de agua) y se sembraron plantas completas en macetas de 10,16 centímetros que contenían mezcla de macetas y se regaron abundantemente. Se colocaron vasos de plástico estrechamente sobre las plantas para reducir la transpiración en la cámara de cultivo. El aire ambiental se introdujo gradualmente en plantas sembradas inclinando el ángulo de los vasos durante un periodo de dos semanas hasta retirar con el tiempo los vasos de plástico.

Las hojas se controlaron con respecto a expresión de GFP por microscopio después del día 4 para construcciones solamente con el marcador de GFP y después del día 12-14 para construcciones de GFP/virales completas.

Pueden usarse técnicas similares con otras partes de la planta, tales como el rizoma.

Expresión de GFP en vid usando agrobacterium. De forma paralela a los intentos de generar un clon infeccioso de LR-2, se realizaron experimentos dirigidos a desarrollar tecnologías para la expresión transitoria mediada por agrobacterium de genes recombinantes en la vid. Estos experimentos se diseñaron para facilitar ensayos de infecciosidad futuros en la vid. Usando agrobacterium modificada por ingeniería genética para expresar indicador de GFP libre (Fig. 7C) y una técnica de infiltración de vacío de suspensión bacteriana en hojas o plantas completas, se demostró la acumulación de GFP en plantas micropropagadas. Para este fin, se dejaron hojas agroinfiltradas separadas en placas de Petri sobre agar con agua en una cámara de cultivo de plantas a 22 °C durante 4 días y se exploró con respecto a expresión de GFP usando el estereoscopio epifluorescente Leica MZ 16F equipado con un filtro de GFP2 y cámara digital (como se muestra en la Fig. 7A y B) o microscopio de láser confocal. Se realizó microscopía de exploración de láser confocal usando el microscopio Zeiss LSM 510 META (Zeiss, Alemania) equipado con los filtros de excitación a 488 nm y emisión a 508 nm. El paquete de software proporcionado por el fabricante se usó para procesamiento de imágenes.

También se ensayó una técnica alternativa de agroinoculación usando inmersión de las plantas en baño ultrasónico con suspensión bacteriana como se ha descrito anteriormente. Este enfoque demostró ser tan exitoso como la infiltración con el beneficio adicional de la simplicidad (Fig. 7A). Además, la sonicación dio como resultado una expresión frecuente de GFP en el tejido de hoja vascular (Fig. 7B). Debido a que LR-2 está asociado preferentemente con el floema, se espera que esta técnica facilite la infección.

Se realizan ensayos adicionales utilizando aislados de *Agrobacterium vitis* y *A. rhizogenes* para determinar si estas bacterias pueden proporcionar mejor eficacia de agroinoculación en uvas en comparación con *A. tumefaciens* tradicional. Además, está en curso para mejorar la transformación la optimización de los protocolos para agroinfiltración y sonicación, ensayo de la utilidad de agroinfección combinada con injertos (cortes injertados Omega tratados con suspensión bacteriana) y una técnica de agroinoculación de pelar-curar por la que se aplica suspensión bacteriana al floema expuesto pelando la corteza.

Ensayos de infecciosidad en vid. Se usaron dos clones de LR-2 diferentes para agroinoculación: i) miniLR-GFP/GUS (este mini-genoma incluye solamente los genes requeridos para replicación más un gen indicador GFP/GUS y carece de genes requeridos para el ensamblaje de viriones y transporte en plantas; SEC ID N°: 2). El indicador GFP/GUS representa una fusión de GFP que puede detectarse por microscopía epifluorescente y GUS (β-glucoronidasa) que posee actividad enzimática que proporciona ensayos sensibles in situ e in vitro. El papel de miniLR-GFP/GUS se muestra en la Fig. 8; la secuencia de nucleótidos correspondiente se proporciona como SEC ID N°: 2; y ii) LR-2-GFP de longitud completa (SEC ID N°: 1). Cuando se exploraron las plantas micropropagadas agroinoculadas con miniLR-2GFP/GUS mezclado con plásmido que expresa p24, se observaron grandes números de células infectadas que expresaban indicador de ER-GFP en el ER (Fig. 8) lo que demuestra la capacidad del mini-vector para replicar y expresar proteína indicadora en las células de hojas de la vid. Por lo tanto, cada célula positiva para GFP detectada por microscopía de barrido de láser confocal o epifluorescente representa un acontecimiento exitoso de la introducción del vector viral y obtención de expresión del indicador por el vector viral en este caso presentado por el minirreplicón.

5

10

40

45

50

55

60

- Sin embargo, experimentos similares con el vector de longitud completa dieron como resultado infección del número limitado de células (Fig. 9). De hecho, en trabajos anteriores con BYV, se ha descubierto que el nuni-genoma tenía infecciosidad muy superior tras agroinfección (Chiba *et al.*, Virology 346: 7-14, 2006).
- Desarrollo adicional del vector de LR-2 de longitud completa. El clon de LR-2 de longitud completa original se generó usando ARN genómico de LR-2 aislado del virus que se propagó en *N. benthamiana*. Para mejorar la infecciosidad de la vid y reducir la posible mutación debido a la adaptación de virus a un hospedador experimental, el clon de longitud completa se reensambló de fragmentos de ADNc derivados directamente de vid infectada por LR-2 de Pinot Noir obtenida de un viñedo de Oregón local.
- Se purificó ARN total de hojas usando un kit RNeasy Vegetal (QIAGEN) y se usó como un molde para construcción de ADNc de cebadores aleatorios. Después se amplificaron por PCR fragmentos contiguos de 2 a 4 kb a partir de este ADNc. Se diseñaron oligonucleótidos para las PCR basándose en la secuencia publicada de los sitios de clonación únicos solapados y de GRLaV-2 presentes en el ADNc de este virus. Los fragmentos de PCR amplificados se clonaron después en un plásmido binario que portaba la variante original del ADNc de LR-2 para reemplazar partes existentes con las derivadas de un virus presente en la vid. Para cada uno de los fragmentos se secuenciaron al menos cuatro clones para deducir secuencias consenso que corresponden a la variante predominante y completamente biológicamente activa del genoma de LR2 presente en la vid. El ADNc genómico completo que comprende los trozos consenso se reensambló *de novo*. El nuevo plásmido binario que portaba el ADNc para el virus derivado de la vid derivado de la Pinot Noir y que no había pasado nunca a través *N. benthamiana* se designó LR2-Vitis.
  - La secuencia de nucleótidos completa de este casete de expresión LR2-Vitis derivado de la vid se muestra en SEC ID N°: 7. Esta secuencia contiene 74 diferencias de nucleótidos de un casete viral derivado de *N. benthamiana* original (FIG. 14). Parece probable que estas diferencias reflejen adaptaciones del virus a la infección sistémica de la planta hospedadora natural (vid) o experimental (*N. benthamiana*). Por lo tanto, se espera que el vector LR2-Vitis derivado de la vid posea una capacidad aumentada de propagación en la vid.
  - **Utilización de los promotores específicos del floema de** *V. vinifera*. Los vectores LR-2 y LR2-Vitis se introducen usando el promotor de ARN polimerasa II de 35S de CaMV (POL II) que conduce la transcripción de ARN viral tras la agroinoculación. Aunque el promotor de 35S se usa rutinariamente para dichos fines, podría ser subóptimo para la infección de la vid usando vectores LR-2. De hecho, el LR-2 infecta de forma natural la vid y se limita al tejido del floema, mientras que el promotor de 35S no es específico ni de la vid ni del floema. Por lo tanto, los inventores usaron bioinformática para identificar los promotores específicos de floema de la vid candidatos que pueden usarse para el reemplazo del promotor de 35S para mejorar la infección de la vid por LR2-Vitis.
    - Se identificaron tres genes de *A. thaliana* específicos de floema, altamente expresados, y se usaron las secuencias proteicas correspondientes y búsqueda de BLASTP para identificar ortólogos de *V. vinifera* aparentes. Se propone que las secuencias genómicas de *V. vinifera* cadena arriba de secuencias codificantes de proteínas correspondientes (SEC ID Nº: 8-10) son útiles como promotores específicos del floema en lugar del promotor de 35S ejemplificado en un casete de LR2-Vitis. La naturaleza y propiedades específicas de los promotores de *V. vinifera* se perfilan a continuación.
  - 1. El promotor del gen de TRANSPORTADOR SACAROSA 2 de *A. thaliana* (simportador SUC2 de sacarosa-H<sup>+</sup>) (At1g22710) se caracterizó en primer lugar por Truernit y Sauer (Planta 196: 564-570, 1995). En *Arabidopsis*, este promotor regula la expresión del gen de simportador de sacarosa-H<sup>+</sup> AtSUC2 específico de célula compañera de floema en la red venosa completa de hojas completamente desarrolladas (Imlau *et al.*, Plant Cell 11: 309-322, 1999). Imlau *et al.* también descubrió que un fragmento de 939 nt 3' de este promotor es suficiente para conducir la expresión de alto nivel, específica del floema, de un gen indicador.
    - 2. El gen de Arabidopsis At5g57350 codifica una H(<sup>†</sup>)-ĀTPasa 3 de membrana plasmática (bomba de protones) y se expresa en el floema en toda la planta (DeWit *et al.*, Plant J. 1, 121-128, 1991). El fragmento promotor de 2.467 kb de esta ORF fue suficiente para conducir la expresión génica en células compañeras del floema presentes en

hojas, tallos y raíces (Hong Yu et al., Chinese Science Bulletin, 52: 1949-1956, 2007).

3. Gen de Sacarosa sintasa 1 de Arabidopsis (At5g20830). Una región promotora de 2 kb de esta ORF fusionada con un gen indicador dirige su expresión en el floema de hojas maduras (Bieniawska *et al.*, The Plant Journal 49, 810-828, 2007). El extremo 5' del ARNm comienza con ATCTTA (Martin *et al.*, Plant J 4: 367-377. 1993) que está muy cerca de la secuencia 5' terminal de LR-2 que hace a este promotor un candidato muy atractivo para la mejora de la infecciosidad de LR2-Vitis en la vid.

Las secuencias de nucleótidos de los promotores de la vid localizados cadena arriba de las ORF de la vid que codifican ortólogos aparentes de los genes de *Arabidopsis* Atlg22710, At5g57350 y At5g57350 se muestran en SEC ID Nº: 8-10 (respectivamente), junto con identificadores de base de datos que proporcionan sus posiciones respectivas en el genoma de *V. vitis*.

#### Caracterización de los efectos de proteasas líder en replicación

5

10

20

25

30

45

50

65

15 Generación de replicones de GLRaV-2 marcados por inserción de los indicadores fluorescentes, enzimáticos y epitópicos

Se generaron clones para GLRaV-2 para determinar perfiles funcionales de L1 y L2. Se secuenció el genoma de GLRaV-2 de 16.486 nt de longitud, completo (GenBank número de referencia FJ436234; el gen ID es: gi:213958313) y se comparó con los otros aislados de este virus para revelar la relación más estrecha (identidad de nt del 99,6 %) con el aislado 94/970 (Meng et al., Virus Genes 31, 31-41, 2005). El clon de longitud completa inicial se ensambló usando un vector binario y principalmente clonación de ADNc convencional para evitar la introducción de las mutaciones generadas por PCR, y se secuenció para confirmar su correspondencia con la secuencia de nucleótidos consenso del genoma viral. Para facilitar la introducción de la infección viral por agroinoculación, se insertaron promotor de ARN polimerasa 35S del virus del mosaico de la Coliflor (CaMV) y una secuencia de ribozima cadena arriba y cadena abajo de la secuencia de GLRaV-2, respectivamente.

El clon de GLRaV-2 de longitud completa resultante se modificó adicionalmente para acomodar un casete de expresión de gen indicador inmediatamente cadena arriba de la fase abierta de lectura de CP. Este casete contenía la fase abierta de lectura de GFP seguida del promotor de ARN sub-genómico de BYV CP. Como resultado, éste último promotor dirigió la expresión del GLRaV-2 CP, mientras que el auténtico promotor de GLRaV-2 CP expresó el indicador de GFP. Este replicón de GLRaV-2 de longitud completa marcado se designó LR-GFP (Fig. 10A, diagrama medio).

La deleción de los genes que no se requieren para la amplificación de ARN viral en las células individuales facilita la experimentación con los genes restantes que codifican la proteasa líder, ARN replicasa y supresor de ARNi. En el caso de GLRaV-2, dicho minirreplicón se generó por deleción de la región de genoma que abarca el bloque génico de las fases abiertas de lectura de p6 a p19 y la retención del gen indicador. El casete de expresión indicador se modificó adicionalmente para expresar una fusión de GFP con b-glucuronidasa para dar como resultado el minirreplicón GLRaV-2 marcado designado mLR-GFP/GUS (Fig. 10A, diagrama inferior).

Para permitir la detección inmunoquímica de  $L2_{HA}$  usando anticuerpo monoclonal específico de HA comercial, se modificaron tanto LR-GFP como mLR-GFP/GUS por una inserción del marcador de epítopo de hemaglutinina (HA) triple en el dominio N-terminal de L2 (Fig. 10B y 11A). Se ensayó la infecciosidad de las variantes de longitud completa y minirreplicón usando agroinfiltración de hojas de *N. benthamiana*, un hospedador experimental sistémico de GLRaV-2 (Goszczynski *et al.*, Vitis 35, 133-133, 1996). Para mLR-GFP/GUS, dicha agroinfiltración dio como resultado la acumulación de ARN de minirreplicón y expresión eficaz del indicador de GFP/GUS fluorescente y enzimáticamente activo en las células inoculadas inicialmente (Fig. 10B). Resulta importante que el nivel de la actividad GUS en una variante marcada con HA fue de ~85 % de la del mLR-GFP/GUS original. Debido a que esta reducción modesta era solo marginalmente estadísticamente significativa (p valor ~0,001), se concluyó que la inserción de marcador HA en L2 no afectaba significativamente a la amplificación del genoma viral. Los intentos de insertar un marcador HA en L1 dio como resultado replicones no infecciosos y se abandonaron.

Tanto el original como las variantes marcadas con HA del LR-GFP de longitud completa eran sistémicamente infecciosos en *N. benthamiana*; se detectaron síntomas típicos de la infección viral y fluorescencia de GFP en las hojas no inoculadas superiores a las 3 semanas después de la agroinfiltración de las hojas inferiores (Fig. 10A). Por lo tanto, se generó una serie de los replicones de GLRaV-2 marcados infecciosos que podían introducirse en *N. benthamiana* y usarse para abordar las funciones de L1 y L2 en el ciclo de infección viral.

Análisis de mutación de las funciones de L1 y L2 en el procesamiento de proteínas y acumulación de ARN en las células inoculadas inicialmente de N. benthamiana

Para abordar las funciones de L1 y L2, se introdujeron siete mutaciones puntuales y deleciones en la región codificante correspondiente (Fig. 10B). En particular, para determinar los requisitos para el autoprocesamiento en los extremos C respectivos de L1 y L2, se reemplazaron los restos de cisteína catalíticos predichos de cada proteasa (Cys<sub>493</sub> y Cys<sub>767</sub>) por restos de alanina para dar como resultado variantes de M1 y M2, respectivamente (Fig. 10B).

Se investigó la competencia de procesamiento de cada variante usando traducción *in vitro* del ARNm recubierto en el extremo que abarca la región no traducida 5' terminal, la fase abierta de lectura L1-L2 completa y una región cadena abajo corta que codifica una parte del dominio de metiltransferasa (Fig. 10B). Los productos de traducción resultantes se analizaron usando inmunotransferencia y anticuerpo específico de HA (Fig. 11A), o marcaje con <sup>35</sup>S-metionina (Fig. 11B). Como se esperaba, una variante no mutante marcada produjo banda positiva para HA individual correspondiente al L2 marcado con HA, completamente procesado (Fig. 10B y Fig. 11A, carril L2<sub>HA</sub>) y, además, L1 completamente procesado, marcado con isótopo (Fig. 10B y Fig. 11B, carril L2<sub>HA</sub>).

En cambio, la traducción de la variante de M1 dio como resultado la acumulación de un único producto principal correspondiente a una fusión L1-L2 (Fig. 1B; Fig. 2A y 2B, carriles M1). De forma análoga, el reemplazo mutacional de la cisteína catalítica predicha en L2 dio como resultado una falta de autoprocesamiento de L2, pero no afectó a la liberación autocatalítica de L1 (Fig. 10B; Fig. 11A y 11B, carriles M2). Debido a que la mutación de los restos de sitio activos predichos sí inactivó la autoproteólisis por cada proteasa líder, se concluyó que L1 y L2 son de hecho las proteasas de tipo papaína, catalíticamente activas.

Para determinar si el procesamiento por L1 y L2 se requería para amplificación de ARN viral, se usaron las variantes M1 y M2 de mLR-GFP/GUS para agroinfiltrar hojas de *N. benthamiana* y para determinar la actividad GUS resultante. Como se ha mostrado previamente para el minirreplicón de BYV, la actividad GUS proporciona un marcador sustituido fiable para medir la acumulación de los ARN virales en las células infectadas (Penga y Dolja, J Virol. 74, 9766-9770, 2000). Usando este marcador, se descubrió que, inesperadamente, la inactivación de la escisión de L1 dio como resultado expresión de GUS más eficaz; se detectó un aumento de casi 2 veces en la actividad GUS en tres experimentos independientes (Fig. 10B). Por el contrario, la inactivación de la escisión de L2 prácticamente anuló la infecciosidad del minirreplicón: el nivel de expresión de GUS correspondiente fue menor del 0,5 % el del mLR-GFP/GUS parental (Fig. 10B). Este resultado está de acuerdo con el requisito estricto de la escisión por L-Pro para infecciosidad del minirreplicón BYV (Peremyslov *et al.*, J. Virol. 72, 5870-5876, 1998); de hecho la fusión de L-Pro o L2 con la replicasa probablemente interfiera con la síntesis de los ARN virales.

Para determinar los papeles individuales de L1 y L2 en la acumulación de ARN, se generaron los mutantes en los que las regiones codificantes de L1, L2, o ambas, estaban suprimidas. Resulta interesante que el mutante nulo para L1 DL1 tenía capacidad de replicación, aunque un nivel correspondiente de actividad GUS era aproximadamente 5 veces menor que la de la variante de mLR-GFP/GUS parental (Fig. 10B). Inesperadamente, la deleción de L2 en la variante de DL2 dio como resultado un ligero aumento de la expresión de GUS lo que sugiere que L2 no es esencial para la acumulación de minirreplicón en las células de *N. benthamiana* aisladas (Fig. 10B). Sin embargo, la deleción simultánea de L1 y L2 produjo el minirreplicón de DL1/2 que expresó solamente ~1 % de la actividad GUS observada en una variante de mLR-GFP/GUS parental (Fig. 10B). Tomados juntos, estos resultados indicaron que aunque el papel de L1 en la amplificación de ARN viral es más prominente que la de L3, esta última proteasa puede rescatar la acumulación de ARN del mutante deficiente L1, y por lo tanto L1 y L2 tienen funciones parcialmente solapantes en este proceso.

Tanto L1 y L2 poseen los dominios proteasa de tipo papaína C terminales (Pro1 y 2, respectivamente) y los dominios N terminales (NTD1 y NTD2, respectivamente; Fig. 10B). Para determinar las contribuciones relativas de NTD1 y Pro1 en la función de L1, se generaron variantes de DNTD1 y DPro1 en las que esos dominios estaban suprimidos (Fig. 10B). La primera de estas variantes de minirreplicón mostró una reducción de 3 veces en la acumulación de GUS, mientras que la última produjo aún más GUS que en la variante parental (Fig. 10B). Estos datos indicaron que el dominio no proteolítico más que el proteasa de L1 proporcionaba una contribución importante a la acumulación de ARN viral en células de *N. benthamiana*. Debería enfatizarse que el requisito observado para NTD 1 para acumulación de ARN óptima puede reflejar un papel de un dominio proteico, o de una región codificante correspondiente al nivel de ARN, o ambas.

50 Papeles de L1 y L2 en la infecciosidad del virión y propagación sistémica de GLRaV-2 en N. benthamiana

Para definir las funciones potenciales de L1 y L2 en el movimiento de célula-a-célula viral y transporte a larga distancia, se introdujeron las deleciones de DL1 y DL2 en el fondo de la variante de LR-GFP de longitud completa. Después de la agroinfiltración, se aislaron viriones de las hojas inoculadas y se usaron las suspensiones de virión de las concentraciones iguales para inocular manualmente hojas de N. benthamiana y para caracterizar los focos de infección resultantes usando fluorescencia de GFP a los 8 días después de la inoculación. Para la variante de LR-GFP parental, la inoculación produjo  $9,9\pm5,6$  focos de infección por hoja con el diámetro medio de  $4,3\pm1,4$  células. Se obtuvieron resultados muy similares ( $8,2\pm4,8$  focos por hoja; diámetro medio de  $4,1\pm1,3$  células) para la variante de LR-GFPDL2 lo que indica que L2 es prescindible tanto para la infecciosidad como para el movimiento de célula-a-célula del GLRaV-2 en N. benthamiana. Sorprendentemente, la deleción de L1 dio como resultado una reducción de 25 veces, drástica, en la infecciosidad específica de la variante de LR-GFPDL1 (0,4 células por hoja). Además, los muy pocos focos positivos para GFP detectados fueron unicelulares lo que sugiere que L1 o la región codificante correspondiente es esencial para la capacidad del virión para establecer infección en las células inoculadas inicialmente y moverse a las células cercanas.

65

60

55

5

20

25

30

Para determinar si L1 y L2 están implicados en el transporte sistémico de GLRaV-2, se ensayaron seis variantes competentes para replicación en un contexto del LR-GFP de longitud completa introducido en plantas de *N. benthamiana* usando agroinfiltración. Las plantas inoculadas se exploraron con respecto a síntoma, GFP y expresión de CP a las 3, 4 y 5 semanas después de la inoculación. Resulta interesante que la mayoría o todas las plantas inoculadas con variantes M1 y DL2 se infectaron sistémicamente lo que indica que ni L2 ni la escisión entre L1 y L2 son necesarios para el transporte a la distancia del virus en *N. benthamiana* (Fig. 10B y Fig. 12A). Se encontró competencia similar para la proliferación sistémica en el caso de mutante de DPro1. Sin embargo, la deleción del dominio L1 o su N terminal dio como resultado la pérdida completa de la capacidad del replicón para establecer infección sistémica (Fig. 10B y 12A).

10

15

20

La observación de las hojas infectadas de forma sistémica reveló aparentes diferencias en la acumulación de GFP entre las variantes experimentales (Fig. 10A). Para evaluar adicionalmente estas diferencias, se evaluó la acumulación de GLRaV-2 CP en las hojas superiores no inoculadas. Visiblemente, se descubrió que solamente el mutante de DPro1 se acumulaba hasta los niveles comparables a los de la variante parental (Fig. 12B). Las dos variantes mutantes restantes, M1, y especialmente DL2, se acumularon cada una hasta niveles significativamente más bajos que los de la variante de LR-GFP tanto a las 3 como a las 4 semanas después de la inoculación (Fig. 3B). Colectivamente, estos resultados demostraron que el L2 por sí solo y la escisión entre L1 y L2 eran necesarios para la propagación sistémica óptima de GLRaV-2 en N. benthamiana. Además, L1 y su domino no proteolítico N terminal o las regiones codificantes correspondientes son esenciales para la capacidad de GLRaV-2 para establecer infección sistémica dado que ni GFP ni CP viral eran detectables en las hojas superiores de las plantas inoculadas con las variantes de DNTD1 o DL1 incluso a las cinco semanas después de la inoculación (Fig. 12C y 12D).

284
25 del esta gen con usa 30 anti grad pres

35

45

50

En BYV, tanto p20 como L-Pro están implicados en la proliferación sistémica viral (Peng et al., J. Virol. 77, 2843-2849, 2003; Prokhnevsky et al., J. Virol. 76, 11003-11011, 2002). De éstos, p20 es un componente integral de la cola del virión (Peremyslov et al., Proc. Natl. Acad. Sci. U S A 101, 5030-5035, 2004), mientras que no se sabe si L-Pro está presente en los viriones debido a la no disponibilidad del anticuerpo específico de L-Pro. Debido a que se generaron variantes marcadas con HA, funcionales, de L2, se usó para determinar si esta proteasa está asociada con los viriones. Los viriones de GLFRaV-2 se aislaron de hojas infectadas de forma sistémica y se fraccionaron usando gradiente de densidad de sacarosa. El pico de los viriones se detectó en las fracciones 12-14 usando anticuerpo específico para CP (Fig. 13). Sin embargo, el análisis de inmunotransferencia de las fracciones del mismo gradiente usando anticuerpos específicos de HA mostró el pico de L2 en las fracciones 15-17, lo que sugiere que L2 presente en la suspensión de virión no se asocia físicamente con los viriones (Fig. 13). Esta conclusión se vio apoyada adicionalmente por la microscopía electrónica específica de inmuno-oro usada para detectar epítopos de HA presentes en L2. De hecho, solamente se encontró marcaje de oro muy débil en las fracciones 12-14 que contenían el volumen de los viriones. Además, algunas microesferas de oro detectadas en estas fracciones no estaban asociadas directamente con los viriones (Fig. 13, inserto superior). Las fracciones máximas de L2 15-17 contenían números mucho mayores de microesferas de oro, pero prácticamente ningún virión (Fig. 13, inserto inferior), lo que sugiere que L2 no está asociado directamente con viriones GLRaV-2.

40 L1 y L2 son críticos para la infección de minirreplicón de la V. vinifera

Se acepta en general que *N. benthamiana* es, quizás, el hospedador más promiscuo para una gran diversidad de virus vegetales. Para determinar si los papeles aparentemente no esenciales y principalmente redundantes desempeñados por L1 y L2 en la infección de GLRaV-2 en este hospedador experimental reflejan fielmente sus papeles en una infección de vid, se agroinfiltraron cuatro variantes de minirreplicón en hojas de *V. vinifera* (Garnacha) (Tabla 1). A los 8 días después de inoculación con la variante de mLR-GFP/GUS parental, se observaron ~300 focos de infección fluorescentes para GFP, unicelulares, por hoja. Sorprendentemente, la infiltración usando variantes de DL1 y DL2 dio como resultado una reducción de ~100 veces y ~7 veces en los números de focos, respectivamente, lo que indica que cada una de las proteasas líder se requiere para la capacidad del minirreplicón para establecer infección en células de vid (Tabla 1). Sin embargo, de forma similar a lo observado en *N. benthamiana*, la infecciosidad de la variante M1 no fue significativamente diferente de la de la variante parental.

Notablemente, las mediciones de la actividad GUS en las hojas infiltradas se correlacionó bien con los datos sobre los números de las células infectadas (Tabla 1) lo que sugiere que la función principal de las proteasas líder es ayudar al establecimiento de infección viral en lugar de aumentar la acumulación de ARN viral en las células infectadas. Debido a que los efectos de la deleción de L1 y L2 en *V. vinifera* fueron muchos más drásticos en comparación con los de *N. benthamiana*, se concluyó que cada proteasa proporciona una contribución significativa y específica en infección de GLRaV-2 en su planta hospedadora natural.

60

Tabla 1. Infecciosidad y expresión de GUS por variantes de minirreplicón mLR-GFP/GUS en V. vinifera

Experimento	Variante	Número medio de los focos de infección (% de los de la variante parental)	Actividad GUS media (% del nivel en la variante parental)
1	mLR-GFP/GUS	100,00	100,00

1	ΔL1	1,03	4,16
1	ΔL2	14,96	10,03
1	M1	104,44	103,11
1	mLR-GFP/GUS	100,00	100,00
2	ΔL1	1,58	2,93
2	ΔL2	10,44	10,87
2	M1	133,43	118,08

#### Análisis

5

20

25

30

45

50

55

Sin quedar ligado a ninguna teoría particular, se proporciona el siguiente análisis. La presente divulgación permitió la delimitación de tres funciones principales de L1 y L2 en el ciclo de infección de GLRaV-2: i) procesamiento de poliproteínas; ii) acumulación de virus en las células infectadas inicialmente; y iii) transporte sistémico de la infección.

En particular, se descubrió que tanto L1 como L2 son proteasas activas con las cisteínas catalíticas conservadas (Figs. 10B y 11). La escisión cadena arriba del dominio metiltransferasa de la poliproteína de ARN replicasa viral es esencial para la viabilidad de GLRaV-2 (Fig. 10B). Sorprendentemente, aunque L1 sí escinde en su propio extremo C terminal tanto *in vitro* (Fig. 11) como *in vivo* (Fig. 13), ni esta escisión ni el dominio proteasa de L1 en sí mismo son esenciales para la infección sistémica en *N. benthamiana* como resulta evidente a partir de los fenotipos de las variantes M1 y DPro1 (Fig. 10B y 12). Sin embargo, la acumulación de virus más lento en las hojas no inoculadas en estos mutantes (Fig. 12A y 12B) sugiere que se requiere la escisión mediada por L1 para el desarrollo óptimo de infección sistémica.

El análisis de deleción indicó que L1 y L2 desempeñan papeles parcialmente solapantes en la acumulación de ARN viral en las células inoculadas inicialmente. Cuando se introdujo minirreplicón viral por agroinfiltración, la deleción completa de L1 dio como resultado una reducción de ~5 veces de la acumulación y expresión de ARN. Se observó un efecto similar tras la deleción del dominio N terminal no proteolítico de L1 lo que indica su papel principal en la función de L1 (Fig. 10B). Aunque la deleción de L2 no afectó a la acumulación de ARN, la deleción combinada de L1 y L2 dio como resultado un minirreplicón prácticamente no viable lo que indica que L2 proporcionó una contribución significativa a la infecciosidad viral en ausencia de L1.

Resulta interesante que, cuando se usaron viriones aislados que contenían genoma de longitud completa para inoculación vegetal, la infecciosidad y el movimiento de célula a célula de la variante DL2 eran indistinguibles de los de la variante parental, mientras que los viriones de la variante DL1 han perdido su infecciosidad. La deleción de L1 pero no la región codificante de L2 podría afectar a la estructura, estabilidad e infecciosidad del virión. Por lo tanto, es posible que además de la función de L1 en la acumulación de ARN revelada por la agroinoculación con minirreplicón, la región codificante correspondiente también actúe al nivel de ARN para facilitar la formación de los viriones con cola con capacidad de transporte local y sistémico.

De acuerdo con esta última suposición, los mutantes DL1 y DNTD1 fueron incapaces de establecer una infección sistémica tras la agroinfiltración usando replicones de longitud completa (Fig. 12C). Por el contrario, la deleción del dominio proteasa en la variante DPro1 no afectó a la infecciosidad sistémica lo que indica que la formación de la cola del virión probablemente no se vio afectada. La deleción de L2 dio como resultado una variante DL2 sistémicamente infecciosa que, sin embargo, mostró una acumulación mucho más lenta en las hojas superiores (Fig. 11A y 11B). Este resultado indicó que se requiere L2 para la proliferación sistémica eficaz de GLRaV-2 en *N. benthamiana*.

Quizás los resultados más significativos de este estudio se obtuvieron cuando las variantes de minirreplicón se agroinocularon en las hojas del hospedador natural de GLRaV-2, la vid. En claro contraste con un hospedador experimental permisivo *N. benthamiana* en el que L2 era superfluo para la infecciosidad por minirreplicón, la variante DL2 mostró una reducción de ~10 veces en la acumulación de ARN tras agroinfiltración en hojas de *V. vinifera* (Tabla 1). La infecciosidad específica de la variante DL2 medida como un número medio de las células infectadas con fluorescencia de GFP por hoja también se redujo ~10 veces. Esta correlación en la acumulación del ARN del minirreplicón y los números de las células infectadas claramente apunta al papel crítico de L2 en la invasividad del virus, es decir, la capacidad para establecer infección en las células inoculadas. Un papel en la invasividad de GLRaV-2 en la vid es aún más drástico en el caso de L1. De hecho, la deleción de L1 dio como resultado una reducción de ~100 veces en la acumulación de ARN e infecciosidad específica de la variante DL1 (Tabla 1). Se concluyó que tanto L1 como L2 son esenciales para la infección por GLRaV-2 de la vid.

¿Cuál es una significación funcional específica de la duplicación y diversificación de las proteasas líder en GLRaV-2? Parece que la respuesta, al menos en parte, yace en los efectos específicos de hospedador de L1 y L2 cuya cooperación funcional se requiere para la infección de la vid pero no de *N. benthamiana*. En otras palabras, podría haber evolucionado un tándem de proteasas virales para reforzar la función de una única proteasa para trastornar a un hospedador leñoso perenne potencialmente resistente a infección por virus. Esta hipótesis es compatible con el hecho de que además de GLRaV-2, se encuentra duplicación de proteasa en CTV (Karasev *et al.*, Virology 208, 511-520, 1995), virus del moteado de la frambuesa (Tzanetakis *et al.*, Virus Res. 127, 26-33, 2007), y virus de manchas cloróticas de la fresa (Tzanetakis & Martin, Virus Res. 124, 88-94, 2007), cada uno de los cuales infecta hospedadores leñosos y/o perennes, pero no en BYV, virus de la menta 1 (Tzanetakis *et al.*, Virus Res. 127, 26-33, 2007), o virus de las manchas amarillas del clavel que infectan hospedadores anuales herbáceos.

¿Cuál es el posible mecanismo por el que L1 y L2 facilitan la infección por GLRaV-2? El hecho de que cada una de estas proteasas líderes actúe de una manera específica de hospedador para reforzar la infecciosidad viral sugiere que L1 y L2 podrían estar implicados en la supresión de la respuesta de defensa antiviral. Una posibilidad es que L1 y L2 estén implicados en la supresión de la interferencia de ARN (ARNi) bien de forma independiente de o en comparación con el supresor de ARNi p24 (Fig. 1A) Chiba et al., Virology 346: 7-14, 2006). Sin embargo, los intentos de identificar efectos de GLRaV-2 L1 y L2 o BYV L-Pro en la respuesta de ARNi en varios sistemas modelo invariablemente han fracasado. Además, se descubrió que la coexpresión ectópica de L-Pro con el indicador reducía la acumulación de este último, lo que sugiere la posible implicación de las proteasas líder en la regulación génica al nivel de ARN o proteico.

Por analogía con las proteasas de tipo papaína de coronavirus (Lindner, Virology 362, 245-256, 2007), se puede plantear la hipótesis de que las proteasas closterovirales actúan como enzimas de desubiquitinación (DUB) por lo que afectan a la regulación de la defensa de la planta. El único hecho que está en desacuerdo con la hipótesis de DUB es que la inactivación de la actividad proteolítica de L1 en la variante M1 tiene poco efecto en la infección viral. Esta aparente discrepancia puede explicarse si la unión mediada por L1 en lugar de la escisión de las proteínas relacionadas con la defensa del hospedador es suficiente para ejercer la función de L1.

La generación del tamaño completo y minirreplicones de GLRaV-2 marcados mediante inserción de los genes indicadores o epítopos destaca un potencial de este virus como un vector de expresión génica para la vid. En general, los vectores derivados de closterovirus proporcionan fuertes ventajas de capacidad y estabilidad genética relativamente grandes (Dolja et al., Virus Res. 117: 38-51, 2006; Folimonov et al., Virology 368(1): 205-216, 2007). La utilidad de los vectores closterovirales se potencia además por un aumento drástico de la infecciosidad del vector por coexpresión de los supresores de ARNi homólogos de los que p24 de GLRaV-2 parece ser el más fuerte (Chiba et al., Virology 346: 7-14, 2006). La realización completa del potencial del vector GLRaV-2 requiere el desarrollo de la técnica de inoculación eficaz para la vid.

Materiales y métodos

5

10

15

20

35

40

45

50

55

Generación del clon de ADNc de longitud completa, marcado con GFP, de GLRaV-2

El aislado de GLRaV-2 obtenido de un viñedo de Oregón local se propagó en plantas de *N. benthamiana* como se ha descrito anteriormente (Goszczynski *et al.*, Vitis 35, 133-133, 1996). Se aislaron viriones (Napuli *et al.*, Virology 274(1), 232-239, 2000) y el ARN viral se obtuvo usando reactivo de TRIzol (Invitrogen) de acuerdo con el protocolo del fabricante. Una estrategia para secuenciación de nucleótidos del genoma viral y la generación del intermedio y clones de ADNc viral de longitud completa fue como se ha descrito para BYV (Peremyslov y Dolja, Curr. Protocols Microbiol. (Sup. 7), 16F.1.1-16F.1.26, 2007). La secuencia resultante de ARN de GLRaV-2 se depositó en GenBank (N° de Referencia FJ436234). Las secuencias de los numerosos cebadores usados en procedimientos de clonación están disponibles bajo demanda.

Brevemente, se ensambló un clon de ADNc de longitud completa de GLRaV-2 usando el mini-vector binario pCB301 (Xiang et al., Plant Mol. Biol. 40: 711-717. 1999), mientras que la clonación de ADNc se realizó usando transcripción inversa y síntesis convencional de un ADNc bicatenario (bc) o amplificación por PCR. Se añadió terminador de NOS al pCB301 usando sitios únicos Sac I y Kpn I y se insertó un polienlazador que contenía los sitios de restricción Sac I, Bam HI, Aatl I, Bbvc I, Rsr II, Bst EII y Smal entre el sitio Sacl y el terminador NOS para producir pCB301-NOS-PL. Para añadir un promotor de ARN polimerasa de 35S de CaMV fusionado con el fragmento 5' del ADNc viral (nt 1-2.034), se usó una técnica de corte y empalme de ADN mediada por PCR. Se realizaron PCR separadas para amplificar el promotor de 35S y el extremo 5' de ADNc de GLRaV2 y para generar productos con extremos solapantes. Estos productos se combinaron y se usaron como moldes para otro ciclo de PCR usando los cebadores complementarios de los extremos 5' y 3' del producto de longitud completa. Este último producto se clonó en pCB301-NOS-PL usando Sac I (añadido al extremo 5' del promotor 35S) y BnmH I (nt 2034) para producir un p35S5'LR.

Para añadir una ribozima en el extremo 3' del ADNc viral, se usó con megacebador con una parte específica de virus complementaria del extremo 3' del ADNc viral seguido de una secuencia de ribozima diseñada como se ha descrito (Prokhnevsky et al., J. Virol. 76, 11003-11011, 2002) y un sitio *Sma* I en combinación con un cebador regular para amplificar la región 3' terminal del ADNc de GLRaV-2 (nt 14.842-16.486). Se clonó el producto de PCR resultante en p35S5'LR usando los sitios de restricción *BstE* II (nt 14.842) y *Sma* I (añadido al extremo 3' del megacebador) para producir un p35S5'3'LR-Rib.

Para clonar la región interna de ADNc viral (nt 2.029-10.827), se obtuvieron tres fragmentos parcialmente solapantes de ADNc bc usando clonación de ADNc convencional y el protocolo de Gibco-BRL para transcriptasa inversa SuperScript II. Estos fragmentos se insertaron en p35S5'3'LR-Rib usando los sitios de restricción *Bam* HI (nt 2.029), *Aat* II (nt 3.394), *Bbv* CI (nt 6.281) y *Rsr* II (nt 10.821) para generar p35S-5'BR3'LR-Rib. La parte restante del ADNc viral (nt 10.821-14.848) se amplificó por PCR y se clonó en un vector intermedio pGEM-3Zf(+) (Promega). Se insertó una secuencia de nucleótidos codificante de una GFP dirigida a retículo endoplásmico (Haseloff *et al.*, Proc Natl Acad Sci U S A 94(6), 2122-2127, 1997) seguido de un promotor de BYV CP cadena arriba del extremo 5' de ORF de GLRaV-2 CP. El fragmento de ADNc resultante se clonó en p35S5'-BR-3'LR-Rib usando sitios Rsr II (nt 10.821) y *Bst* EII (nt 14.842) para generar el clon de ADNc de GLRaV-2 de longitud completa p35S-LR-GFP o LR-GFP para mayor brevedad.

Generación de las variantes de GLRaV-2 modificadas y mutantes

10

25

45

60

65

Se obtuvo por ingeniería genética la variante de minirreplicón mLR-GFP/GUS modificando el ADNc LR-GFP mediante deleción de los fragmentos de ADNc del codón de inicio de la ORF p6 (Fig. 1A) al nt 14.185 y del sitio *Fse* I en el extremo 3' de la ORF de GFP al nt 15.285 (los números de nt corresponden al ADNc de GLRaV-2 original). Como resultado, se suprimieron las ORF de GLRaV-2 que codificaban p6, Hsp70h, p63, CPm, CP y p19 (Fig. 1A). La ORF de GFP se reemplazó después con una ORF híbrida de GFP/GUS descrita anteriormente (Peng *et al.*, Virology 294, 75-84, 2002) usando *Pac* I en el extremo 5' de la ORF de GFP y *Fse* I en el extremo 3' de la ORF de GUS.

Se generaron dos plásmidos, pGEM-35SLR-Pro y pGEM-SP6LR-Pro, que contenían la región codificante de L1 y L2 completa y un fragmento de la región codificante de metiltransferasa (nt 1-3.071) clonando los fragmentos amplificados por PCR correspondientes (Fig. 1B) en pGEM-3Zf(+). Tanto pGEM-35SLR-Pro como pGEM-SP6LR-Pro se usaron para generar pGEM-35SLR-L2<sub>HA</sub> y pGEM-SP635SLR-L2<sub>HA</sub> insertando tres copias de la secuencia codificante de marcador de epítopo de hemaglutinina (HA) (YPY-DVPDYA; SEC ID Nº: 11) cadena abajo del codón 663 dentro de la región codificante de L2. Cada uno de estos plásmidos se usó para introducir las siguientes mutaciones en el L1 o L2.

La mutación 1 (M1) se generó reemplazando el resto de Cys<sub>493</sub> catalítico de L1 con Ala usando mutagénesis dirigida. De forma análoga, la mutación 2 (M2) se obtuvo mediante sustitución con Ala de Cys<sub>767</sub> de L2. En la mutación de DL2, la reacción codificante de L2 completa se suprimió y se reemplazó el resto Lys<sub>848</sub> cadena debajo del enlace escindible de L2 con Gly para regenerar un auténtico sitio de escisión de L1. Se realizó una mutación de DL1 suprimiendo la región codificante de L1 completa excepto por el codón de inicio 5' terminal. En la mutación DNTD1, se suprimió la región no proteolítica, N terminal completa de L1, de nuevo excepto por el codón de inicio. En la mutación DPro1, se suprimió el dominio proteinasa C terminal de L1 mientras que la región N terminal de L1 se fusionó con la región N terminal de L2. En la última mutación DL1/2, tanto L1 como L2 se suprimieron excepto por el codón de inicio que se fusionó con el primer codón de Lys de la replicasa de GLRaV-2, dando como resultado la formación de una replicasa que difería de la replicasa de tipo silvestre, procesada proteolíticamente solamente por la presencia de la Met N terminal. Los diagramas de todas las mutaciones se muestran en la Fig. 1B.

Las variantes de pGEM-SP6LR-L2<sub>HA</sub> se usaron para analizar la actividad proteolítica de las proteasas mutadas *in vitro*. Los fragmentos de ADN de los derivados mutantes de pGEM-35SLR-L3<sub>HA</sub> se clonaron en mLR-GFP/GUS usando sitios *Sbf* I (localizado en la parte de vector del plásmido) y *Stu I* (nt 3.063). Los fragmentos de ADN de derivados mutantes de p35S-miniV94-GFPGUS también se clonaron en el clon de ADNc de longitud completa LR-GFP usando Sfi I (localizado en la parte de vector del plásmido) y *Bbv* CI (nt 6.282).

Análisis de mutación de la actividad proteolítica de L1 y L2

Las variantes de pGEM-SP6LR-L2<sub>HA</sub> se linealizaron usando *Sma* I y los transcritos de ARN *in vitro* correspondientes se generaron usando el kit mMessage Machine (Ambion). Para ensayar la actividad proteolítica de las proteasas líder, los transcritos de ARN con extremo recubierto resultantes se tradujeron usando los extractos de germen de trigo (Promega) y [<sup>35</sup>S]-Met (Amersham/Pharmacia Biotech) o una mezcla de aminoácidos no marcados. Después de 1 h de incubación a 25 °C, los productos se separaron por PAGE, se electrotransfirieron a una membrana de nitrocelulosa PROTRAN y se usaron para autorradiografía o para inmunotransferencia usando anticuerpo monoclonal de rata anti-HA (Roche) como primer anticuerpo y anti-peroxidasa de rata de cabra como anticuerpo secundario.

Análisis de mutación de los papeles de L1 y L2 en la acumulación de ARN

Se transformó la cepa de *Agrobacterium tumefaciens* C58 GV2260 por cada una de las variantes de mLR-GFP/GUS por electroporación. Los cultivos correspondientes se dejaron crecer durante una noche a 28 °C con agitación, se centrifugaron y se resuspendieron en un tampón que contenía MES-KOH 10 mM (pH 5,85), MgCl<sub>2</sub> 10 mM y acetosiringona 150 mM. Se mezclaron suspensiones bacterianas de cada variante con cultivos correspondientes transformados para expresar un supresor de ARNi P1/HC-Pro de virus del mosaico del nabo para potenciar la infecciosidad del minirreplicón (Chiba *et al.*, Virology 346: 7-14, 2006). Las concentraciones bacterianas finales

fueron DO $_{600}$  1,0 para variantes que expresan minirreplicón y DO $_{600}$  0,1 para la variante que expresa P1/HC-Pro. Los cultivos bacterianos inducidos se infiltraron en la superficie inferior de las hojas de *N. benthamiana* usando una jeringa sin una aguja o se infiltraron por vacío en las hojas de la vid. Las células de hojas fluorescentes por GFP se visualizaron usando el estereomicroscopio epifluorescente Leica MZ 16F (Deerfield, IL) a los 8 días después de la infiltración. Se prepararon muestras para ensayos de GUS y se midió la actividad de GUS usando un fluorímetro de ADN Hoefer TKO100 (Hoefer Scientific Instruments) como se ha descrito previamente (Dolja *et al.*, Proc. Natl. Acad. Sci. USA 89: 10208-10212, 1992).

Análisis de transporte de virus local y sistémico

10

15

20

5

Para ensayar el movimiento de célula a célula de las variantes de virus marcadas con GFP, se aislaron viriones de las hojas agroinfiltradas de *N. benthamiana* a las 2 semanas después de la inoculación (Napuli *et al.*, Virology 274(1), 232-239, 2000), se resuspendieron en un tampón que contenía fosfato sódico 20 mM (pH 7,4) y Na<sub>2</sub>-EDTA 1 mM y se inocularon manualmente a hojas de *N. benthamiana*. Los focos de infección fluorescentes se analizaron usando el estereomicroscopio epifluorescente a los 8 días después de la inoculación.

Para investigar la proliferación sistémica en *N. benthamiana*, se movilizaron plásmidos que portaban las variantes correspondientes en un contexto de LR-GFP en *A. tumefaciens*, se mezclaron las suspensiones bacterianas resultantes con las modificadas por ingeniería genética para expresar P1/HC-Pro como se ha descrito anteriormente, y se infiltraron en hojas de plantas *N. benthamiana* jóvenes (estadio de 6-8 hojas). Después de 3, 4 o 5 semanas, las hojas superiores de estas plantas se exploraron con respecto al desarrollo de síntomas, mientras que se usó microscopía de epifluorescencia y una cámara de puntos MicroPublisher3.3 RTV (QImaging) para documentar la acumulación de la GFP expresada por virus. Se usaron inmunotransferencia y antisuero específico de GLRaV-2 realizado a medida en una dilución 1:5.000 para documentar la acumulación de CP.

25

30

35

#### Análisis de viriones

Para determinar si L2 marcado con HA estaba asociado con los viriones, se usó el fraccionamiento de gradiente de sacarosa seguido de inmunotransferencia. Se resuspendieron viriones aislados como se ha descrito anteriormente en un tampón que contenía Na-fosfato 20 mM (pH 7,4) y Na<sub>2</sub>-EDTA 1 mM, cargado hasta la parte superior de los gradientes de sacarosa 10-40 % preparados en el mismo tampón, y se centrifugó a 25.000 RPM durante 4 horas en un rotor Beckman SW40 a 4 °C. Los gradientes se separaron en 25 fracciones y el análisis de inmunotransferencia se realizó usando anticuerpo monoclonal de rata anti-HA (Roche) y anticuerpo específico de GLRaV-2 para detectar L2<sub>HA</sub> y CP, respectivamente. Se realizó la microscopía electrónica específica de inmuno-oro para detectar L2<sub>HA</sub> esencialmente como se ha descrito (Medina *et al.* Virology 260(1), 173-181, 1999).

#### LISTA DE SECUENCIAS

<110> > El Estado de Oregón actuando por y a través del Comité Estatal de Educación Superior en representación de la Universidad del Estado de Oregón Dolja, Valerian M Peremyslov, Valera V

<120> VECTORES Y MÉTODOS DE CLOSTEROVIRUS

```
<130> 245-79793-03
```

45

<150> US 61/063.305 <151> 31-01-2008

<150> US 61/083.504

50 <151> 24-07-2008

<160> 11

<170> PatentIn versión 3.5

55 <210> 1

<211> 22166 <212> ADN

<213> Secuencia artificial

60

<220> <223> Vector viral obtenido por ingeniería genética

<220>

65 <221 > misc\_feature <222> (1)..(3305)

```
<223> Secuencia de vector binario pCB301
          <220>
          <221> misc_feature
 5
          <222> (3306)..(21957)
          <223> Casete de expresión viral
          <220>
          <221 > promotor
          <222> (3306)..(4063)
<223> Promotor 35S
10
          <220>
          <221> misc feature
          <222> (4064)..(21643)
15
          <223> Secuéncia viral
          <220>
          <221> misc_feature
20
          <222> (18648)..(19439)
          <223> Casete de expresión indicador de GFP
          <220>
          <221 > promotor
<222> (19440)..(19723)
25
          <223> promotor BYV CP heterólogo
          <220>
          <221> misc_feature
30
          <222> (21644)..(21698)
          <223> ribozima
          <220>
          <221 > terminador
35
          <222> (21705)..(21957)
          <223> terminador NOS
          <400> 1
```

60	cctgcaaacg	cgtctatggc	ggctggcggc	ctcgccgctg	gctggttgcc	cgctcaccgg
120	tgtggatacc	ccgccggcgt	gacaccgcgg	ccgtgtgcga	gccgtcgaag	cgccagaaac
180	tgaggggccg	cgttgacact	gaggggcgga	actgacagat	cttggccctc	tcgcggaaaa
240	gcgacgtgga	atttcggccg	ggcaggctcg	acagatgagg	cgcggcgttg	actcacccgg
300	ccacagatga	cgcgagtttc	cctgatttta	ggcgaaaacg	ctcgcaaatc	gctggccagc
360	gcgactactg	cttgaggggc	ggtattgaca	agtgccctgc	cctggggata	tgtggacaag
420	tgaggggcgc	tgctgacaga	aggggcagag	ttgacacttg	ggcgcgatcc	acagatgagg
480	aagggtttcc	cagcatttgc	gcagaaaatc	ctgtccacag	atttgagggg	acctattgac
540	atatttataa	ttttaaacca	tttaacctgc	taacctgtct	cggccaccgc	gcccgttttt
. 600	aaggggggtg	gcgcacgccg	gcgcgtgacc	tgcgccctgt	taaccagggc	accttgtttt
660	cataattgtg	cagcatcacc	ctcgagttgg	ccggcccgct	tcgaaccctc	ccccccttc
720	aactttgaaa	ctttgaaaac	tatacgccaa	gatactatgt	cggctccgtc	gtttcaaaat
780	gagttcgtct	cagtgaattg	atgcaaggaa	aggttttaga	ctggtattta	aagctgtttt
840	ggaaataata	aaaagaggaa	aatactgtag	ggtatcttta	agcttcttgg	tgttataatt
900	accgctgcgt	atcgaaaaat	gaaaaaactg	caccggaatt	atgagaatat	aatggctaaa
960	aaaatgaaaa	ctggtgggag	ggtatataag	ctcctgctaa	gaaggaatgt	aaaagatacg
1020	tggaacggga	acctatgatg	taaagggacc	acagccggta	aaaatgacgg	cctatattta
1080	tgcactttga	ccaaaggtcc	gctgcctgtt	tggaaggaaa	atgctatggc	aaaggacatg
1140	tttgctcgga	gatggcgtcc	gagtgaggcc	atctgctcat	ggctggagca	acggcatgat
1200	agtgcatcag	ctgtatgcgg	gattatcgag	gccctgaaaa	gatgaacaaa	agagtatgaa
1260	acagccgctt	aatagcttag	tccctatacg	tatcggattg	tccatcgaca	gctctttcac
1320	aaaactggga	gtggattgcg	tctggccgat	tgaataacga	gattacttac	agccgaattg
1380	cggaaaagcc	tttttaaaga	gctgtatgat	atccgcgcga	ccatttaaag	agaagacact
1440	ttgtgaaaga	agcaacatct	cctgggagac	cccacggcga	cttgtctttt	cgaagaggaa
1500	agtggtatga	agggcggaca	gagaagcggc	ttgatcttgg	agtggcttta	tggcaaagta
1560	atgtcgaget	gaagaacagt	ggatat.cggg	cgatcaggga	tacatacaat	cattoccttc

attttttgac	ttactgggga	tcaagcctga	ttgggagaaa	ataaaatatt	atattttact	1620
ggatgaattg	ttttagtacc	tagatgtggc	gcaacgatgc	cggcgacaag	caggagcgca	1680
ccgacttctt	ccgcatcaag	tgttttggct	ctcaggccga	ggcccacggc	aagtatttgg	1740
gcaaggggtc	gctggtattc	gtgcagggca	agattcggaa	taccaagtac	gagaaggacg	1800
gccagacggt	ctacgggacc	gacttcattg	ccgataaggt	ggattatctg	gacaccaagg	1860
caccaggcgg	gtcaaatcag	gaataagggc	acattgcccc	ggcgtgagtc	ggggcaatcc	1920
cgcaaggagg	gtgaatgaat	cggacgtttg	accggaaggc	atacaggcaa	gaactgatcg	1980
acgcggggtt	ttccgccgag	gatgccgaaa	ccatcgcaag	ccgcaccgtc	atgcgtgcgc	2040
cccgcgaaac	cttccagtcc	gtcggctcga	tggtccagca	agctacggcc	aagatcgagc	2100
gcgacagcgt	gcaactggct	cccctgccc	tgcccgcgcc	atcggccgcc	gtggagcgtt	2160
cgcgtcgtct	cgaacaggag	gcggcaggtt	tggcgaagtc	gatgaccatc	gacacgcgag	2220
gaactatgac	gaccaagaag	cgaaaaaccg	ccggcgagga	cctggcaaaa	caggtcagcg	2280
aggccaagca	ggccgcgttg	ctgaaacaca	cgaagcagca	gatcaaggaa	atgcagcttt	2340
ccttgttcga	tattgcgccg	tggccggaca	cgatgcgagc	gatgccaaac	gacacggccc	2400
gctctgccct	gttcaccacg	cgcaacaaga	aaatcccgcg	cgaggcgctg	caaaacaagg	2460
tcattttcca	cgtcaacaag	gacgtgaaga	tcacctacac	cggcgtcgag	ctgcgggccg	2520
acgatgacga	actggtgtgg	cagcaggtgt	tggagtacgc	gaagcgcacc	cctatcggcg	2580
agccgatcac	cttcacgttc	tacgagcttt	gccaggacct	gggctggtcg	atcaatggcc	2640
ggtattacac	gaaggccgag	gaatgcctgt	cgcgcctaca	ggcgacggcg	atgggcttca	2700
cgtccgaccg	cgttgggcac	ctggaatcgg	tgtcgctgct	gcaccgcttc	cgcgtcctgg	2760
accgtggcaa	gaaaacgtcc	cgttgccagg	tcctgatcga	cgaggaaatc	gtcgtgctgt	2820
ttgctggcga	ccactacacg	aaattcatat	gggagaagta	ccgcaagctg	tegeegaegg	2880
cccgacggat	gttcgactat	ttcagctcgc	accgggagcc	gtacccgctc	aagctggaaa	2940
ccttccgcct	catgtgcgga	tcggattcca	cccgcgtgaa	gaagtggcgc	gagcaggtcg	3000
gcgaagcctg	cgaagagttg	cgaggcagcg	gcctggtgga	acacgcctgg	gtcaatgatg	3060
acctggtgca	ttgcaaacgc	tagggccttg	tggggtcagt	tccggctggg	ggttcagcca	3120
gcgctttact	gagatctcct	gtggttggca	tgcacataca	aatggacgaa	cggataaacc	3180
ttttcacgcc	cttttaaata	tccgattatt	ctaataaacg	ctcttttctc	ttaggtttac	3240
ccgccaatat	atcctgtcaa	acactgatag	tttaaactga	aggcgggaaa	cgacaatctg	3300
agctcgcatg	cctgcaggtc	aacatggtgg	agcacgacac	gcttgtctac	tccaaaaata	3360

tcaaagatac	: agtctcagaa	gaccaaaggg	caattgagac	ttttcaacaa	agggtaatat	3420
ccggaaacct	cctcggattc	cattgcccag	ctatctgtca	ctttattgtg	aagatagtgg	3480
aaaaggaagg	tggctcctac	aaatgccatc	attgcgataa	aggaaaggcc	atcgttgaag	3540
atgcctctgc	cgacagtggt	cccaaagatg	gacccccacc	cacgaggagc	atcgtggaaa	3600
aagaagacgt	tccaaccacg	tcttcaaagc	aagtggattg	atgtgataaa	tggtggagca	3660
cgacacgctt	gtctactcca	aaaatatcaa	agatacagtc	tcagaagacc	aaagggcaat	3720
tgagactttt	caacaaaggg	taatatccgg	aaacctcctc	ggattccatt	gcccagctat	3780
ctgtcacttt	attgtgaaga	tagtggaaaa	ggaaggtggc	tcctacaaat	gccatcattg	3840
cgataaagga	aaggccatcg	ttgaagatgc	ctctgccgac	agtggtccca	aagatggacc	3900
cccacccacg	aggagcatcg	tggaaaaaga	agacgttcca	accacgtctt	caaagcaagt	3960
ggattgatgt	gatatotoca	ctgacgtaag	ggatgacgca	caatcccact	atccttcgca	4020
agacccttcc	tctatataag	gaagttcatt	tcatttggag	agcatattct	gttggctttc	4080
atctgtgctt	gtgcttcggt	tcaatcacac	tctgaaagtt	tcagttcccc	ggaatttcgg	4140
ttttcttcat	aagccttatt	cctacaggat	gtctagcctt	gctatctctg	cccttccctg	4200
ttcagtcgct	caactgagcg	ttggtcagcc	tgttgccacg	gttgccaggt	catttttgat	4260
gacttccctt	ccgtcccttc	agacttaccc	atcttcgtct	gagttgactt	cctttttatt	4320
ttgttttggt	gctttccaaa	aaataaaaat	gtttttatct	ttcctacgtt	cggtgcacgt	4380
ctttgcgcct	ttttctgaaa	tttccacgat	tggttcatgc	tatgaattca	ttcggttggg	4440
aggtggtgct	taccctctct	ttttctgttc	cttccaatgc	ggacctttgt	ccgtttcttt	4500
gggttttgtt	aacggcgttt	ttgctgtttt	aaacatgtca	tttcctttct	taagcaacgc	4560
atctcttttg	acgggcgtcg	gaaaaaatgt	tgttcaagag	aaaataaaaa	tttccaaatt	4620
tgagaagaaa	cagaagaagc	gcgtttttc	gatagctcgc	gctaccgcgc	gtcatgtgcc	4680
ttcccgtcgc	aatcctaagg	agaagcgtgt	tgtccatgta	cagcatctcc	ctagtggttc	4740
tttacgcttt	tcccaaaaca	aaaacaaaac	agaactgctc	atcttaaaag	aggaagtcgg	4800
aattgtcgcg	cgcgttaagt	gttcggcaag	cgtcgtgcgc	cgtcgcgttt	gtggcggtgt	4860
ggttaagtgc	aaacccctaa	tagccgtttc	tccctctggc	gtgaaattcc	gttgtttcgc	4920
gccgtcttgc	agcacgtccg	cttgtttaaa	gctcaaaatc	atgcgccgtg	ttgccgtcgg	4980
tgactgccga	ggtgagaaga	taatcgcggc	acgacgtgcg	gcgctgcaga	agcaggcttt	5040
caacagccgc	acaccgaaga	aagtgcgaga	gaaccccatt	agcgtctccg	gggtgaactt	5100
gggaaggtct	gccgccgctc	aggttattta	tttcggcagt	ttcacgcagc	ccttcgcgtt	5160
gtatccgcgc	caagagagcg	cgatcgtaaa	aacgcaacct	ccaccggtca	gtgtagtgaa	5220

ggtggagtgc	gtagctgcgg	aggtagctcc	cgacaggggc	gtggtcgaca	agaaacctac	5280
gtctgttggc	gttcccccgc	agcgcggtgt	gctttcttt	ccgacggtgg	ttcggaaccg	5340
cggcgacgtg	ataatcacag	gggtggtgca	tgaagccctg	aagaaaatta	aagacgggct	5400
cttacgcttc	cgcgtaggcg	gtgacatgcg	tttttcgaga	tttttctcat	cgaactacgg	5460
ctgcagattc	gtcgcgagcg	tgcgtacgaa	cactacagtt	tggctaaatt	gcacgaaagc	5520
gagtggtgag	aaattctcac	tcgccgccgc	gtgcacggcg	gattacgtgg	cgatgctgcg	5580
ttatgtgtgt	ggcgggaaat	ttcctctcgt	cctcatgagt	agagttattt	acccggatgg	5640
gcgctgttac	ttggcccata	tgaggtattt	gtgcgccttt	tactgtcgcc	cgtttagaga	5700
gtcggattat	gccctcggaa	tgtggcctac	ggtggcgcgt	ctcagggcat	gcgttgagaa	5760
gaacttcggt	gtcgaagctt	gtggcatagc	tcttcgtggc	tattacacct	ctcgcaatgt	5820
ttatcactgt	gattatgact	ctgcttatgt	aaaatatttt	agaaaccttt	ccggccgcat	5880
tggcggtggt	tcgttcgatc	cgacatcttt	aacctccgta	ataacggtga	agattagcgg	5940
tcttccaggt	ggtcttccta	aaaatatagc	gtttggtgcc	ttcctgtgcg	atatacgtta	6000
cgtcgaaccg	gtagactcgg	gcggcattca	atcgagcgtt	aagacgaaac	gtgaagatgc	6060
gcaccgaacc	gtagaggaac	gggcggccgg	cggatccgtc	gagcaaccgc	gacaaaagag	6120
gatagatgag	aaaggttgcg	gcagagttcc	tagtggaggt	ttttcgcatc	tcctggtcgg	6180
cagccttaac	gaagttagga	ggaaggtagc	tgccggactt	ctacgctttc	gcgttggcgg	6240
tgatatggat	tttcatcgct	cgttctccac	ccaagcgggc	caccgcttgc	tggtgtggcg	6300
ccgctcgagc	cggagcgtgt	gccttgaact	ttactcacca	tctaaaaact	ttttgcgtta	6360
cgatgtcttg	ccttgttctg	gagactatgc	agcgatgttt	tctttcgcgg	cgggcggccg	6420
tttcccttta	gttttgatga	ctagaattag	atacccgaac	gggttttgtt	acttggctca	6480
ctgccggtac	gcgtgcgcgt	ttctcttaag	gggttttgat	ccgaagcgtt	tcgacatcgg	6540
tgctttcccc	accgcagcca	agctcagaaa	ccgtatggtt	tcggagcttg	gtgaaagaag	6600
tttaggt <b>tt</b> g	aacttgtacg	gcgcatatac	gtcacgcggc	gtctttcact	gcgattatga	6660
cgctaagttt	ataaaggatt	tgcgtcttat	gtcagcagtt	atagctggaa	aggacggagt	6720
ggaagaggtg	gtaccttctg	acataactcc	tgccatgaag	cagaaaacga	tcgaagccgt	6780
gtatgataga	ttatatggcg	gcactgactc	gttgctgaaa	ctgagcatcg	agaaagactt	6840
aatcgatttc	aaaaatgacg	tgcagagttt	gaagaaagat	cggccgattg	tcaaagtgcc	6900
cttttatatg	tcggaagcaa	cacagaattc	gctgacgcgt	ttctaccctc	agttcgaact	6960
taagttttcg	cactcctcgc	attcagatca	tcccgccgcc	gccgcttcta	gactgctgga	7020

aaatgaaacg	ttagtgcgct	tatgtggtaa	tagcgtttca	gatattggag	gttgtcctct	7080
tttccatttg	cattccaaga	cgcaaagacg	ggttcacgta	tgtaggcctg	tgttggatgg	7140
caaggatgcg	cagcgtcgcg	tggtgcgtga	tttgcagtat	tccaacgtgc	gttggggaga	7200
cgatgataaa	attttggaag	ggccacgcaa	tatcgacatt	tgccactatc	ctctgggcgc	7260
gtgtgaccac	gaaagtagtg	ctatgatgat	ggtgcaggtg	tatgacgcgt	ccctttatga	7320
gatatgtggc	gccatgatca	agaagaaaag	ccgcataacg	tacttaacca	tggtcacgcc	7380
cggcgagttt	cttgacggac	gcgaatgcgt	ctatatggag	tcgttagact	gtgagattga	7440
ggttgatgtg	cacgcggacg	tcgtaatgta	caaattcggt	agttcttgct	attcgcacaa	7500
gctttcaatc	atcaaggaca	tcatgaccac	tccgtacttg	acactaggtg	gttttctatt	7560
cagcgtggag	atgtatgagg	tgcgtatggg	cgtgaattac	ttcaagatta	cgaagtccga	7620
agtatcgcct	agcattagct	gcaccaagct	cctgagatac	cgaagagcta	atagtgacgt	7680
ggttaaagtt	aaacttccac	gtttcgataa	gaaacgtcgc	atgtgtctgc	ctgggtatga	7740
caccatatac	ctagattcga	agtttgtgag	tcgcgttttc	gattatgtcg	tgtgtaattg	7800
ctctgccgtg	aactcaaaaa	ctttcgagtg	ggtgtggagt	ttcattaagt	ctagtaagtc	7860
gagggtgatt	attagcggta	aaataattca	caaggatgtg	aatttggacc	ttaagtacgt	7920
cgagagtttc	gccgcggtta	tgttggcctc	tggcgtgcgc	agcagactag	cgtccgagta	7980
ccttgctaag	aaccttagtc	atttttcggg	agattgctcc	tttattgaag	ccacgtcttt	8040
cgtgttgcgt	gagaaaatca	gaaacatgac	tctgaatttt	aacgaaagac	ttttacagtt	8100
agtgaagcgc	gttgcctttg	cgaccttgga	cgtgagtttt	ctagatttag	attcaactct	8160
tgaatcaata	actgattttg	ccgagtgtaa	ggtagcgatt	gaactcgacg	agttgggttg	8220
cttgagagcg	gaggccgaga	atgaaaaaat	caggaatctg	gcgggagatt	cgattgcggc	8280
taaactcgcg	agcgagatag	tggtcgatat	tgactctaag	ccttcaccga	agcaggtg <b>gg</b>	8340
taattcgtca	tccgaaaacg	ccgataagcg	ggaagttcag	aggcccggtt	tgcgtggtgg	8400
ttctagaaac	ggggttgttg	gggagttcct	tcacttcgtc	gtggattctg	ccttgcgtct	8460
tttcaaatac	gcgacggatc	aacaacggat	caagtcttac	gtgcgtttct	tggactcggc	8520
ggtctcattc	ttggattaca	actacgataa	tctatcgttt	atactgcgag	tgctttcgga	8580
aggttattcg	tgtatgttcg	cgtttttggc	gaatcgcggc	gacttatcta	gtcgtgtccg	8640
tagcgcggtg	cgtgctgtga	aagaagttgc	tacctcatgc	gcgaacgcga	gcgtttctaa	8700
agccaaggtt	atgattacct	tcgcagcggc	cgtgtgtgct	atgatgttta	atagctgcgg	8760
tttttcaggc	gacggtcggg	agtataaatc	gtatatacat	cgttacacgc	aagtattgtt	8820
tgacactatc	ttttttgagg	acagcagtta	cctacccata	gaagttctga	gttcggcgat	8880

atgcggtgct	atcgtcacac	ttttctcctc	gggctcgtcc	ataagtttaa	acgccttctt	8940
acttcaaatt	accaaaggat	tctccctaga	ggttgtcgtc	cggaatgttg	tgcgagtcac	9000
gcatggtttg	agcaccacag	cgaccgacgg	cgtcatacgt	ggggttttct	cccaaattgt	9060
gtctcactta	cttgttggaa	ataccggtaa	tgtggcttac	cagtcagctt	tcattgccgg	9120
ggtggtgcct	cttttagtta	aaaagtgtgt	gagcttaatc	ttcatcttgc	gtgaagatac	9180
ttattccggt	tttattaagc	acggaatcag	tgaattctct	ttccttagta	gtattctgaa	9240
gttcttgaag	ggtaagcttg	tggacgagtt	gaaatcgatt	attcaagggg	tttttgattc	9300
caacaagcac	gtgtttaaag	aagctactca	ggaagcgatt	cgtacgacgg	tcatgcaagt	9360
gcctgtcgct	gtagtggatg	cccttaagag	cgccgcggga	aaaatttata	acaattttac	9420
tagtcgacgt	acctttggta	aggatgaagg	ctcctctagc	gacggcgcat	gtgaagagta	9480
tttctcatgc	gacgaaggtg	aaggtccggg	tctgaaaggg	ggttccagct	atggcttctc	9540
aattttagcg	ttcttttcac	gcattatgtg	gggagctcgt	cggcttattg	ttaaagtgaa	9600
gcatgagtgt	tttgggaaac	tttttgaatt	tctatcgctc	aagcttcacg	aattcaggac	9660
tcgcgttttt	gggatgaata	gaacggacgt	gggagtttac	gattttttgc	ccacggacat	9720
cgtggaaacg	ctctcatcga	tagaagagtg	cgaccaaatt	gaagaacttc	tcggcgacga	9780
cctgaaaggt	gacaaggatg	cttcgttgac	cgatatgaat	tactttgagt	tctcagaaga	9840
cttcttagcc	tctgtcgagg	agccgccttt	cgctggattg	cgaggaggta	gcaagaacgt	9900
cgcgattttg	gcgattttgg	aatacgcgca	taatttgttt	cgcattgtcg	caagcaagtg	9960
ttcgaaacga	cctttatttc	ttgctttcgc	cgaactctca	agcgccctta	tcgagaaatt	10020
taaggaggtt	ttccctcgta	agagccagct	cgtcgctatc	gtgcgcgagt	atactcagag	10080
attcctccga	agtcgcatgc	gtgcgttggg	tttgaataac	gagttcgtgg	taaaatcttt	10140
cgccgatttg	ctacccgcat	taatgaagcg	gaaggtttca	ggttcgttct	tagctagtgt	10200
ttatcgccca	cttagaggtt	tctcatatat	gtgtgtttca	gcggagcgac	gtgaaaagtt	10260
ttttgctctc	gtgtgtttaa	tcgggttaag	tctccctttc	ttcgtgcgca	tcgtaggagc	10320
gaaagcgtgc	gaagaactcg	tgtcctcagc	gcgtcgcttt	tatgagcgta	ttaaaatttt	10380
tctcaggcag	aagtatgtct	ctctttctaa	tttcttttgt	cacttgttta	gctctgacgt	10440
tgatgacagt	tccgcatcag	cagggttgaa	aggtggtgcg	tcgcgaatga	cgctcttcca	10500
ccttctggtt	cgccttgcta	gtgccctcct	atcgttaggg	tgggaagggt	taaagctact	10560
cttatcgcac	cacaacttgt	tatttttgtg	ttttgcattg	gttgacgatg	tgaacgtctt	10620
atcaaagttc	ttgggggtct	ttctttcttt	gtgcaaccag	tcttttcctt	gtttgcggcg	10680

atgcttttac	aaccggacag	gtttgtgggg	tattccgaga	aacttgttac	agcgtttgaa	10740
tttttcttaa	aatgttcgcc	tcgcgcgcct	gcactactca	aagggtttt	tgagtgcgtg	10800
gcgaacagca	ctgtgtcaaa	aaccgttcga	agacttcttc	gctatttcgt	gaggatgctc	10860
aaacttcgaa	aagggcgagg	gttgcgtgcg	gatggtaggg	gtctccatcg	gcagaaagcc	10920
gtacccgtca	taccttctaa	tcgggtcgtg	accgacgggg	ttgaaagact	ttcggtaaag	10980
atgcaaggag	ttgaagcgtt	gcgtaccgaa	ttgagaatct	tagaagattt	agattctgcc	11040
gtgatcgaaa	aactcaatag	acgcagaaat	cgtgacacta	atgacgacga	atttacgcgc	11100
cctgctcatg	agcagatgca	agaagtcacc	actttctgtt	cgaaagccaa	ctctgctggt	11160
ttggccctgg	aaagggcagt	gcttgtggaa	gacgctataa	agtcggagaa	actttctaag	11220
acggttaatg	agatggtgag	gaaagggagt	accaccagcg	aagaagtggc	cgtcgctttg	11280
tcggacgatg	aagccgtgga	agaaatctct	gttgctgacg	agcgagacga	ttcgcctaag	11340
acagtcagga	taagcgaata	cctaaatagg	ttaaactcaa	gcttcgaatt	cccgaagcct	11400
attgttgtgg	acgacaacaa	ggataccggg	ggtctaacga	acgccgtgag	ggagttttat	11460
tatatgcaag	aacttgctct	tttcgaaatc	cacagcaaac	tgtgcgccta	ctacgatcaa	11520
ctgcgcatag	tcaacttcga	tcgttccgta	gcaccatgca	gcgaagatgc	tcagctgtac	11580
gtacggaaga	gcggctcaac	gatagtgcag	ggtaaagagg	tacgtttgca	cattaaggat	11640
ttccacgatc	acgatttcct	gtttgacggg	aaaatttcta	ttaacaagcg	gcggcgaggc	11700
ggaaacgttt	tatatcacga	caacctcgcg	ttcttggcga	gtaatttgtt	cttagccggc	11760
tacccctttt	caaggagctt	cgtcttcacg	aattcgtcgg	tcgatattct	cctctacgaa	11820
gctccacccg	gaggtggtaa	gacgacgacg	ctgattgact	cgttcttgaa	ggtcttcaag	11880
aaaggtgagg	tttccaccat	gatcttaacc	gccaacaaaa	gttcgcaggt	tgagatccta	11940
aagaaagtgg	agaaggaagt	gtctaacatt	gaatgccaga	aacgtaaaga	caagagatct	12000
ccgaaaaaga	gcatttacac	catcgacgct	tatttaatgc	atcaccgtgg	ttgtgatgca	12060
gacgttcttt	tcatcgatga	gtgtttcatg	gttcatgcgg	gtagcgtact	agcttgcatt	12120
gagttcacga	ggtgtcataa	agtaatgatc	ttcggggata	gccggcagat	tcactacatt	12180
gaaaggaacg	aattggac <b>a</b> a	gtgtttgtat	ggggatctcg	ataggttcgt	ggacctgcag	12240
tgtcgggttt	atggtaatat	ttcgtaccgt	tgtccatggg	atgtgtgcgc	ttggttaagc	12300
acagtgtatg	gcaacctaat	cgccaccgtg	aagggtgaaa	gcgaaggtaa	gagcagcatg	12360
cgcattaacg	aaattaattc	agtcgacgat	ttagtccccg	acgtgggttc	cacgtttctg	12420
tgtatgcttc	agtcggagaa	gttggaaatc	agcaagcact	ttattcgcaa	gggtttgcct	12480
aaacttaacg	ttctaactgt	gcatgaggcg	caaggtgaga	cgtatgcgcg	tgtgaacctt	12540

gtgcgactta	agtttcagga	ggatgaaccc	tttaaatcta	tcaggcacat	aaccgtcgct	12600
ctttctcgtc	acaccgacag	cttaacttat	aacgtcttag	ctgctcgtcg	aggtgacgcc	12660
acttgcgatg	ccatccagaa	ggctgcggaa	ttggtgaaca	agtttcgcgt	ttttcctaca	12720
tcttttggtg	gtagtgttat	caatctcaac	gtgaaaaagg	acgtggaaga	taacagtagg	12780
tgcaaggctt	cgtcggcacc	attgagcgta	atcaacgact	ttttgaacga	agttaatccc	12840
ggtactgcgg	tgattgattt	tggtgatttg	tccgcggact	tcagtactgg	gccttttgag	12900
tgcggtgcca	gcggtattgt	ggtgcgggac	aacateteet	ccagcaacat	cactgatcac	12960
gataagcagc	gtgtttagcg	tagttcggtc	gcaggcgatt	ccgcgtagaa	aaccttctct	13020
acaagaaaat	ttgtattcgt	ttgaagcgcg	gaattataac	ttctcgactt	gcgaccgtta	13080
cacatctgct	tcaatgttcg	gagaggctat	ggcgatgaac	tgtcttcgtc	gttgcttcga	13140
cctagatgcc	ttttcgtccc	tgcgtaatga	tgtgattagt	atcacacgtt	caggcatcga	13200
acaatggctg	gagaaacgta	ctcctagtca	gattaaagca	ttaatgaagg	atgttgaatc	13260
gcctttggaa	attgacgatg	aaatttgtcg	ttttaagttg	atggtgaagc	gtgacgctaa	13320
ggtgaagtta	gactcttctt	gtttaactaa	acacagcgcc	gctcaaaata	tcatgtttca	13380
tcgcaagagc	attaatgcta	tettetetee	tatctttaac	gaggtgaaaa	accgaataat	13440
gtgctgtctt	aagcctaaca	taaagttttt	tacggagatg	actaacaggg	attttgcttc	13500
tgttgtcagc	aacatgcttg	gtgacgacga	tgtgtaccat	ataggtgaag	ttgatttctc	13560
aaagtacgac	aagtctcaag	atgctttcgt	gaaggctttt	gaagaagtga	tgtataagga	13620
actcggtgtt	gatgaagagt	tgctggctat	ctggatgtgc	ggcgagcggt	tatcgatagc	13680
taacactctc	gatggtcagt	tgtccttcac	gatcgagaat	caaaggaagt	cgggagcttc	13740
gaacacttgg	attggtaact	ctctcgtcac	tttgggtatt	ttaagtcttt	actacgacgt	13800
tagaaatttc	gaggcgttgt	acatctcggg	cgatgattct	ttaattttt	ctcgcagcga	13860
gatttcgaat	tatgccgacg	acatatgcac	tgacatgggt	tttgagacaa	aatttatgtc	13920
cccaagtgtc	ccgtactttt	gttctaaatt	tgttgttatg	tgtggtcata	agacgttttt	13980
tgttcccgac	ccgtacaagc	tttttgtcaa	gttgggagca	gtcaaagagg	atgtttcaat	14040
ggatttcctt	ttcgaaactt	ttacctcctt	taaagactta	acctccgatt	ttaacgacga	14100
gcgcttaatt	caaaagctcg	ctgaacttgt	ggctttaaaa	tatgaggttc	aaaccggcaa	14160
caccaccttg	gcgttaagtg	tgatacattg	tttgcgttcg	aatttcctct	cgtttagcaa	14220
gttgtatcct	cgcgtgaagg	gatggcaggt	tttttacacg	tcggttaaga	aagcgcttct	14280
caagagtggg	tgttctctct	tcgacagttt	catgacccct	tttggtcagg	ctgtcatggt	14340

ttgggatgat	gagtagcgct	aacttgtgcg	cagtttcttt	gttcgtgaca	tacaccttgt	14400
gtgtcaccgt	gcgtttataa	tgaatcaggt	tttgcagttt	gaatgtttat	ttctgctgaa	14460
tctcgcggtt	tttgctgtga	ctttcatttt	cattcttctg	gtcttccgcg	tgattaagtc	14520
ttttcgccag	aagggtcacg	aagcgcctgt	tcccgttgtt	cgtggcgggg	gtttttcaac	14580
cgtagtgtag	tcaaaagacg	cgcatatggt	agttttcggt	ttggactttg	gcaccacatt	14640
ctctacggtg	tgtgtgtaca	aggatggacg	agttttttca	ttcaagcaga	ataattcggc	14700
gtacatcccc	acttacctct	atctcttctc	cgattctaac	cacatgactt	ttggttacga	14760
ggccgaatca	ctgatgagta	atctgaaagt	taaaggttcg	ttttatagag	atttaaaacg	14820
ttgggtgggt	tgcgattcga	gtaacctcga	cgcgtacctt	gaccgtttaa	aacctcatta	14880
ctcggtccgc	ttggttaaga	tcggctctgg	cttgaacgaa	actgtttcaa	ttggaaactt	14940
tgggggcact	gttaagtctg	aggctcatct	gccagggttg	atagctctct	ttattaaggc	15000
tgtcattagt	tgcgcggagg	gcgcgtttgc	gtgcacttgc	accggggtta	tttgttcagt	15060
acctgccaat	tatgatagcg	ttcaaaggaa	tttcactgat	cagtgtgttt	cactcagcgg	15120
ttatcaatgc	gtatatatga	tcaatgaacc	ttcagcggct	gcgctatctg	cgtgtaattc	15180
ggttggaaag	aagtccgcaa	atttggctgt	ttacgatttc	ggtggtggga	ccttcgacgt	15240
gtctatcatt	tcataccgca	acaatacttt	tgttgtgcga	gcttctggag	gcgatctaaa	15300
tctcggtgga	agggatgttg	atcgtgcgtt	tctcacgcac	ctcttctctt	taacatcgct	15360
ggaacctgac	ctcactttgg	atatctcgaa	tctgaaagaa	tctttatcaa	aaacggacgc	15420
agagatagtt	tacactttga	gaggtgtcga	tggaagaaaa	gaagacgtta	gagtaaacaa	15480
aaacattctt	acgtcggtga	tgctccccta	cgtgaacaga	acgcttaaga	tattagagtc	15540
aaccttaaaa	acgtatgcta	agagtatgaa	tgagagtgcg	cgagttaagt	gcgatttagt	15600
gctgatagga	ggatcttcat	atcttcctgg	cctggcagac	gtactaacga	agcatcagag	15660
cgttgatcgt	atcttaagag	tttcggatcc	tcgggctgcc	gtggccgtcg	gttgcgcact	15720
atattcttca	tgcctctcag	gatctggggg	gttgctactg	atcgactgtg	cageteacae	15780
tgtcgctata	gcggacagaa	gttgtcagca	aatcatttgc	gctccagcgg	gggcaccgat	15840
ccccttttca	ggaagcatgc	ctttgtactt	agccagggtc	aacaagaact	cgcagcgtga	15900
aatcgccgtg	tttgaagggg	agtacgttaa	gtgccctaag	aacagaaaga	tctgtggagc	15960
aaatataaga	ttttttgata	taggagtgac	gggtgattcg	tacgcacccg	ttaccttcta	16020
tatggatttc	tccatttcaa	gcgtaggagc	cgtttcattc	gtggtgagag	gtcctgaggg	16080
taagcaagtg	tcactcactg	gaactccagc	gtataacttt	tcgtctgtgg	ctctcggatc	16140
acgcagtgtc	cgagaattgc	atattagttt	aaataataaa	gtttttctcg	gtttgcttct	16200

ć	acatagaaag	gcggatcgac	gaatactttt	cactaaggat	gaagcgatto	gatacgccga	16260
t	tcaattgat	atcgcggatg	tgctaaagga	atataaaagt	tacgcggcca	gtgccttacc	16320
á	accagacgag	gatgtcgaat	tactcctggg	aaagtctgtt	caaaaagttt	tacggggaag	16380
C	cagactggaa	gaaatacctc	tctaggagca	tagcagcaca	ctcaagtgaa	attaaaactc	16440
t	accagacat	tcgattgtac	ggcggtaggg	ttgtaaagaa	gtccgatttc	gaatcagcac	16500
t	tcctaattc	ttttgaacag	gaattaggac	tgttcatact	gagcgaacgg	gaagtgggat	16560
ç	gagcaaatt	atgcggaata	acggtggaag	aagcagcata	cgatcttacg	aatcccaagg	16620
c	ttataaatt	cactgccgag	acatgtagcc	cggatgtaaa	aggtgaagga	caaaaatact	16680
c	tatggaaga	cgtgatgaat	ttcatgcgtt	tatcaaatct	ggatgttaac	gacaagatgc	16740
t	.ggcggaaca	gtgttggtcg	ctgtccaatt	catgcggtga	attgatcaac	ccagacgaca	16800
ĉ	agggcgatt	cgtggctctc	acctttaagg	acagagacac	agctgatgac	acgggtgccg	16860
C	caacgtgga	atgtcgcgtg	ggcgactatc	tagtttacgc	tatgtccctg	tttgagcaga	16920
g	gacccaaaa	atcgcagtct	ggcaacatct	ctctgtacga	aaagtactgc	gaatacatca	16980
g	gacctactt	agggagtaca	gacctgtttt	tcacagcgcc	ggacaggatt	ccgttactta	17040
С	gggcatcct	atacgatttt	tgtaaggaat	acaacatttt	ctactcgtca	tataagagaa	17100
а	cgtcgataa	tttcagattc	ttcttggcga	attatatgcc	tttgatatct	gacgtctttg	17160
t	cttccagtg	ggtaaaaccc	gcgccggatg	ttcggctgct	ttttgagtta	agtgcagcgg	17220
а	actaacgct	ggaggttccc	acactgagtt	tgatagattc	tcaagttgtg	gtaggtcata	17280
t	cttaagata	cgtagaatcc	tacacatcag	atccagccat	cgacgcgtta	gaagacaaac	17340
t	ggaagcgat	actgaaaagt	agcaatcccc	gtctatcgac	agcgcaacta	tgggttggtt	17400
t	cttttgtta	ctatggtgag	tttcgtacgg	ctcaaagtag	agtagtgcaa	agaccaggcg	17460
t	atacaaaac	acctgactca	gtgggtggat	ttgaaataaa	catgaaagat	gttgagaaat	17520
t	cttcgataa	acttcagaga	gaattgccta	atgtatcttt	gcggcgtcag	tttaacggag	17580
С	tagagcgca	tgaggctttc	aaaatattta	aaaacggaaa	tataagtttc	aaacctatat	17640
С	gcgtttaaa	cgtgcctaga	gagttctggt	atctgaacat	agactacttc	aggcacgcga	17700
a	taggtccgg	gttaaccgaa	gaagaaatac	tcatcctaaa	caacataagc	gttgatgtta	17760
g	gaagttatg	cgctgagaga	gcgtgcaata	ccctacctag	cgcgaagcgc	tttagtaaaa	17820
a	tcataagag	taatatacaa	tcatcacgcc	aagagcggag	gattaaagac	ccattggtag	17880
t	cctgaaaga	cactttatat	gagttccaac	gcaagcgtgc	cggttggggg	tctcgaagca	17940
Ci	tcgagacct	cgggagtcgt	gctgaccacg	cgaaaggaag	cggttgataa	gttttttaat	18000

gaactaaaaa	acgaaaatta	ctcatcagtt	. gacagcagcc	gattaagcga	ttcggaagta	18060
aaagaagtgt	tagagaaaag	taaagaaagt	ttcaaaagcg	aactggcctc	cactgacgag	18120
cacttcgtct	accacattat	atttttctta	atccgatgtg	ctaagatato	gacgagtgaa	18180
aaagtgaagt	acgttggtag	tcatacgtac	gtggtcgacg	gaaaaacgta	caccgttctt	18240
gacgcttggg	tattcaacat	gatgaaaagt	ctcacgaaga	agtacaaacg	agtgaatggt	18300
ctgcgtgcgt	tctgttgcgc	gtgcgaagat	ctatatctaa	ccgtcgcacc	aataatgtca	18360
gaacgcttta	agactaaagc	cgtagggatg	aaaggtttgc	ctgttggaaa	ggaatactta	18420
ggcgccgact	ttctttcggg	aactagcaaa	ctgatgagcg	atcacgacag	ggcggtctcc	18480
atcgttgcag	cgaaaaacgc	tgtcgatcgt	agcgctttca	cgggtgggga	gagaaagata	18540
gttagtttgt	atgatctagg	gaggtactaa	gcacggtgtg	ctatagtgcg	tgctataata	18600
ataaacacta	gtgcttaagt	cgcgcagaag	aaaacgctta	attaacaatg	aagactaatc	18660
tttttctctt	tctcatcttt	tcacttctcc	tatcattatc	ctcggccgaa	ttcagtaaag	18720
gagaagaact	tttcactgga	gttgtcccaa	ttcttgttga	attagatggt	gatgttaatg	18780
ggcacaaatt	ttctgtcagt	ggagagggtg	aaggtgatgc	aacatacgga	aaacttaccc	18840
ttaaatttat	ttgcactact	ggaaaactac	ctgttccatg	gccaacactt	gtcactactt	18900
tctcttatgg	tgttcaatgc	ttttcaagat	acccagatca	tatgaagcgg	cacgacttct	18960
tcaagagcgc	catgcctgag	ggatacgtgc	aggagaggac	catcttcttc	aaggacgacg	19020
ggaactacaa	gacacgtgct	gaagtcaagt	ttgagggaga	caccctcgtc	aacaggatcg	19080
agcttaaggg	aatcgatttc	aaggaggacg	gaaacatcct	cggccacaag	ttggaataca	19140
actacaactc	ccacaacgta	tacatcatgg	ccgacaagca	aaagaacggc	atcaaagcca	19200
acttcaagac	ccgccacaac	atcgaagacg	gcggcgtgca	actcgctgat	cattatcaac	19260
aaaatactcc	aattggcgat	ggccctgtcc	ttttaccaga	caaccattac	ctgtccacac	19320
aatctgccct	ttcgaaagat	cccaacgaaa	agagagacca	catggtcctt	cttgagtttg	19380
taacagctgc	tgggattaca	catggcatgg	atgaactata	caaacatgat	gagctttagt	19440
aaactgttcc	tgaatagaac	cattggcaaa	cgtgggatcc	cgtcagggta	tgagttcctc	19500
ggggcagatt	ttctaactgc	gaccagcgtg	tgtttgaacg	atcacgaaaa	agctatcgta	19560
ctacaggcct	caagagctgc	cattgataga	gcagtctctt	cgtcggtcga	cgggaagatc	19620
gtcagtcttt	tcgacctcgg	tcgtcttagt	taacacagtt	actaaggttc	cattttatta	19680
ttgcattgtt	tttcatttag	tgtaatcgta	cttgagttct	aatcctgcag	gctatggagt	19740
tgatgtccga	cagcaacctt	agcaacctgg	tgataaccga	cgcctctagt	ctaaatggtg	19800
tcgacaagaa	gcttttatct	gctgaagttg	taaaaatgct	ggtgcagaaa	ggggctccta	19860

acgagggtat	agaagtggtg	ttcggtctac	tcctttacgc	actcgcggca	agaaccacgt	19920
ctcctaaggt	tcagcgcgca	gattcagacg	ttatattttc	aaatagtttc	ggagagagga	19980
atgtggtagt	aacagagggt	gaccttaaga	aggtactcga	cgggtgtgcg	cctctcacta	20040
ggttcactaa	taaacttaga	acgttcggtc	gtactttcac	tgaggcttac	gttgactttt	20100
gtatcgcgta	taagcacaaa	ttaccccaac	tcaacgccgc	ggcggaattg	gggattccag	20160
ctgaagattc	gtacttagct	gcagattttc	tgggtacttg	cccgaagctc	tctgaattac	20220
agcaaagtag	gaagatgttc	gcgagtatgt	acgctctaaa	aactgaaggt	ggagtggtaa	20280
atacaccagt	gagcaatctg	cgtcagctag	gtagaaggga	agttatgtaa	tggaagatta	20340
cgaagaaaaa	tccgaatcgc	tcatactgct	acgcacgaat	ctgaacacta	tgcttttagt	20400
ggtcaagtcc	gatgctagtg	tagagctgcc	taaactacta	atttgcggtt	acttacgagt	20460
gtcaggacgt	ggggagglga	cgtgttgcaa	ccgtgaggaa	ttaacaagag	attttgaggg	20520
caatcatcat	acggtgatcc	gttctagaat	catacaatat	gacagcgagt	ctgcttttga	20580
ggaattcaac	aactctgatt	gcgtagtgaa	gtttttccta	gagactggta	gtgtcttttg	20640
gtttttcctt	cgaagtgaaa	ccaaaggtag	agcggtgcga	catttgcgca	ccttcttcga	20700
agctaacaat	ttcttctttg	gatcgcattg	cggtaccatg	gagtattgtt	tgaagcaggt	20760
actatctgaa	actgaatcta	taatcgattc	tttttgcgaa	gaaagaaatc	gttaagatga	20820
gggttatagt	gtctccttat	gaagctgaag	acattctgaa	aagatcgact	gacatgttac	20880
gaaacataga	cagtggggtc	ttgagcacta	aagaatgtat	caaggcattc	tcgacgataa	20940
cgcgagacct	acattgtgcg	aaggcttcct	accagtgggg	tgttgacact	gggttatatc	21000
agcgtaattg	cgctgaaaaa	catttaattg	acacggtgga	gtcaaacata	cggttggctc	21060
aacctctcgt	gcgtgaaaaa	gtggcggttc	atttttgtaa	ggatgaacca	aaagagctag	21120
tagcattcat	cacgcgaaag	tacgtggaac	tcacgggcgt	gggagtgaga	gaagcggtga	21180
agagggaaat	gcgctctctt	accaaaacag	ttttaaataa	aatgtctttg	gaaatggcgt	21240
tttacatgtc	accacgagcg	tggaaaaacg	ctgaatggtt	agaactaaaa	ttttcacctg	21300
tgaaaatctt	tagagatctt	ttattagacg	tggaaacgct	caacgaattg	tgcgccgaag	21360
atgatgttca	cgtcgacaaa	gtaaatgaga	atggggacga	aaatcacgac	ctcgaactcc	21420
aagacgaatg	ttaaacattg	gttaagttta	acgaaaatga	ttagtaaata	ataaatcgaa	21480
cgtgggtgta	tctacctgac	gtatcaactt	aagctgttac	tgagtaatta	aaccaacaag	21540
tgttggtgta	atgtgtatgt	tgatgtagag	aaaaatccgt	ttgtagaacg	gtgtttttct	21600
cttctttatt	tttaaaaaaaa	aataaaaaaa	aaaaaaaaga	agctcaagac	atgattcaca	21660

tgtcttctga	tgagtccgtg	aggacgaaag	cttcttttcc	cggggatcgt	tcaaacattt	21720
ggcaataaag	tttcttaaga	ttgaatcctg	ttgccggtct	tgcgatgatt	atcatataat	21780
ttctgttgaa	ttacgttaag	catgtaataa	ttaacatgta	atgcatgacg	ttatttatga	21840
gatgggtttt	tatgattaga	gtcccgcaat	tatacattta	atacgcgata	gaaaacagaa	21900
tatagcgcgc	aaactaggat	aaattatcgc	gcgcggtgtc	atctatgtta	ctagatcaag	21960
cttatcgata	ccgtcgacct	cgaggggggg	cccggtacca	aaaccacccc	agtacattaa	22020
aaacgtccgc	aatgtgttat	taagttgtct	aagcgtcaat	ttgtttacac	cacaatatat	22080
cctgccacca	gccagccaac	agctccccga	ccggcagctc	ggcacaaaat	caccactcga	22140
tacaggcagc	ccatcagtcc	actaga				22166

<210>2

<211> 14508

<212> ADN

<213> Secuencia artificial

<220>

<223> Vector viral obtenido por ingeniería genética

10

5

<400> 2

atattctgtt ggctttcatc tgtgcttgtg cttcggttca atcacactct gaaagtttca 60 gttccccgga atttcggttt tcttcataag ccttattcct acaggatgtc tagccttgct 120 atttctgccc ttccctgttc agtcgctcaa ctgagcgttg gtcagcctgt tgccacggtt 180 gccaggtcat ttttgatgac ttcccttccg tcccttcaga cttacccatc ttcgtctgag 240 ttgacttcct ttttattttg ttttggtgct ttccaaaaaa taaaaatgtt tttatctttc 300 ctacqttcqq tqcacqtctt tqcqcctttt tctqaaattt ccacqattqq ttcatqctat 360 gaattcattc ggttgggagg tggtgcttac cctctcttt tctgttcctt ccaatgcgga 420 cctttgtccg tttctttggg ttttgttaac ggcgtttttg ctgttttaaa catgtcattt 480 cctttcttaa gcaacgcatc tcttttgacg ggcgtcggaa aaaatgttgt tcaagagaaa 540 ataaaaattt ccaaatttga gaagaaacag aagaagcgcg ttttttcgat agctcgcgct 600 accgcgcgtc atgtgccttc ccgtcgcaat cctaaqqaga agcgtqttqt ccatqtacaq 660 720 ttaaaagagg aagtcggaat tgtcgcgcgc gttaagtgtt cggcaagcgt cgtgcgccgt 780 cgcgtttgtg gcggtgtggt taagtgcaaa cccctaatag ccgtttctcc ctctggcgtg 840 aaattccgtt gtttcqcqcc gtcttgcagc acgtccgctt gtttaaagct caaaatcatg 900 cgccgtgttg ccgtcggtga ctgccgaggt gagaagataa tcqcqgcacg acgtgcggcg 960 ctgcagaagc aggctttcaa cagccgcaca ccgaagaaag tgcgagagaa ccccattagc 1020

gtctccgggg	tgaacttggg	aaggtctgcc	gccgctcagg	ttatttattt	cggcagtttc	1080
acgcagccct	tcgcgttgta	tccgcgccaa	gagagegega	tcgtaaaaac	gcaacctcca	1140
ccggtcagtg	tagtgaaggt	ggagtgcgta	gctgcggagg	tagctcccga	caggggcgtg	1200
gtcgacaaga	aacctacgtc	tgttggcgtt	ccccgcagc	gcggtgtgct	ttcttttccg	1260
acggtggttc	ggaaccgcgg	cgacgtgata	atcacagggg	tggtgcatga	agccctgaag	1320
aaaattaaag	acgggctctt	acgcttccgc	gtaggcggtg	acatgcgttt	ttcgagattt	1380
ttctcatcga	actacggctg	cagattcgtc	gcgagcgtgc	gtacgaacac	tacagtttgg	1440
ctaaattgca	cgaaagcgag	tggtgagaaa	ttctcactcg	ccgccgcgtg	cacggcggat	1500
tacgtggcga	tgctgcgtta	tgtgtgtggc	gggaaatttc	ctctcgtcct	catgagtaga	1560
gttatttacc	cggatgggcg	ctgttacttg	gcccatatga	ggtatttgtg	cgccttttac	1620
tgtcgcccgt	ttagagagtc	ggattatgcc	ctcggaatgt	ggcctacggt	ggcgcgtctc	1680
agggcatgcg	ttgagaagaa	cttcggtgtc	gaagcttgtg	gcatagctct	tcgtggctat	1740
tacacctctc	gcaatgttta	tcactgtgat	tatgactctg	cttatgtaaa	atattttaga	1800
aacctttccg	gccgcattgg	cggtggttcg	ttcgatccga	catctttaac	ctccgtaata	1860
acggtgaaga	ttagcggtct	tccaggtggt	cttcctaaaa	atatagcgtt	tggtgccttc	1920
ctgtgcgata	tacgttacgt	cgaaccggta	gactcgggcg	gcattcaatc	gagcgttaag	1980
acgaaacgtg	aagatgcgca	ccgaaccgta	gaggaacggg	cggccggcgg	atccgtcgag	2040
caaccgcgac	aaaagaggat	agatgagaaa	ggttgcggca	gagttcctag	tggaggtttt	2100
tcgcatctcc	tggtcggcag	ccttaacgaa	gttaggagga	aggtagctgc	cggacttcta	2160
cgctttcgcg	ttggcggtga	tatggatttt	catcgctcgt	tctccaccca	agcgggccac	2220
cgcttgctgg	tgtggcgccg	ctcgagccgg	agcgtgtgcc	ttgaacttta	ctcaccatct	2280
aaaaactttt	tgcgttacga	tgtcttgcct	tgttctggag	actatgcagc	gatgttttct	2340
ttcgcggcgg	gcggccgttt	ccctttagtt	ttgatgacta	gaattagata	cccgaacggg	2400
ttttgttact	tggctcactg	ccggtacgcg	tgcgcgtttc	tcttaagggg	ttttgatccg	2460
aagcgtttcg	acatcggtgc	tttccccacc	gcagccaagc	tcagaaaccg	tatggtttcg	2520
gagcttggtg	aaagaagttt	aggtttgaac	ttgtacggcg	catatacgtc	acgcggcgtc	2580
tttcactgcg	attatgacgc	taagtttata	aaggatttgc	gtcttatgtc	agcagttata	2640
gctggaaagg	acggagtgga	agaggtggta	ccttctgaca	taactcctgc	catgaagcag	2700
aaaacgatcg	aagccgtgta	tgatagatta	tatggcggca	ctgactcgtt	gctgaaactg	2760
agcatcgaga	aagacttaat	cgatttcaaa	aatgacgtgc	agagtttgaa	gaaagatcgg	2820

ccgattgtca	aagtgccctt	ttatatgtcg	gaagcaacac	agaattcgct	gacgcgtttc	2880
taccctcagt	tcgaacttaa	gttttcgcac	tcctcgcatt	cagatcatcc	cgccgccgcc	2940
gcttctagac	tgctggaaaa	tgaaacgtta	gtgcgcttat	gtggtaatag	cgtttcagat	3000
attggaggtt	gtcctcttt	ccatttgcat	tccaagacgc	aaagacgggt	tcacgtatgt	3060
aggcctgtgt	tggatggcaa	ggatgcgcag	cgtcgcgtgg	tgcgtgattt	gcagtattcc	3120
aacgtgcgtt	ggggagacga	tgataaaatt	ttggaagggc	cacgcaatat	cgacatttgc	3180
cactatcctc	tgggcgcgtg	tgaccacgaa	agtagtgcta	tgatgatggt	gcaggtgtat	3240
gacgcgtccc	tttatgagat	atgtggcgcc	atgatcaaga	agaaaagccg	cataacgtac	3300
ttaaccatgg	tcacgcccgg	cgagtttctt	gacggacgcg	aatgcgtcta	tatggagtcg	3360
ttagactgtg	agattgaggt	tgatgtgcac	gcggacgtcg	taatgtacaa	attcggtagt	3420
tcttgctatt	cgcacaagct	ttcaatcatc	aaggacatca	tgaccactcc	gtacttgaca	3480
ctaggtggtt	ttctattcag	cgtggagatg	tatgaggtgc	gtatgggcgt	gaattacttc	3540
aagattacga	agtccgaagt	atcgcctagc	attagctgca	ccaagctcct	gagataccga	3600
agagctaata	gtgacgtggt	taaagttaaa	cttccacgtt	tcgataagaa	acgtcgcatg	3660
tgtctgcctg	ggtatgacac	catataccta	gattcgaagt	ttgtgagtcg	cgttttcgat	3720
tatgtcgtgt	gtaattgctc	tgccgtgaac	tcaaaaactt	tcgagtgggt	gtggagtttc	3780
attaagtcta	gtaagtcgag	ggtgattatt	agcggtaaaa	taattcacaa	ggatgtgaat	3840
ttggacctta	agtacgtcga	gagtttcgcc	gcggttatgt	tggcctctgg	cgtgcgcagc	3900
agactagcgt	ccgagtacct	tgctaagaac	cttagtcatt	tttcgggaga	ttgctccttt	3960
attgaagcca	cgtctttcgt	gttgcgtgag	aaaatcagaa	acatgactct	gaattttaac	4020
gaaagacttt	tacagttagt	gaagcgcgtt	gcctttgcga	ccttggacgt	gagttttcta	4080
gatttagatt	caactcttga	atcaataact	gattttgccg	agtgtaaggt	agcgattgaa	4140
ctcgacgagt	tgggttgctt	gagagcggag	gccgagaatg	aaaaaatcag	gaatctggcg	4200
ggagattcga	ttgcggctaa	actcgcgagc	gagatagtgg	tcgatattga	ctctaagcct	4260
tcaccgaagc	aggtgggtaa	ttcgtcatcc	gaaaacgccg	ataagcggga	agttcagagg	4320
cccggtttgc	gtggtggttc	tagaaacggg	gttgttgggg	agttccttca	cttcgtcgtg	4380
gattctgcct	tgcgtctttt	caaatacgcg	acggatcaac	aacggatcaa	gtcttacgtg	4440
cgtttcttgg	actcggcggt	ctcattcttg	gattacaact	acgataatct	atcgtttata	4500
ctgcgagtgc	tttcggaagg	ttattcgtgt	atgttcgcgt	ttttggcgaa	tcgcggcgac	4560
ttatctagtc	gtgtccgtag	cgcggtgcgt	gctgtgaaag	aagttgctac	ctcatgcgcg	4620
aacgcgagcg	tttctaaagc	caaggttatg	attaccttcg	cagcggccgt	gtgtgctatg	4680

atgtttaata	gctgcggttt	ttcaggcgac	ggtcgggagt	ataaatcgta	tatacatcgt	4740
tacacgcaag	tattgtttga	cactatcttt	tttgaggaca	gcagttacct	acccatagaa	4800
gttctgagtt	cggcgatatg	cggtgctatc	gtcacacttt	tctcctcggg	ctcgtccata	4860
agtttaaacg	ccttcttact	tcaaattacc	aaaggattct	ccctagaggt	tgtcgtccgg	4920
aatgttgtgc	gagtcacgca	tggtttgagc	accacagcga	ccgacggcgt	catacgtggg	4980
gttttctccc	aaattgtgtc	tcacttactt	gttggaaata	ccggtaatgt	ggcttaccag	5040
tcagctttca	ttgccggggt	ggtgcctctt	ttagttaaaa	agtgtgtgag	cttaatcttc	5100
atcttgcgtg	aagatactta	ttccggtttt	attaagcacg	gaatcagtga	attctctttc	5160
cttagtagta	ttctgaagtt	cttgaagggt	aagcttgtgg	acgagttgaa	atcgattatt	5220
caaggggttt	ttgattccaa	caagcacgtg	tttaaagaag	ctactcagga	agcgattcgt	5280
acgacggtca	tgcaagtgcc	tgtcgctgta	gtggatgccc	ttaagagcgc	cgcgggaaaa	5340
atttataaca	attttactag	tcgacgtacc	tttggtaagg	atgaaggctc	ctctagcgac	5400
ggcgcatgtg	aagagtattt	ctcatgcgac	gaaggtgaag	gtccgggtct	gaaagggggt	5460
tccagctatg	gcttctcaat	tttagcgttc	ttttcacgca	ttatgtgggg	agctcgtcgg	5520
cttattgtta	aagtgaagca	tgagtgtttt	gggaaacttt	ttgaatttct	atcgctcaag	5580
cttcacgaat	tcaggactcg	cgtttttggg	atgaatagaa	cggacgtggg	agtttacgat	5640
tttttgccca	cggacatcgt	ggaaacgctc	tcatcgatag	aagagtgcga	ccaaattgaa	5700
gaacttctcg	gcgacgacct	gaaaggtgac	aaggatgctt	cgttgaccga	tatgaattac	5760
tttgagttct	cagaagactt	cttagcctct	gtcgaggagc	cgcctttcgc	tggattgcga	5820
ggaggtagca	agaacgtcgc	gattttggcg	attttggaat	acgcgcataa	tttgtttcgc	5880
attgtcgcaa	gcaagtgttc	gaaacgacct	ttatttcttg	ctttcgccga	actctcaagc	5940
gcccttatcg	agaaatttaa	ggaggttttc	cctcgtaaga	gccagctcgt	cgctatcgtg	6000
cgcgagtata	ctcagagatt	cctccgaagt	cgcatgcgtg	cgttgggttt	gaataacgag	6060
ttcgtggtaa	aatctttcgc	cgatttgcta	cccgcattaa	tgaagcggaa	ggtttcaggt	6120
tcgttcttag	ctagtgttta	tcgcccactt	agaggtttct	catatatgtg	tgtttcagcg	6180
gagcgacgtg	aaaagttttt	tgctctcgtg	tgtttaatcg	ggttaagtct	ccctttcttc	6240
gtgcgcatcg	taggagcgaa	agcgtgcgaa	gaactcgtgt	cctcagcgcg	tcgcttttat	6300
gagcgtatta	aaatttttct	caggcagaag	tatgtctctc	tttctaattt	cttttgtcac	6360
ttgtttagct	ctgacgttga	tgacagttcc	gcatcagcag	ggttgaaagg	tggtgcgtcg	6420
cgaatgacgc	tcttccacct	tctggttcgc	cttgctagtg	ccctcctatc	gttagggtgg	6480

gaagggttaa	agctactctt	atcgcaccac	aacttgttat	ttttgtgttt	tgcattggtt	6540
gacgatgtga	acgtccttat	caaagttctt	gggggtcttt	ctttctttgt	gcaaccagtc	6600
ttttccttgt	ttgcggcgat	gcttttacaa	ccggacaggt	ttgtggggta	ttccgagaaa	6660
cttgttacag	cgtttgaatt	tttcttaaaa	tgttcgcctc	gcgcgcctgc	actactcaaa	6720
gggtttttg	agtgcgtggc	gaacagcact	gtgtcaaaaa	ccgttcgaag	acttcttcgc	6780
tatttcgtga	ggatgctcaa	acttcgaaaa	gggcgagggt	tgcgtgcgga	tggtaggggt	6840
ctccatcggc	agaaagccgt	acccgtcata	ccttctaatc	gggtcgtgac	cgacggggtt	6900
gaaagacttt	cggtaaagat	gcaaggagtt	gaagcgttgc	gtaccgaatt	gagaatctta	6960
gaagatttag	attctgccgt	gatcgaaaaa	ctcaatagac	gcagaaatcg	tgacactaat	7020
gacgacgaat	ttacgcgccc	tgctcatgag	cagatgcaag	aagtcaccac	tttctgttcg	7080
aaagccaact	ctgctggttt	ggccctggaa	agggcagtgc	ttgtggaaga	cgctataaag	7140
tcggagaaac	tttctaagac	ggttaatgag	atggtgagga	aagggagtac	caccagcgaa	7200
gaagtggccg	tcgctttgtc	ggacgatgaa	gccgtggaag	aaatctctgt	tgctgacgag	7260
cgagacgatt	cgcctaagac	agtcaggata	agcgaatacc	taaataggtt	aaactcaagc	7320
ttcgaattcc	cgaagcctat	tgttgtggac	gacaacaagg	ataccggggg	tctaacgaac	7380
gccgtgaggg	agttttatta	tatgcaagaa	cttgctcttt	tcgaaatcca	cagcaaactg	7440
tgcgcctact	acgatcaact	gcgcatagtc	aacttcgatc	gttccgtagc	accatgcagc	7500
gaagatgctc	agctgtacgt	acggaagagc	ggctcaacga	tagtgcaggg	taaagaggta	7560
cgtttgcaca	ttaaggattt	ccacgatcac	gatttcctgt	ttgacgggaa	aatttctatt	7620
aacaagegge	ggcgaggcgg	aaacgtttta	tatcacgaca	acctcgcgtt	cttggcgagt	7680
aatttgttct	tagccggcta	ccccttttca	aggagcttcg	tcttcacgaa	ttcgtcggtc	7740
gatattctcc	tctacgaagc	tccacccgga	ggtggtaaga	cgacgacgct	gattgactcg	7800
ttcttgaagg	tcttcaagaa	aggtgaggtt	tccaccatga	tcttaaccgc	caacaaagt	7860
tcgcaggttg	agatcctaaa	gaaagtggag	aaggaagtgt	ctaacattga	atgccagaaa	7920
cgtaaagaca	agagatctcc	gaaaaagagc	atttacacca	tcgacgctta	tttaatgcat	7980
caccgtggtt	gtgatgcaga	cgttcttttc	atcgatgagt	gtttcatggt	tcatgcgggt	8040
agcgtactag	cttgcattga	gttcacgagg	tgtcataaag	taatgatctt	cggggatagc	8100
cggcagattc	actacattga	aaggaacgaa	ttggacaagt	gtttgtatgg	ggatctcgat	8160
aggttcgtgg	acctgcagtg	tcgggtttat	ggtaatattt	cgtaccgttg	tccatgggat	8220
gtgtgcgctt	ggttaagcac	agtgtatggc	aacctaatcg	ccaccgtgaa	gggtgaaagc	8280
gaaggtaaga	gcagcatgcg	cattaacgaa	attaattcag	tcgacgattt	agtccccgac	8340

gtgggttcca	cgtttctgtg	tatgcttcag	teggagaagt	tggaaatcag	caagcacttt	8400
attcgcaagg	gtttgcctaa	acttaacgtt	ctaactgtgc	atgaggcgca	aggtgagacg	8460
tatgcgcgtg	r tgaaccttgt	gcgacttaag	tttcaggagg	atgaaccctt	taaatctatc	8520
aggcacataa	ccgtcgctct	ttctcgtcac	accgacagct	taacttataa	cgtcttagct	8580
gctcgtcgag	gtgacgccac	ttgcgatgcc	atccagaagg	ctgcggaatt	ggtgaacaag	8640
tttcgcgttt	ttcctacatc	ttttggtggt	agtgttatca	atctcaacgt	gaaaaaggac	8700
gtggaagata	acagtaggtg	caaggcttcg	tcggcaccat	tgagcgtaat	caacgacttt	8760
ttgaacgaag	ttaatcccgg	tactgcggtg	attgattttg	gtgatttgtc	cgcggacttc	8820
agtactgggc	cttttgagtg	cggtgccagc	ggtattgtgg	tgcgggacaa	catctcctcc	8880
agcaacatca	ctgatcacga	taagcagcgt	gtttagcgta	gttcggtcgc	aggcgattcc	8940
gcgtagaaaa	ccttctctac	aagaaaattt	gtattcgttt	gaagcgcgga	attataactt	9000
ctcgacttgc	gaccgttaca	catctgcttc	aatgttcgga	gaggctatgg	cgatgaactg	9060
tcttcgtcgt	tgcttcgacc	tagatgcctt	ttcgtccctg	cgtaatgatg	tgattagtat	9120
cacacgttca	ggcatcgaac	aatggctgga	gaaacgtact	cctagtcaga	ttaaagcatt	9180
aatgaaggat	gttgaatcgc	ctttggaaat	tgacgatgaa	atttgtcgtt	ttaagttgat	9240
ggtgaagcgt	gacgctaagg	tgaagttaga	ctcttcttgt	ttaactaaac	acagcgccgc	9300
tcaaaatatc	atgtttcatc	gcaagagcat	taatgctatc	ttctctccta	tctttaacga	9360
ggtgaaaaac	cgaataatgt	gctgtcttaa	gcctaacata	aagttttta	cggagatgac	9420
taacagggat	tttgcttctg	ttgtcagcaa	catgcttggt	gacgacgatg	tgtaccatat	9480
aggtgaagtt	gatttctcaa	agtacgacaa	gtctcaagat	gctttcgtga	aggcttttga	9540
agaagtgatg	tataaggaac	tcggtgttga	tgaagagttg	ctggctatct	ggatgtgcgg	9600
cgagcggtta	tcgatagcta	acactctcga	tggtcagttg	tccttcacga	tcgagaatca	9660
aaggaagtcg	ggagcttcga	acacttggat	tggtaactct	ctcgtcactt	tgggtatttt	9720
aagtctttac	tacgacgtta	gaaatttcga	ggcgttgtac	atctcgggcg	atgattcttt	9780
aatttttct	cgcagcgaga	tttcgaatta	tgccgacgac	atatgcactg	acatgggttt	9840
tgagacaaaa	tttatgtccc	caagtgtccc	gtacttttgt	tctaaatttg	ttgttatgtg	9900
tggtcataag	acgttttttg	ttcccgaccc	gtacaagctt	tttgtcaagt	tgggagcagt	9960
caaagaggat	gtttcaatgg	atttcctttt	cgaaactttt	acctccttta	aagacttaac	10020
ctccgatttt	aacgacgagc	gcttaattca	aaagctcgct	gaacttgtgg	ctttaaaata	10080
tgaggttcaa	accggcaaca	ccaccttggc	gttaagtgtg	atacattgtt	tgcgttcgaa	10140

tttcctctcg	tttagcaagt	tgtatcctcg	cgtgaaggga	tggcaggttt	tttacacgtc	10200
ggttaagaaa	gcgcttctca	agagtgggtg	ttctctcttc	gacagtttca	tgaccccttt	10260
tggtcaggct	gtcatggttt	gggatgatga	gtagcgctaa	cttgtgcgca	gtttctttgt	10320
tcgtgacata	caccttgtgt	gtcaccgtgc	gtttatacgg	tccgggtatt	caacatgatg	10380
aaaagtctca	cgaagaagta	caaacgagtg	aatggtctgc	gtgcgttctg	ttgcgcgtgc	10440
gaagatctat	atctaaccgt	cgcaccaata	atgtcagaac	gctttaagac	taaagccgta	10500
gggatgaaag	gtttgcctgt	tggaaaggaa	tacttaggcg	ccgactttct	ttcgggaact	10560
agcaaactga	tgagcgatca	cgacagggcg	gtctccatcg	ttgcagcgaa	aaacgctgtc	10620
gatcgtagcg	ctttcacggg	tggggagaga	aagatagtta	gtttgtatga	tctagggagg	10680
tactaagcac	ggtgtgctat	agtgcgtgct	ataataataa	acactagtgc	ttaagtcgcg	10740
cagaagaaaa	cgcttaatta	atggtgagca	agggcgagga	gctgttcacc	ggggtggtgc	10800
ccatcctggt	cgagctggac	ggcgacgtaa	acggccacaa	gttcagcgtg	tccggcgagg	10860
gcgagggcga	tgccacctac	ggcaagctga	ccctgaagtt	catctgcacc	accggcaagc	10920
tgcccgtgcc	ctggcccacc	ctcgtgacca	ccctgaccta	cggcgtgcag	tgcttcagcc	10980
gctaccccga	ccacatgaag	cagcacgact	tcttcaagtc	cgccatgccc	gaaggctacg	11040
tccaggagcg	caccatcttc	ttcaaggacg	acggcaacta	caagacccgc	gccgaggtga	11100
agttcgaggg	cgacaccctg	gtgaaccgca	tcgagctgaa	gggcatcgac	ttcaaggagg	11160
acggcaacat	cctggggcac	aagctggagt	acaactacaa	cagccacaac	gtctatatca	11220
tggccgacaa	gcagaagaac	ggcatcaagg	tgaacttcaa	gatccgccac	aacatcgagg	11280
acggcagcgt	gcagctcgcc	gaccactacc	agcagaacac	ccccatcggc	gacggccccg	11340
tgctgctgcc	cgacaaccac	tacctgagca	cccagtccgc	cctgagcaaa	gaccccaacg	11400
agaagcgcga	tcacatggtc	ctgctggagt	tcgtgaccgc	cgccgggatc	actctcggca	11460
tggacgagct	gtacaagtcc	ctagggatgg	tccgtcctgt	agaaacccca	acccgtgaaa	11520
tcaaaaaact	cgacggcctg	tgggcattca	gtctggatcg	cgaaaactgt	ggaattgatc	11580
agcgttggtg	ggaaagcgcg	ttacaagaaa	gccgggcaat	tgctgtgcca	ggcagtttta	11640
acgatcagtt	cgccgatgca	gatattcgta	attatgcggg	caacgtctgg	tatcagcgcg	11700
aagtctttat	accgaaaggt	tgggcaggcc	agcgtatcgt	gctgcgtttc	gatgcggtca	11760
ctcattacgg	caaagtgtgg	gtcaataatc	aggaagtgat	ggagcatcag	ggcggctata	11820
cgccatttga	agccgatgtc	acgccgtatg	ttattgccgg	gaaaagtgta	cgtatcaccg	11880
tttgtgtgaa	caacgaactg	aactggcaga	ctatcccgcc	gggaatggtg	attaccgacg	11940
aaaacggcaa	gaaaaagcag	tcttacttcc	atgatttctt	taactatgcc	ggaatccatc	12000

gcagcgtaat	gctctacacc	acgccgaaca	cctgggtgga	cgatatcacc	gtggtgacgc	12060
atgtcgcgca	agactgtaac	cacgcgtctg	ttgactggca	ggtggtggcc	aatggtgatg	12120
tcagcgttga	actgcgtgat	gcggatcaac	aggtggttgc	aactggacaa	ggcactagcg	12180
ggactttgca	agtggtgaat	ccgcacctct	ggcaaccggg	tgaaggttat	ctctatgaac	12240
tgtgcgtcac	agccaaaagc	cagacagagt	gtgatatcta	cccgcttcgc	gtcggcatcc	12300
ggtcagtggc	agtgaagggc	gaacagttcc	tgattaacca	caaaccgttc	tactttactg	12360
gctttggtcg	tcatgaagat	gcggacttgc	gtggcaaagg	attcgataac	gtgctgatgg	12420
tgcacgacca	cgcattaatg	gactggattg	gggccaactc	ctaccgtacc	tegeattace	12480
cttacgctga	agagatgctc	gactgggcag	atgaacatgg	catcgtggtg	attgatgaaa	12540
ctgctgctgt	cggctttaac	ctctctttag	gcattggttt	cgaagcgggc	aacaagccga	12600
aagaactgta	cagcgaagag	gcagtcaacg	gggaaactca	gcaagcgcac	ttacaggcga	12660
ttaaagagct	gatagcgcgt	gacaaaaacc	acccaagcgt	ggtgatgtgg	agtattgcca	12720
acgaaccgga	tacccgtccg	caaggtgcac	gggaatattt	cgcgccactg	gcggaagcaa	12780
cgcgtaaact	cgacccgacg	cgtccgatca	cctgcgtcaa	tgtaatgttc	tgcgacgctc	12840
acaccgatac	catcagcgat	ctctttgatg	tgctgtgcct	gaaccgttat	tacggatggt	12900
atgtccaaag	cggcgatttg	gaaacggcag	agaaggtact	ggaaaaagaa	cttctggcct	12960
ggcaggagaa	actgcatcag	ccgattatca	tcaccgaata	cggcgtggat	acgttagccg	13020
ggctgcactc	aatgtacacc	gacatgtgga	gtgaagagta	tcagtgtgca	tggctggata	13080
tgtatcaccg	cgtctttgat	cgcgtcagcg	ccgtcgtcgg	tgaacaggta	tggaatttcg	13140
ccgattttgc	gacctcgcaa	ggcatattgc	gcgttggcgg	taacaagaaa	gggatcttca	13200
ctcgcgaccg	caaaccgaag	tcggcggctt	ttctgctgca	aaaacgctgg	actggcatga	13260
acttcggtga	aaaaccgcag	cagggaggca	aacaatgagg	ccggcctttg	cggttactta	13320
cgagtgtcag	gacgtgggga	ggtgacgtgt	tgcaaccgtg	aggaattaac	aagagatttt	13380
gagggcaatc	atcatacggt	gatccgttct	agaatcatac	aatatgacag	cgagtctgct	13440
tttgaggaat	tcaacaactc	tgattgcgta	gtgaagtttt	tcctagagac	tggtagtgtc	13500
ttttggtttt	tccttcgaag	tgaaaccaaa	ggtagagcgg	tgcgacattt	gcgcaccttc	13560
ttcgaagcta	acaatttctt	ctttggatcg	cattgcggta	ccatggagta	ttgtttgaag	13620
caggtactat	ctgaaactga	atctataatc	gattcttttt	gcgaagaaag	aaatcgttaa	13680
gatgagggtt	atagtgtctc	cttatgaagc	tgaagacatt	ctgaaaagat	cgactgacat	13740
gttacgaaac	atagacagtg	gggtcttgag	cactaaagaa	tgtatcaagg	cattctcgac	13800

gataacgcga	gacctacatt	gtgcgaaggc	ttcctaccag	tggggtgttg	acactgggtt	13860
atatcagcgt	aattgcgctg	aaaaacattt	aattgacacg	gtggagtcaa	acatacggtt	13920
ggctcaacct	ctcgtgcgtg	aaaaagtggc	ggttcatttt	tgtaaggatg	aaccaaaaga	13980
gctagtagca	ttcatcacgc	gaaagtacgt	ggaactcacg	ggcgtgggag	tgagagaagc	14040
ggtgaagagg	gaaatgcgct	ctcttaccaa	aacagtttta	aataaaatgt	ctttggaaat	14100
ggcgttttac	atgtcaccac	gagcgtggaa	aaacgctgaa	tggttagaac	taaaattttc	14160
acctgtgaaa	atctttagag	atcttttatt	agacgtggaa	acgctcaacg	aattgtgcgc	14220
cgaagatgat	gttcacgtcg	acaaagtaaa	tgagaatggg	gacgaaaatc	acgacctcga	14280
actccaagac	gaatgttaaa	cattggttaa	gtttaacgaa	aatgattagt	aaataataaa	14340
tcgaacgtgg	gtgtatctac	ctgacgtatc	aacttaagct	gttactgagt	aattaaacca	14400
acaagtgttg	gtgtaatgtg	tatgttgatg	tagagaaaaa	tccgtttgta	gaacggtgtt	14460
tttctcttct	ttatttttaa	aaaaaaataa	aaaaaaaaa	aaagaagc		14508

<210>3 <211> 1716 <212> ADN

5 <212> ADN <213> Virus del enrollamiento de la vid 2

> <220> <221 > CDS <222> (1)..(1716)

<400>3

10

-		-		-		tct Ser	-			-		•	-		_	48
-	_		-		-	gcc Ala	-	-	_				-	-		96
		-			-	act Thr				-			_			144
			-			gct Ala 55						-				192
						gtc Val										240
			_		-	ttc Phe			_				•			288
ctc	ttt	ttc	tgt	tcc	ttc	caa	tgc	gga	cct	ttg	tcc	gtt	tct	ttg	ggt	336

Leu	Phe	Phe	Cys 100	Ser	Phe	Gln	Cys	Gly 105	Pro	Leu	Ser	Val	Ser 110	Leu	Gly	
						gct Ala										384
						acg Thr 135										432
						ttt Phe		-		-	_	-	-	-		480
_		_	_	_		gcg Ala						_	-			528
_		_	-	_	-	cat His	_	-				_				576
						aac Asn			-	_						624
-	_	-		-	-	cgc Arg 215	-		_	_	-	-	-			672
						gtg Val										720
						ttc Phe	_	_			_		_	_	-	768
	-					aaa Lys		_			_		_		_	816
						atc Ile										864
_	_			-	-	aca Thr 295	-	-			_					912
						ttg Leu										960
						cag Gln										1008
						caa Gln										1056

			340					345					350			
	_		Ala			-	gct Ala 360		-				-	_	_	1104
		Thr					ccc Pro									1152
ccg Pro 385	acg Thr	gtg Val	gtt Val	cgg Arg	aac Asn 390	cgc Arg	ggc Gly	gac Asp	gtg Val	ata Ile 395	atc Ile	aca Thr	Gly	gtg Val	gtg Val 400	1200
							aaa Lys									1248
		_	-	_		-	aga Arg				_				-	1296
							acg Thr 440									1344
							ttc Phe									1392
-				-	_	_	tat Tyr		_							1440
_		_	_	_	-		tac Tyr	_	_		•			_	-	1488
							ttt Phe									1536
_		_			-		cct Pro 520	-			•			•	-	1584
							gaa Glu									1632
				-		_	tat Tyr		-	_		-		_		1680
gta Val				_			tcc Ser		_							1716

<210>4

5

<211> 572 <212> PRT <213> Virus del enrollamiento de la vid 2

<400> 4

Met Ser Ser Leu Ala Ile Ser Ala Leu Pro Cys Ser Val Ala Gln Leu Ser Val Gly Gln Pro Val Ala Thr Val Ala Arg Ser Phe Leu Met Thr 20 Ser Leu Pro Ser Leu Gln Thr Tyr Pro Ser Ser Ser Glu Leu Thr Ser 40 Phe Leu Phe Cys Phe Gly Ala Phe Gln Lys Ile Lys Met Phe Leu Ser Phe Leu Arg Ser Val His Val Phe Ala Pro Phe Ser Glu Ile Ser Thr Ile Gly Ser Cys Tyr Glu Phe Ile Arg Leu Gly Gly Gly Ala Tyr Pro 85 90 Leu Phe Phe Cys Ser Phe Gln Cys Gly Pro Leu Ser Val Ser Leu Gly 105 Phe Val Asn Gly Val Phe Ala Val Leu Asn Met Ser Phe Pro Phe Leu 120 Ser Asn Ala Ser Leu Leu Thr Gly Val Gly Lys Asn Val Val Gln Glu 130 Lys Ile Lys Ile Ser Lys Phe Glu Lys Lys Gln Lys Lys Arg Val Phe 145 Ser Ile Ala Arg Ala Thr Ala Arg His Val Pro Ser Arg Arg Asn Pro 165 170 Lys Glu Lys Arg Val Val His Val Gln His Leu Pro Ser Gly Ser Leu Arg Phe Ser Gln Asn Lys Asn Lys Thr Glu Leu Leu Ile Leu Lys Glu 200 Glu Val Gly Ile Val Ala Arg Val Lys Cys Ser Ala Ser Val Val Arg 215

Arg Arg Val Cys Gly Gly Val Val Lys Cys Lys Pro Leu Ile Ala Val 230 Ser Pro Ser Gly Val Lys Phe Arg Cys Phe Ala Pro Ser Cys Ser Thr 245 250 Ser Ala Cys Leu Lys Leu Lys Ile Met Arg Arg Val Ala Val Gly Asp 265 Cys Arg Gly Glu Lys Ile Ile Ala Ala Arg Arg Ala Ala Leu Gln Lys 280 Gln Ala Phe Asn Ser Arg Thr Pro Lys Lys Val Arg Glu Asn Pro Ile Ser Val Ser Gly Val Asn Leu Gly Arg Ser Ala Ala Ala Gln Val Ile 305 310 315 Tyr Phe Gly Ser Phe Thr Gln Pro Phe Ala Leu Tyr Pro Arg Gln Glu Ser Ala Ile Val Lys Thr Gln Pro Pro Pro Val Ser Val Val Lys Val Glu Cys Val Ala Ala Glu Val Ala Pro Asp Arg Gly Val Val Asp Lys Lys Pro Thr Ser Val Gly Val Pro Pro Gln Arg Gly Val Leu Ser Phe 375 370 Pro Thr Val Val Arg Asn Arg Gly Asp Val Ile Ile Thr Gly Val Val 385 390 His Glu Ala Leu Lys Lys Ile Lys Asp Gly Leu Leu Arg Phe Arg Val 410 Gly Gly Asp Met Arg Phe Ser Arg Phe Phe Ser Ser Asn Tyr Gly Cys 425 Arg Phe Val Ala Ser Val Arg Thr Asn Thr Thr Val Trp Leu Asn Cys 435 440 445 Thr Lys Ala Ser Gly Glu Lys Phe Ser Leu Ala Ala Ala Cys Thr Ala 450 455 460 Asp Tyr Val Ala Met Leu Arg Tyr Val Cys Gly Gly Lys Phe Pro Leu

Val Leu Met Ser Arg Val Ile Tyr Pro Asp Gly Arg Cys Tyr Leu Ala His Met Arg Tyr Leu Cys Ala Phe Tyr Cys Arg Pro Phe Arg Glu Ser Asp Tyr Ala Leu Gly Met Trp Pro Thr Val Ala Arg Leu Arg Ala Cys Val Glu Lys Asn Phe Gly Val Glu Ala Cys Gly Ile Ala Leu Arg Gly Tyr Tyr Thr Ser Arg Asn Val Tyr His Cys Asp Tyr Asp Ser Ala Tyr Val Lys Tyr Phe Arg Asn Leu Ser Gly Arg Ile Gly <211> 825 <212> ADN <213> Virus del enrollamiento de la vid 2 <221 > CDS <222> (1)..(825)

<210>5

<220>

<400> 5

 	-		-	-					-		_	gtg Val 15	-	48
												ggt Gly		96
	_	_		_	-	-	_	-	_	_	_	ggc Gly		144
					-		_					gta Val		192
		_			-			_				agg Arg		240
												cat His 95		288

ctg Leu	gtc Val	ggc Gly	agc Ser 100	ctt Leu	aac Asn	gaa Glu	gtt Val	agg Arg 105	agg Arg	aag Lys	gta Val	gct Ala	gcc Ala 110	gga Gly	ctt Leu	336
		ttt Phe 115														384
		gcg Ala														432
		ctt Leu														480
		cct Pro														528
G1A ddc	ggc Gly	cgt Arg	ttc Phe 180	cct Pro	tta Leu	gtt Val	ttg Leu	atg Met 185	act Thr	aga Arg	att Ile	aga Arg	tac Tyr 190	ccg Pro	aac Asn	576
		tgt Cys 195					_				-					624
		ttt Phe														672
		ctc Leu														720
		aac Asn														768
		gac Asp														816
	gct Ala															825
10>6 11> 27	5															

<210

<211> 275 <212> PRT <213> Virus del enrollamiento de la vid 2

<400> 6

Gly Gly Ser Phe Asp Pro Thr Ser Leu Thr Ser Val Ile Thr Val Lys  $1 \hspace{1cm} 5 \hspace{1cm} 10 \hspace{1cm} 15$ 

10

5

Ile	Ser	Gly	Leu 20	Pro	Gly	Gly	Leu	Pro 25	Lys	Asn	Ile	: Ala	Phe 30	: Gly	Ala
Phe	Leu	Cys 35	Asp	Ile	Arg	Tyr	Val 40	Glu	Pro	Val	Asp	Ser 45	Gly	Gly	Ile
Gln	Ser 50	Ser	Val	Lys	Thr	Lys 55	Arg	Glu	Asp	Ala	His 60	Arg	Thr	Val	Glu
Glu 65	Arg	Ala	Ala	Gly	Gly 70	Ser	Val	Glu	Gln	Pro 75	Arg	Gln	Lys	Arg	Ile 80
Asp	Glu	Lys	Gly	Cys 85	Gly	Arg	Val	Pro	Ser 90	Gly	Gly	Phe	Ser	His 95	Leu
Leu	Val	Gly	Ser 100	Leu	Asn	Glu	Val	Arg 105	Arg	Lys	Val	Ala	Ala 110	Gly	Leu
Leu	Arg	Phe 115	Arg	Val	Gly	Gly	Asp 120	Met	Asp	Phe	His	Arg 125	Ser	Phe	Ser
Thr	Gln 130	Ala	Gly	His	Arg	Leu 135	Leu	Val	Trp	Arg	Arg 140	Ser	Ser	Arg	Ser
Val 145	Cys	Leu	Glu	Leu	Tyr 150	Ser	Pro	Ser	Lys	Asn 155	Phe	Leu	Arg	Tyr	Asp 160
Val	Leu	Pro	Cys	Ser 165	Gly	Asp	Tyr	Ala	Ala 170	Met	Phe	Ser	Phe	Ala 175	Ala
Gly	Gly	Arg	Phe 180	Pro	Leu	Val	Leu	Met 185	Thr	Arg	Ile	Arg	Tyr 190	Pro	Asn
Gly	Phe	Cys 195	Tyr	Leu	Ala	His	Cys 200	Arg	Tyr	Ala	Cys	Ala 205	Phe	Leu	Leu
Arg	Gly 210	Phe	Asp	Pro	Lys	Arg 215	Phe	Asp	Ile	Gly	Ala 220	Phe	Pro	Thr	Ala
Ala 225	Lys	Leu	Arg	Asn	Arg 230	Met	Val	Ser	Glu	Leu 235	Gly	Glu	Arg	Ser	Leu 240
Gly	Leu	Asn	Leu	Tyr 245	Gly	Ala	Tyr	Thr	Ser 250	Arg	Gly	Val	Phe	His 255	Cys
Asp	Tyr	Asp	Ala	Lys	Phe	Ile	Lys	Asp	Leu	Arg	Leu	Met	Ser	Ala	Val

260 265 270

Ile Ala Gly 275

<210>7 <211> 17588 5 <212> ADN

<213> Secuencia artificial

<220>

<223> Vector viral obtenido por ingeniería genética

<400> 7

10

atattctgtt ggctttcatc tgtgcttgtg cttcggttca atcacactct gaaagtttca 60 gttccccgga atttcggttt tcttcataag ccttattctt acaggatgtc tagccttgct 120 atttctgccc ttccctgttc agtcgctcaa ctgagcgttg qtcaqcctgt tqccacqgtt 180 gccaggtcat ttttgatgac ttcccttccg tcccttcaga cttacccatc ttcqtctqaq 240 ttgacttcct ttttattttg ttttggtgct ttccaaaaaa taaaaatgtt tttatctttc 300 ctacgttcgg tgcacgtctt tgcgcctttt tctgaaattt ccacgattgg ttcatgctat 360 gaattcattc ggttgggagg tggtgcttac cctctcttt tctgttcctt ccaatgcgga 420 cctttgtccg tttctttggg ttttgttaac ggcgtttttg ctgttttaaa catgtcattt 480 cctttcttaa gcaacgcatc tcttttgacg ggcgtcggaa aaaatgttgt tcaagagaaa 540 ataaaaattt ccaaatttga gaagaaacag aagaagcgcg ttttttcqat agctcgcgct 600 accgcgcgtc atgtgccttc ccgtcgcaat cctaaggaga agcgtgttgt ccatgtacag 660 720 ttaaaagagg aagtcggaat tgtcgcgcgc gttaagtgtt cggcaagcgt cgtgcgccgt 780 cgcgtttgtg gcggtgtggt taagtgcaaa cccctaatag ccgtttctcc ctctggcgtg 840 aaattccgtt gtttcgcgcc gtcttgcagc acgtccgctt gtttaaagct caaaatcatg 900 cgccgtgttg ccgtcggtga ctgccgaggt gagaagataa tcgcggcacg acgtgcqqcq 960 ctgcagaagc aggctttcaa cagccgcaca ccgaagaaag tgcgagagaa ccccattagc 1020 gtctccgggg tgaacttggg aaggtctgcc accgctcagg ttatttattt cqqcaqtttc 1080 acgcagccct tcgcgttgta tccgcgccaa gagagcgcga tcgtaaaaac gcaacctcca 1140 ccggtcagtg tagtgaaggt ggagtgcgta gctgcggagg tagctcccaa caggggcgtg 1200 gtcgacaaga aacctacgtc tgttggcgtt cccccgcagc gcggtgtgct ttctttccg 1260 acggtggttc ggaaccgcgg cgacgtgata atcgcagggg tggtgcatga agccttgaag 1320 aaaattaaag acgggctctt acgcttccgc gtaggcggtg acatgcgttt ttcgagattt 1380

	ttctcatcga	actacggctg	cagattcgtc	gcgagcgtgc	gtacgaacac	tacagtttgg	1440
	ctaaattgca	cgaaagcgag	tggtgagaaa	ttctcactcg	ccgccgcgtg	cacggcggat	1500
	tacgtggcga	tgctgcgtta	tgtatgtggc	gggaaatttc	ctctcgtcct	catgagtaga	1560
	gttatttacc	cggaagggcg	ctgttacttg	gcccatatga	ggtatttgtg	cgccttttac	1620
	tgtcgcccgt	ttagagagtc	ggattatgcc	ctcggaatgt	ggcctacggt	ggcgcgtctc	1680
	agggcatgcg	ttgagaagaa	cttcggtgtc	gaagcttgtg	gcatagctct	tcgtggctat	1740
	tacacctctc	gcaatgttta	tcactgtgat	tatgactctg	cttatgtaaa	atattttaga	1800
	aacctttccg	gccgcattgg	cggtggttcg	ttcgatccga	catctttaac	ctccgtaata	1860
	acggtgaaga	ttagcggtct	tccaggtggt	cttcctaaaa	atatagcgtt	tggtgccttc	1920
	ctgtgcgata	tacgttacgt	cgaaccggta	gactcgggcg	gcattcaatc	gagcgttaag	1980
	acgaaacgtg	aagatgcgca	ccgaaccgta	gaggaacggg	cggccggcgg	atccgtcgag	2040
	caaccgcgac	aaaagaggat	agatgagaaa	ggttgcggca	gagttcctag	tggaggtttt	2100
	ccgcatctcc	tggtcggcag	ccttaacgaa	gttaggagga	aggtagctgc	cggacttcta	2160
	cgctttcgcg	ttggcggtga	tatggatttt	catcgctcgt	tctccaccca	agcgggccac	2220
	cgcttgctgg	tgtggcgccg	ctcgagccgg	agcgtgtgcc	ttgaacttta	ctcaccatct	2280
	aaaaactttt	tgcgttgcga	tgtcttgcct	tgttctggag	actatgcagc	gatgttttct	2340
	ttcgcggcgg	gcggccgttt	ccctttagtt	ttgatgacta	gaattagata	cccgaacggg	2400
	ttttgttact	tggctcactg	ccggtacgcg	tgcgcgtttc	tcttaagggg	ttttgatccg	2460
	aagcgtttcg	acatcggtgc	tttccccacc	gcggccaagc	tcagaaaccg	tatggtttcg	2520
	gagcttggtg	aaagaagttt	aggtttgaac	ttgtacggcg	catatacgtc	acgcggcgtc	2580
	tttcactgcg	attatgacgc	taagtttata	aaggatttgc	gtcttatgtc	agcagttata	2640
	gctggaaagg	acggggtgga	agaggtggta	ccttctgaca	taactcctgc	catgaagcag	2700
	aaaacgatcg	aagccgtgta	tgatagatta	tatggcggca	ctgactcgtt	gctgaaactg	2760
,	agcatcgaga	aagacttaat	cgatttcaaa	aatgacgtgc	agagtttgaa	gaaagatcgg	2820
	ccgattgtca	aagtgccctt	ttacatgtcg	gaagcaacac	agaattcgct	gacgcgtttc	2880
	taccctcagt	tcgaacttaa	gttttcgcac	tcctcgcatt	cagatcatcc	cgccgccgcc	2940
,	gcttctagac	tgctggaaaa	tgaaacgtta	gtgcgcttat	gtggtaatag	cgtttcagat	3000
•	attggaggtt	gtcctcttt	ccatttgcat	tccaagacgc	aaagacgggt	tcacgtatgt	3060
ě	aggcctgtgt	tggatggcaa	ggatgcgcag	cgtcgcgtgg	tgcgtgattt	gcagtattcc	3120
ě	aacgtgcgtt	tgggagacga	tgataaaatt	ctggaagggc	cacgcaatat	cgacatttgc	3180

cactatcc	tc t	tgggcgcgtg	tgaccacgaa	agtagtgcta	tgatgatggt	gcaggtgtat	3240
gacgcgtc	cc t	tttatgagat	atgtggcgcc	atgatcaaga	agaaaagccg	cataacgtac	3300
ttaaccat	gg t	tcacgcccgg	cgagtttctt	gacggacgcg	aatgcgtcta	tatggagtcg	3360
ttagactg	tg a	agattgaggt	tgatgtgcac	gcggacgtcg	taatgtacaa	attcggtagt	3420
tcttgcta	tt (	cgcacaagct	ttcaatcatc	aaggacatca	tgaccactcc	gtacttgaca	3480
ctaggtgg	tt t	ttctattcag	cgtggagatg	tatgaggtgc	gtatgggcgt	gaattacttc	3540
aagattac	ga a	agtccgaagt	atcgcctagc	attagctgca	ccaagctcct	gagatatcga	3600
agagctaa	ta q	gcgacgtggt	taaagttaaa	cttccacgtt	tcgataagaa	acgtcgcatg	3660
tgtctgcc	tg g	ggtatgacac	catataccta	gattcgaagt	ttgtgagtcg	cgttttcgat	3720
tatgtcgt	gt g	gtaattgctc	tgccgtgaac	tcaaaaactt	tcgagtgggt	gtggagtttc	3780
attaagtc	ta q	gcaagtcgag	ggtgattatt	agcggtaaaa	taattcacaa	ggatgtgaat	3840
ttggacct	ca a	agtacgtcga	gagtttcgcc	gcggttatgt	tggcctctgg	cgtgcgcagc	3900
agactagc	gt c	cgagtacct	tgctaagaac	cttagtcatt	tttcgggaga	ttgctccttt	3960
attgaagc	ca c	gtctttcgt	gttgcgtgag	aaaatcagaa	acatgactct	gaattttaac	4020
gaaagactt	tt t	acagttagt	gaagcgcgtt	gcctttgcga	ccttggacgt	gagttttcta	4080
gatttagat	tt c	aactcttga	atcaataact	gattttgccg	agtgtaaggt	agcgattgaa	4140
ctcgacga	gt t	gggttgctt	gagagcggag	gccgagaatg	aaaaaatcag	gaatctagcg	4200
ggagattc	ga t	tgcggctaa	actcgcgagc	gagatagtgg	tcgatattga	ctctaagcct	4260
tcaccgaaq	gc a	ıggtgggtaa	ttcgtcatcc	gaaaacgccg	ataagcggga	agttcagagg	4320
cccggttt	gc g	tggtggttc	taggaacggg	gttgttgggg	agttccttca	cttcgtcgtg	4380
gattctgcc	ct t	gcgtctttt	cagatacgcg	acggatcaac	aacggatcaa	gtcttacgtg	4440
cgtttcttg	gg a	ctcggcggt	ctcattcttg	gattacaact	acgataatct	atcgtttata	4500
ctgcgagtg	gc t	ttcggaagg	ttattcgtgt	atgttcgcgt	ttttggcgaa	tegeggegae	4560
ttatctagt	c g	tgtccgtag	cgcggtgcgt	gctgtgaaag	aagttgctac	ctcatgcgcg	4620
aacgcgago	g t	ttctaaagc	caaggttatg	attaccttcg	cagcggccgt	gtgtgctatg	4680
atgtttaat	a g	ctgcggttt	ttcaggcgac	ggtcgggagt	ataaatcgta	tatacatcgt	4740
tacacgcaa	ag t	attgttcga	cactatcttt	tttgaggaca	gcagttacct	acccatagaa	4800
gttctgagt	t c	ggcgatatg	cggtgctatc	gtcacacttt	tctcctcggg	ctcgtccata	4860
agtttaaac	g c	cttcttact	tcaaattacc	aaaggattct	ccctagaggt	tgtcgtccgg	4920
aatgttgtg	ıc g	agtcacgca	tggtttgagc	accacagcga	ccgacggcgt	catacgtggg	4980
gttttctcc	c a	aattgtgtc	tcacttactt	gttggaaata	ccggtaatgt	ggcttaccag	5040

tcagctttca	ttgccggggt	ggtgcctctt	ttagttaaaa	agtgtgtgag	cttaatcttc	5100
atcttgcgtg	aagatactta	ttccggtttt	attaagcacg	gaatcagtga	attctctttc	5160
cttagtagta	ttctgaagtt	cttgaagggt	aagcttgtgg	acgagttgaa	atcgattatt	5220
caaggggttt	ttgattccaa	caagcacgtg	tttaaagaag	ctactcagga	agcgattcgt	5280
acgacggtca	tgcaagtgcc	tgtcgctgta	gtggatgccc	ttaagagcgc	cgcgggaaaa	5340
atttataaca	attttactag	tcgacgtacc	tttggtaagg	atgaaggctc	ctctagcgac	5400
ggcgcatgtg	aagagtattt	ctcatgcgac	gaaggtgaag	gtccgggtct	gaaagggggt	5460
tccagctatg	gcttctcaat	tttagcgttc	ttttcacgca	ttatgtgggg	agctcgtcgg	5520
cttattgtta	aggtgaagca	tgagtgtttt	gggaaacttt	ttgaatttct	atcgctcaag	5580
cttcacgaat	tcaggactcg	cgtttttggg	aagaatggaa	cggacgtggg	agtttacgat	5640
tttttgccca	cggacatcgt	ggaaacgctc	tcatcgatag	aagagtgcga	ccaaattgaa	5700
gaacttctcg	gcgacgacct	gaaaggtgac	aaggatgctt	cgttgaccga	tatgaattac	5760
tttgagttct	cagaagactt	cttagcctct	gtcgaggagc	cgcctttcgc	tggattgcga	5820
ggaggtagca	agaacgtcgc	gattttggcg	attttggaat	acgtgcataa	tttgtttcgc	5880
attgtcgcaa	gcaagtgttc	gaaacgacct	ttatttcttg	ctttcgccga	actctcaagc	5940
gcccttattg	agaaatttaa	ggaggttttc	cctcgtaaga	gccagctcgt	cgctatcgtg	6000
cgcgagtata	ctcagagatt	cctccgaagt	cgcatgcgtg	cgttgggttt	gaataacgag	6060
ttcgtggtaa	aatctttcgc	cgatttgcta	cccgcattaa	tgaagcggaa	ggtttcaggt	6120
tcgttcttag	ctagtgttta	tcgcccactt	agaggtttct	catatatgtg	tgtttcagcg	6180
gagcgacgtg	aaaagttttt	tgctctcgtg	tgtttaatcg	ggttaagtct	ccctttcttc	6240
gtgcgcatcg	taggagcgaa	agcgtgcgaa	gaactcgtgt	cctcagcgcg	tegeetttat	6300
gagcgtatta	aaatttttct	aaggcagaag	tatgtctctc	tttctaattt	cttttgtcac	6360
ttgtttagct	ctgacgttga	tgacagttcc	gcatctgcag	ggttgaaagg	tggtgcgtcg	6420
cgaatgacgc	tcttccacct	tctggttcgc	cttgctagtg	ccctcctatc	gttagggtgg	6480
gaagggttaa	agctactctt	atcgcaccac	aacttgttat	ttttgtgttt	tgcattggtt	6540
gacgatgtga	acgtccttat	caaagttctt	gggggtcttt	ctttctttgt	gcaaccaatc	6600
ttttccttgt	ttgcggcgat	gcttttacaa	ccggacaggt	ttgtggggta	ttccgagaaa	6660
cttgttacag	cgtttgaatt	tttcttaaaa	tgttcgcctc	gcgcgcctgc	actactcaaa	6720
gggtttttg	agtgcgtggc	gaacagcact	gtgtcaaaaa	ccgttcgaag	acttcttcgt	6780
tatttcgtga	ggatgctcaa	acttcgaaaa	gggcgagggt	tgcgtgcgga	tggtaggggt	6840

ctccatcggc	agaaagccgt	acccgtcata	ccttctaatc	gggtcgtgac	cgacggggtt	6900
gaaagacttt	cggtaaagat	gcaaggagtt	gaagcgttgc	gtaccgaatt	gagaatctta	6960
gaagatttag	attctgccgt	gatcgaaaag	ctcaatagac	gcagaaatcg	tgacactaat	7020
gacgacgaat	ttacgcgccc	tgctcatgag	cagatgcaag	aagtcaccac	tttctgttcg	7080
aaagccaact	ctgctggttt	ggccctggaa	agggcagtgc	ttgtggaaga	cgctataaag	7140
tcggagaaac	tttctaagac	ggttaatgag	atggtgagga	aagggagtac	caccagcgaa	7200
gaagtggccg	tcgctttgtc	ggacgatgaa	gccgtggaag	aaatctctgt	tgctgacgag	7260
cgagacgatt	cgcctaagac	agtcaggata	agcgaatacc	taaataggtt	aaactcaagc	7320
ttcgaattcc	cgaagcctat	tgttgtggac	gacaacaagg	ataccggggg	tctaacgaac	7380
gccgtgaggg	agttttatta	tatgcaagaa	cttgctcttt	tcgaaatcca	cagcaaactg	7440
tgcgcctact	acgatcaact	gcgcatagtc	aatttcgatc	gttccttagc	accatgcagc	7500
gaagatgctc	agctgtacgt	acggaagaac	ggctcaacga	tagtgcaggg	taaagaggta	7560
cgtttgcaca	ttaaggattt	ccacgatcac	gatttcctgt	ttgacggaaa	aatttctatt	7620
aacaagcggc	ggcgaggcgg	aaacgtttta	tatcacgaca	acctcgcgtt	cttggcgagt	7680
aatttgttct	tagccggcta	cccctttca	aggagcttcg	tcttcacgaa	ttcgtcggtc	7740
gatattctcc	tctacgaagc	tccacccgga	ggtggtaaga	cgacgacgct	gattgactcg	7800
ttcttgaagg	tcttcaagaa	aggtgaggtt	tccaccatga	tcttaaccgc	caacaaaagt	7860
tcgcaggttg	agatcctaaa	gaaagtggag	aaggaagtgt	ctaacattga	atgccagaaa	7920
cgtaaagaca	agagatetee	gaaaaagagc	atttacacca	tcgacgctta	tttaatgcat	7980
caccgtggtt	gtgatgcaga	cgttcttttc	atcgatgagt	gtttcatggt	tcatgcgggt	8040
agcgtactag	cttgcattga	gttcacgagg	tgtcataaag	taatgatctt	cggggatagc	8100
cggcagatcc	actacattga	aaggaacgaa	ttggacaagt	gtttgtatgg	ggatctcgac	8160
aggttcgtgg	acctgcagtg	tcgggtttat	ggtaatattt	cgtaccgttg	tccatgggat	8220
gtgtgcgctt	ggttaagcac	agtgtatggc	aacctaatcg	ccaccgtgaa	gggtgaaagc	8280
gaaggtaaga	gcagcatgcg	cattaacgaa	attaattcag	tcgacgattt	agtccccgac	8340
gtgggttcca	cgtttctgtg	tatgcttcag	tcggagaagt	tggaaatcag	caagcacttt	8400
attcgcaagg	gtttgactaa	atttaacgtt	ctaacggtgc	atgaggcgca	aggtgagacg	8460
tatgcgcgtg	tgaaccttgt	gcgacttaag	tttcaggagg	atgaaccctt	taaatctatc	8520
aggcacataa	ccgtcgctct	ttctcgtcac	accgacagct	taacttataa	cgtcttagct	8580
gctcgtcgag	gtgacgccac	ttgcgatgcc	atccagaagg	ctgcggaatt	ggtgaacaag	8640
tttcgcgttt	ttcctacatc	ttttggtggt	agtgttatca	atctcaacgt	gaagaaggac	8700

gtggaagata	acagtaggtg	caaggetteg	tcggcaccat	tgagcgtaat	caacgacttt	8760
ttgaacgaag	ttaatcccgg	tactgcggtg	attgattttg	gtgatttgtc	cgcggacttc	8820
agtactgggc	cttttgagtg	cggtgccagc	ggtattgtgg	tgcgggacaa	catctcctcc	8880
agcaacatca	ctgatcacga	taagcagcgt	gtttagcgta	gttcggtcgc	aagcgattcc	8940
gcgtagaaaa	ccttctctac	aagaaaa <b>t</b> tt	gtattcgttt	gaagcgcgga	attataactt	9000
ctcgacttgc	gaccgttaca	catctgcttc	aatgttcgga	gaggctatgg	cgatgaactg	9060
tcttcgtcgt	tgcttcgacc	tagatgcctt	ttcgtccctg	cgtaatgatg	tgattagtat	9120
cacacgttca	ggcatcgaac	aatggctgga	gaaacgtact	cctagtcaga	ttaaagcatt	9180
aatgaaggat	gttgaatcgc	ctttggaaat	tgacgatgaa	atttgtcgtt	ttaagttgat	9240
ggtgaagcgt	gacgctaagg	tgaagttaga	ctcttcttgt	ttaactaaac	acagccccgc	9300
tcaaaatatc	atgtttcatc	gcaagagcat	taatgctatc	ttctctccta	tctttaatga	9360
ggtgaaaaac	cgaataatgt	gctgtcttaa	gcctaacata	aagttttta	cggagatgac	9420
taacagggat	tttgcttctg	ttgtcagcaa	catgcttggt	gacgacgatg	tgtaccatat	9480
aggtgaagtt	gatttctcaa	agtacgacaa	gtctcaagat	gctttcgtga	aggcttttga	9540
agaagtgatg	tataaggaac	tcggtgttga	tgaagagttg	ctggctatct	ggatgtgcgg	9600
cgagcggtta	tcgatagcta	acactctcga	tggtcagttg	tccttcacga	tcgagaatca	9660
aaggaagtcg	ggagcttcga	acacttggat	tggtaactct	ctcgtcactt	tgggtatttt	9720
aagtctttac	tacgacgtta	gaaatttcga	ggcgttgtac	atctcgggcg	atgattcttt	9780
aattttttct	cgcagcgaga	tttcgaatta	tgccgacgac	atatgcactg	acatgggttt	9840
tgagacaaaa	tttatgtccc	caagtgtccc	gtacttttgt	tctaaatttg	ttgttatgtg	9900
tggtcataag	acgtttttg	ttcccgaccc	gtacaagctt	ttcgtcaagt	tgggagcagt	9960
caaagaggat	gtttcaatgg	atttcctttt	cgagactttt	acctccttta	aagacttaac	10020
ctccgatttt	aacgacgagc	gcttaattca	aaagctcgct	gaacttgtgg	ctttaaaata	10080
tgaggttcaa	accggcaata	ccaccttggc	gttaagtgtg	atacattgtt	tgcgttcgaa	10140
tttcctctcg	tttagcaagt	tgtatcctcg	cgtgaaggga	tggcaggttt	tttacacgtc	10200
ggttaagaaa	gcgcttctca	agagtgggtg	ttctctcttc	gacagtttca	tgaccccttt	10260
tggtcaggct	gtcatggttt	gggatgatga	gtagcgctaa	cttgtgcgca	gtttctttgt	10320
tcgtgacata	caccttgtgt	gtcaccgtgc	gtttataatg	aatcaggttt	tgcagtttga	10380
atgtttgttt	ctgctgaatc	tcgcggtttt	tgctgtgact	ttcattttca	ttcttctggt	10440
cttccgcgtg	attaagtctt	ttcgccagaa	gggtcacgaa	gcacctgttc	ccgttgttcg	10500

tggcgggggt	ttttcaaccg	tagtgtagtc	aaaagacgcg	catatggtag	ttttcggttt	10560
ggactttggc	accacattct	ctacggtgtg	tgtgtacaag	gatggacgag	ttttttcatt	10620
caagcagaat	aattcggcgt	acatccccac	ttacctctat	ctcttctccg	attctaacca	10680
catgactttt	ggttacgagg	ccgaatcact	gatgagtaat	ctgaaagtta	aaggttcgtt	10740
ttatagagat	ttaaaacgtt	gggtgggttg	cgattcgagt	aacctcgacg	cgtaccttga	10800
ccgtttaaaa	cctcattact	cggtccgctt	ggttaagatc	ggctctggct	tgaacgaaac	10860
tgtttcaatt	ggaaacttcg	ggggcactgt	taagtctgag	gctcatctgc	cagggttgat	10920
agctctcttt	attaaggctg	tcattagttg	cgcggagggc	gcgtttgcgt	gcacttgcac	10980
cggggttatt	tgttcagtac	ctgccaatta	tgatagcgtt	caaaggaatt	tcactgatca	11040
gtgtgtttca	ctcagcggtt	atcagtgcgt	atatatgatc	aatgaacctt	cagcggctgc	11100
gctatctgcg	tgtaattcgg	ttggaaagaa	gtccgcaaat	ttggctgttt	acgatttcgg	11160
tggtgggacc	ttcgacgtgt	ctatcatttc	ataccgcaac	aatacttttg	ttgtgcgagc	11220
ttctggaggc	gatctaaatc	tcggtggaag	ggatgttgat	cgtgcgtttc	tcacgcacct	11280
cttctcttta	acatcgctgg	aacctgacct	cactttggat	gtctcgaatc	tgaaagaatc	11340
tttatcaaaa	acggacgcag	agatagttta	cactttgaga	ggtgtcgatg	gaagaaaaga	11400
agacgttaga	gtaaacaaaa	acattettae	gtcggtgatg	ctcccctacg	tgaacagaac	11460
gcttaagata	ttagagtcaa	ccttaaaatc	gtatgctaag	agtatgaatg	tgagtgcgcg	11520
agttaagtgc	gatttagtgc	tgataggagg	atcttcatat	cttcctggcc	tggcagacgt	11580
actaacgaag	catcagagcg	ttgatcgtat	cttaagagtt	tcggatcctc	gggctgccgt	11640
ggccgtcggt	tgcgcattat	attcttcatg	cctctcagga	tctggggggt	tgctactgat	11700
cgactgtgca	gctcacactg	tcgctatagc	ggacagaagt	tgtcatcaaa	tcatttgcgc	11760
tccagcgggg	gcaccgatcc	ccttttcagg	aagcatgcct	ttgtacttag	ccagggtcaa	11820
caagaactcg	cagcgtgaag	tcgccgtgtt	tgaaggggag	tacgttaaat	gccctaagaa	11880
cagaaagatc	tgtggagcaa	atataagatt	ttttgatata	ggagtgacgg	gtgattcgta	11940
cgcacccgtt	accttctata	tggatttctc	catttcaagc	gtaggagccg	tttcattcgt	12000
ggtgagaggt	cctgagggta	agcaagtgtc	actcactgga	actccagcgt	ataacttttc	12060
gtctgtggct	ctcggatcac	gcagtgtccg	agaattgcat	attagtttaa	ataataaagt	12120
ttttctcggt	ttgcttctac	atagaaaggc	ggatcgacga	atacttttca	ctaaggatga	12180
agcgattcga	tacgccgatt	caattgatat	cgcggatgtg	ctaaaggaat	ataaaagtta	12240
cgcggccagt	gccttaccac	cagacgagga	tgtcgaatta	ctcctgggaa	agtc <b>t</b> gttca	12300
aaaagtttta	cggggaagca	gactggaaga	aatacctctc	taggagcata	gcagcacact	12360

caagtgaaat	taaaactcta	ccagacattc	gattgtacgg	cggtagggtt	gtaaagaagt	12420
ccgatttcga	atcagcactt	cctaattctt	ttgaacagga	attaggactg	ttcatactga	12480
gcgaacggga	agtgggatgg	agcaaattat	gcggaataac	ggtggaagaa	gcagcatacg	12540
atcttacgaa	tcccaaggct	tataaattca	ctgccgagac	atgtagcccg	gatgtaaaag	12600
gtgaaggaca	aaaatactct	atggaagacg	tgatgaattt	catgcgttta	tcaaatctgg	12660
atgttaacga	caagatgctg	gcggaacagt	gttggtcgct	gtccaattca	tgcggtgaat	12720
tgatcaaccc	agacgacaaa	gggcgattcg	tggctctcac	ctttaaggac	agagacacag	12780
ctgatgacac	gggtgccgcc	aacgtggaat	gtcgcgtggg	cgactatcta	gtttacgcta	12840
tgtccctgtt	tgagcagagg	acccaaaaat	cgcagtctgg	caacatctct	ctgtacgaaa	12900
agtactgcga	atatatcagg	acctacttag	ggagtacgga	cctgttttc	acagcgccgg	12960
acaggattcc	gttacttacg	ggcatcctgt	acgatttttg	taaggaatac	aacattttct	13020
actcgtcata	taagagaaac	gtcgataatt	tcagattctt	cttggcaaat	tatatgcctt	13080
tgatatctga	cgtctttgtc	ttccagtggg	taaaacccgc	gccggatgtt	cggctgcttt	13140
ttgagttaag	tgcagcggaa	ctaacgctgg	aggttcccac	actgagtttg	atagattctc	13200
aagttgtggt	aggccatatc	ttaagatacg	tagaatccta	cacatcagat	ccagccatcg	13260
acgcgttaga	agacaaactg	gaagcgatac	tgaaaagtag	caatccccgt	ctatcgacag	13320
cgcaactatg	ggttggtttc	ttttgttact	atggtgagtt	tcgtacggct	caaagtagag	13380
tagtgcaaag	accaggcgta	tacaaaacac	ctgactcagt	gggtggattt	gaaataaaca	13440
tgaaagatgt	tgagaaattc	ttcgataaac	ttcagagaga	attgcctaat	gtatctttgc	13500
ggcgtcagtt	taacggagct	agagcgcatg	aggctttcaa	aatatttaaa	aacggaaata	13560
taagtttcag	acctatatcg	cgtttaaacg	tgcccagaga	gttctggtat	ctgaacatag	13620
actacttcag	gcacgcgaat	aggtccgggt	taaccgaaga	agaaatactc	atcctaaaca	13680
acataagcgt	tgatgttagg	aagttatgcg	ctgagagagc	gtgcaatacc	ctacctagcg	13740
cgaagcgctt	tagtaaaaat	cataagagta	atatacaatc	atcacgccaa	gagcggagga	13800
ttaaagaccc	attggtagtc	ctgaaagaca	ctttatatga	gttccaacac	aagcgtgccg	13860
gttgggggtc	tcgaagcact	cgagacctcg	ggagtcgtgc	tgaccacgcg	aaaggaagcg	13920
gttgataagt	ttttcaatga	actaaaaaac	gaaaattact	catcagttga	cagcagccga	13980
ttaagcgatt	cggaagtaaa	agaagtgtta	gagaaaagta	aagaaagttt	caaaagcgaa	14040
ctggcctcca	ctgacgagca	cttcgtctac	cacattatat	ttttcttaat	ccgatgtgct	14100
aagatatcga	cgagtgaaaa	ggtgaagtac	gttggtagtc	atacgtacgt	ggtcgacgga	14160

aaaacgtaca	ccgttcttga	cgcttgggta	ttcaacatga	tgaaaagtct	cacgaagaag	14220
tacaaacgag	tgaatggtct	gcgtgcgttc	tgttgcgcgt	gcgaagatct	atatctaacc	14280
gtcgcaccaa	taatgtcaga	acgctttaag	actaaagccg	tagggatgaa	aggtttgcct	14340
gttggaaagg	aatacttagg	cgccgacttt	ctttcgggaa	ctagcaaact	gatgagcgat	14400
cacgacaggg	cggtctccat	cgttgcagcg	aaaaacgctg	tcgatcgtag	cgctttcacg	14460
ggtggggaga	gaaagatagt	tagtttgtat	gatctaggga	ggtactaagc	acggtgtgct	14520
atagtgcgtg	ctataataat	aaacactagt	gcttaagtcg	cgcagaagaa	aacgcttaat	14580
taacaatgaa	gactaatctt	tttctctttc	tcatcttttc	acttctccta	tcattatcct	14640
cggccgaatt	cagtaaagga	gaagaacttt	tcactggagt	tgtcccaatt	cttgttgaat	14700
tagatggtga	tgttaatggg	cacaaatttt	ctgtcagtgg	agagggtgaa	ggtgatgcaa	14760
catacggaaa	acttaccctt	aaatttattt	gcactactgg	aaaactacct	gttccatggc	14820
caacacttgt	cactactttc	tcttatggtg	ttcaatgctt	ttcaagatac	ccagatcata	14880
tgaagcggca	cgacttcttc	aagagcgcca	tgcctgaggg	atacgtgcag	gagaggacca	14940
tcttcttcaa	ggacgacggg	aactacaaga	cacgtgctga	agtcaagttt	gagggagaca	15000
ccctcgtcaa	caggatcgag	cttaagggaa	tcgatttcaa	ggaggacgga	aacatcctcg	15060
gccacaagtt	ggaatacaac	tacaactccc	acaacgtata	catcatggcc	gacaagcaaa	15120
agaacggcat	caaagccaac	ttcaagaccc	gccacaacat	cgaagacggc	ggcgtgcaac	15180
tcgctgatca	ttatcaacaa	aatactccaa	ttggcgatgg	ccctgtcctt	ttaccagaca	15240
accattacct	gtccacacaa	tctgcccttt	cgaaagatcc	caacgaaaag	agagaccaca	15300
tggtccttct	tgagtttgta	acagctgctg	ggattacaca	tggcatggat	gaactataca	15360
aacatgatga	gctttaggcc	ggcctaaact	gttcctgaat	agaaccattg	gcaaacgtgg	15420
gatcccgtca	gggtatgagt	tcctcggggc	agattttcta	actgcgacca	gcgtgtgttt	15480
gaacgatcac	gaaaaagcta	tcgtactaca	ggcctcaaga	gctgccattg	atagagcagt	15540
ctcttcgtcg	gtcgacggga	agatcgtcag	tcttttcgac	ctcggtcgtc	ttagttaaca	15600
cagttactaa	ggttccattt	tattattgca	ttgtttttca	tttagtgtaa	tcgtacttga	15660
gttctaatcc	tgcaggctat	ggagttgatg	tccgacagca	accttagcaa	cctggtgata	15720
accgacgcct	ctagtctaaa	tggtgtcgac	aagaagcttt	tatctgctga	agttgtaaaa	15780
atgttggtgc	agaaaggggc	tcctaacgag	ggtatagaag	tggtgttcgg	tctactcctt	15840
tacgcactcg	cggcaagaac	cacgtctcct	aaggttcagc	gcgcagattc	agacgttata	15900
ttttcaaata	gtttcggaga	gaggaatgtg	gtagtaacag	agggtgacct	taagaaggta	15960
ctcgacgggt	gtgcgcctct	cactaggttc	actaataaac	ttagaacgtt	cggtcgtact	16020

ttcactgagg	cttacgttga	cttttgtatc	gcgtataagc	acaaattacc	ccaactcaac	16080
gctgcggcgg	aattggggat	tccagctgaa	gattcgtact	tagctgcaga	ttttctgggt	16140
acttgcccga	agctctctga	attacagcaa	agtaggaaga	tgttcgcgag	tatgtacgct	16200
cttaaaactg	aaggtggagt	ggtaaatacg	ccagtgagca	atctgcgtca	gctaggtaga	16260
agggaagtta	tgtaatggaa	gattacgaag	aaaaatccga	atcgctcata	ctgctacgca	16320
cgaatctgaa	cactatgctt	ttagtggtca	agtccgatgc	tagtgtagag	ctgcctaaac	16380
tactaatttg	cggttactta	cgagtgtcag	gacgtgggga	ggtgacgtgt	tgcaaccgtg	16440
aggaattaac	aagagatttt	gagggcaatc	atcatacggt	gatccgttct	agaatcatac	16500
aatatgacag	cgagtctgct	tttgaggaat	tcaacaactc	tgattgcgta	gtgaagtttt	16560
tcctagagac	tggtagtgtc	ttttggtttt	tccttcgaag	tgaaaccaaa	ggtagagcgg	16620
tgcgacattt	gcgcaccttc	ttcgaagcta	acaatttctt	ctttggatcg	cattgcggta	16680
ccatggagta	ttgtttgaag	caggtactaa	ctgaaactga	atctataatc	gattctttt	16740
gcgaagaaag	aaatcgttaa	gatgagggtt	atagtgtctc	cttatgaagc	tgaagacatt	16800
ctgaaaagat	cgactgacat	gttacgaaac	atagacagtg	gggtcttgag	cactaaagaa	16860
tgtatcaagg	cattctcgac	gataacgcga	gacctacatt	gtgcgaaggc	ttcctaccag	16920
tggggtgttg	acactgggtt	atatcagcgt	aattgcgctg	aaaaacgttt	aattgacacg	16980
gtggagtcaa	acatacggtt	ggctcaacct	ctcgtgcgtg	aaaaagtggc	ggttcatttt	17040
tgtaaggatg	aaccaaaaga	gctagtagca	ttcatcacgc	gaaagtacgt	ggaactcacg	17100
ggcgtgggag	tgagagaagc	ggtgaagagg	gaaatgcgct	ctcttaccaa	aacagtttta	17160
aataaaatgt	ctttggaaat	ggcgttttac	atgtcaccac	gagcgtggaa	aaacgctgaa	17220
tggttagaac	taaaattttc	acctgtgaaa	atctttagag	atctgctatt	agacgtggaa	17280
acgctcaacg	aattgtgcgc	cgaagatgat	gttcacgtcg	acaaagtaaa	tgagaatggg	17340
gacgaaaatc	acgacctcga	actccaagac	gaatgttaaa	cattggttaa	gtttaacgaa	17400
aatgattagt	aaataataaa	tcgaacgtgg	gtgtatctac	ctgacgtatc	aacttaagct	17460
gttactgagt	aattaaacca	acaagtgttg	gtgtaatgtg	tatgttgatg	tagagaaaaa	17520
tccgtttgta	gaacggtgtt	tttctcttct	ttatttttaa	aaaaaaataa	aaaaaaaaa	17580
aaagaagc						17588

<210>8 <211> 1276 5 <212> ADN <213> V. vinifera

<400> 8

attttttta	attaataaaa	tattttcttc	cattaatttg	atattataaa	tatataacta	60
attttcatat	ggacaattca	tttaaatttt	aaaaaaatta	ttcaatttta	aaattttat	120
accagttata	attttcttaa	acaaatgatg	actttatggt	agttggatga	agttcacatt	180
tgtggaaaca	taaaaaacag	ttaagaaaac	acacaaaaaa	ggaaaagaca	acatgaaaaa	240
taatctatta	tttgaatagt	gaaaaaaaat	aatgaaaaca	catttttatt	gttctaaaaa	300
aagtgatttt	tgaaaacaca	aaaaatacaa	aaaaaaaaa	aatcatactt	cctttctcaa	360
acaagtttt	tgtattttt	attttttcaa	gaacagaaaa	cattgaaaac	accaccaaac	420
aaccctttgt	ttcttaagag	aagggtaata	tggtaaactt	gaaacgttag	gacggttggt	480
ggggtatcta	taattgaagt	aaacgtcctg	aagtgcagtt	caccacaaat	aaatacatcc	540
t <b>g</b> tatta <b>t</b> ta	tttatatata	tatatatata	aaaacctgaa	ttatgtataa	ataattaata	600
gcaaaatttt	tgaaccgaca	aaaataaaat	gatgctccat	tgtctcgtat	tctttttctt	660
gcttctttat	aaacacgcat	atgtaatatt	tcttttattg	aaaaaaaccc	ccttagggag	720
agcgtgtctg	tacttttgtt	tatttaccca	tttataaact	gtgtggtatt	aaaaggatta	780
accattagta	ttttgtacta	atagaggttt	aataattttg	taattgtaaa	aatatatact	840
tattttatta	aaaatatagc	tatcatcaca	tgaattaata	atttaagatt	aggggtccca	900
tttttgaaga	aaaataaatg	gtgagagtac	aacagaacag	aagtttgaat	aataataata	960
agaaaaaata	aaatgcgtgg	aaaggagtca	acgaggcaga	gtaaaagcgg	tctaaaaatg	1020
ggaaatggga	tttattacaa	ttgggaacgt	gtcgaaatga	tgagttgaac	ttgcacaagt	1080
gtaaggcagc	gtccaaattg	cggataaggc	cgatcctccc	aacttcactc	tataaagacc	1140
cccattttgc	attcatctcc	ccgcagactc	actcctcact	cttccttctt	ctttctcaca	1200
aacaacacag	aggagaaaat	ccatttagat	ttagtggaag	aagaggcata	cagtaaaaaa	1260
aaataattag	cctatg					1276

<210>9 <211> 2908 5 <212> ADN <213> V. vinifera

<220>
 <221> misc\_feature
10 <222> (728)..(739)
 <223> n es a, c, g o t

<400> 9

catggaatgt aaagtaattt ttattttaaa taaatataaa aaaattgaaa aataatattt 60 catttttata ttattttaca aattaaattt aagcatcaca taaaatgtct tattagatat 120

15

ataataggaa	aacataatgg	aaaataattt	gttttgagta	aatatcatcg	tcatagaaga	180
cattaaatgg	aaagcatttc	ttttttatct	tcacacattt	tcgaggcatg	cttggcggat.	240
gggaaaattt	gaggtggttt	tccatgttca	aaacgttgag	aaactctagg	aacaccaaac	300
tatataaaag	gcaaaaggtt	agaaaatgga	ttgaaattcg	attcggaaaa	aatcaagggg	360
gatttttcta	gttttccttg	tgataggccc	tccaatcaag	gaaaatttgt	ctagattaag	420
gagaattcat	ggaagatgag	aaaattatgg	tgtttggcta	tacgattagc	ccacaactta	480
gcctatgttt	gtttcttaaa	atacttgaaa	gaaattacaa	aataaaaata	aaaaaagact	540
taaaattaat	aaaattattt	ttatttcaaa	ttcattttac	tttttttat	ataaaaaatt	600
aataatttaa	aatacataat	tttaattata	tttacctttt	tttttatata	ttttttcata	660
ataaaccaaa	tatataaaaa	caaaatcagt	ttttgaacaa	tttttttact	taaaaaaatg	720
ataaaaannn	nnnnnnnna	gaagtgttta	gtatttttac	ttaaaataaa	tttattttat	780
ttttaaattc	atgtattata	acttatcaca	ttttaaaaaa	tgatttttta	tttgtatagt	840
atatagtaaa	gataatttaa	aattgctctt	tctttaaaaa	ataaaaaaaa	taaaaaaata	900
aaaaataaaa	acaataaaaa	ttaatgatgc	attacaacta	actactccaa	aaaaaaaaa	960
aaaaaaaaa	aagtaaagaa	taaaaagttc	aagcttggtt	ccatccatgc	tttcgtgcat	1020
gcaccactct	ttaaacaagg	cgccaccgtt	aattcatacc	aatttttaaa	tccaaaaaaa	1080
aataataata	ataaataaat	aaagaaggtc	aacatgttca	ttatttattc	gatttataat	1140
agttagagag	agagatggcc	gattgcatta	gtgtttctgg	ggcggaggac	cacgcctcta	1200
ttattgaaca	aaaacaatca	cttttaggct	gtcaggtaag	aaactttact	tatttattta	1260
tttaattttt	cattattggt	gggtcccacc	taaaatttaa	agtcaatcat	tttttaataa	1320
aaaattttat	taataattaa	agaggtgtgt	atttttagcc	ttttttatac	ccttgacccc	1380
ccacttttca	atctgcccct	ttttctcctc	tctttctttt	ttttttttt	aaaaatatta	1440
ttttctttt	tttttttt	attttttta	aaaatctttt	tatacattca	aaattttaa	1500
aaaatatttt	aaaaactatt	ctcaaaaaag	atttttataa	tatttcaaaa	gtttgtttaa	1560
aattaaaatt	ttttttaatt	ttttttata	tttaaatatt	tttttatttg	tttatatttt	1620
tgtttttaaa	aaagaaagtt	catttatgaa	aatcttaagt	agtttttata	ctaaacactt	1680
cttttaaatc	tatgctcttt	aaacctctat	atatatatat	atatatatat	atatatatat	1740
aatatatata	tttttttat	catattttaa	taaaaatatc	tttattcttt	ttacaataaa	1800
actaataatt	tcttttaaat	cataaatata	aatgttgaaa	taattaaaat	atttatgtca	1860
aaaataaatt	atttttcaag	taaaaatatg	aaaaagttta	aattcataat	tacgaggatt	1920

atttcgtctt	tttaagtata	cgtggaaagt	tcattgtcac	gtgacataaa	cattatcatt	1980
tatcatataa	ttgtaaaaca	aaacctcatc	ttcaggcgtt	aaacttgacg	tccatggcaa	2040
gccgttatat	tttgcaacgg	tccaagacgc	gacacgtttg	ggacggcgtg	aaggtaacag	2100
caaacacaaa	ttaaaatttc	ctttcacatt	gacgtgccgt	acccattatt	tcttgaattt	2160
tcacataatt	aattttcacc	gtcaatttag	taatttcctt	tttattttct	tttcattttc	2220
taaaaaaaaa	aaaatcatta	gtatataaaa	acttttatgc	aataatccgc	tatcttcact	2280
cgaatttaaa	gtttagtata	taataatatt	aaattataaa	attttcaaaa	gctcattaat	2340
tgttaaattt	atgattaaaa	gtgggtatta	attttacaaa	acacttttaa	tctaaaaaat	2400
tagtttagaa	aaaagtcaaa	tgtttgataa	attttaggaa	cgcttttcaa	acaaatattt	2460
atgattttac	aatttttcta	aaaatactag	aaaaaataac	atttttacta	aaaacattaa	2520
tgggcgcagt	ctaataaata	ttatgacacc	tacactaact	tttttaaaat	ttgttattaa	2580
tttatggtat	tcaaagaaaa	attgataagt	tggtgtggaa	atagtgattt	cctaaaatga	2640
atgatgaagg	ggtggagatt	ataactggag	tgaagaacat	ccggcggaat	atggagecea	2700
caggggaggg	cgggattgga	acggtataaa	tgaaggcatt	gaggga <mark>gagg</mark>	gagagacgcc	2760
ttcctcattg	tcgaccttga	ttttcttggg	agactcaata	ctcatacatt	gaatgagtgt	2820
ctccactatt	ctctgattct	tttctggttc	ttctttcatc	tcttcatctc	cttcattgtt	2880
gtactgcgtc	cctctgctgc	cagatatg				2908

<210> 10 <211> 2107 5 <212> ADN <213> V. vinifera

<400> 10

aataaattta tttaatttaa tatttttaa aaataaattt atttaattta atatttaaaa 60 120 aaatatttta atttaatatt tttttaaata ctttaattta atttaatatt tttgaaaact 180 attttataaa atatttata tgtgttctta aatggtatat ttgtcaatta ctatttcatg 240 tccttcaact caatttgaag agttatatgg atcttttgtt aatttgggac cgtctaaccc 300 taaaagataa ttctcccgat ttttattagg tatattaaga ttttatcaga aaatgtattt 360 gggaatcggg tggaggaggc acacgtgggg tggctataac cgtacgaggg gttcaaggac 420 taagggcgcg aaaacccatc acctttccac gcaatagaaa gatgcgtcaa agacaatggg 480 540 agccgtagaa aaaaaccagg gcgacaatgg tttcagagga gtaaacccat caaatagtaa 600 ttgaaaaaac aaatggtcat tacaagaaaa aggaattttg gaacaaaaag gaattttgga

10

```
agaaaaagga agaggagacg gtggatacag gaggagaaaa gatgaataaa attataatqq
                                                                        660
gggttgggta tagagaaagc ggtgatggtg aaaagcggtt ttgtgaaagg tacagtgaaa
                                                                        720
ccatgggaag atgcggatgt gtgagccatt atgacatttt cqcggaaaca gagqccccat
                                                                        780
tctcaaatca aaggacgact aatgaggatt gtgaaggctt tctactggta tataagggta
                                                                        840
tocaaggett tettttacca ceacceatt tgegtttget tetecatttg atetettegt
                                                                        900
tegtteette ttteattttg atttetete ettgetegge attettette ttettettet
                                                                        960
tottggttot cocctoccac cgcaccocat ttoattttto tagotttgco tttcaaaggt
                                                                       1020
atgtgttgtt tctgttactt ttctgcatag catttctgta atacaaatgc gtttttgtcc
                                                                       1080
aatgogotoa googttgaat gtgatooogt qaaaqacaqt acctaaaaaq tottqottqt
                                                                       1140
tataatgccc accagcaaag gagaaggccc acctttgcct qtacctgcta aattttccaa
                                                                       1200
atotocacco accgcctaag ctttcatctt tocatttttc tocttccaaa cggctctacc
                                                                       1260
tttcttgggt tttacggcta tgtatggggt ttcttaaggg ctacggcctg tccatqcatq
                                                                       1320
ggttagccta gaattttctt ttatggaaaa gtatttttta ttttatttac ttctqtcttq
                                                                       1380
gcatgttatt ttggtgcagg ggattttgtc tgtaattaga aaaatcacct cccataagct
                                                                       1440
ttgatccttt attttgtgcg aggataaggg gaacatattt tcaacttgat ttctcccacc
                                                                       1500
aaccctgtgt tgcttacatc caccattctg qtctttctat aaatttccca cqtttcttcc
                                                                       1560
attectetat etectiteat titteatiet etagitigati gigateaact eacetettet
                                                                       1620
ctaggtactc ctccccctct ctgttttctg aagatctcag tctgatcttc tcttcttctt
                                                                       1680
ctcttcctcc tectectect ettettette teettettet tettettett ceettttatg
                                                                       1740
tttgttttca gtgtttcagc ttctgtttca ggtgatattg ctctaaattt tttcatctcc
                                                                       1800
cagttttggg tttggtagct gtaggtttcc gttgtcaaac agaattagat cttatgatag
                                                                       1860
cttaatagtc tttgcattat ttattagagt tgattttagt tcaacaacat actagatttt
                                                                       1920
atattattat tgataagtgt gaggtgtcca attttgaaat ttaaaccttt ctagatggtg
                                                                       1980
gaatgctggt tggtcttgac tttcttctca ataagaagct ttggatgatt ttgatctgtt
                                                                       2040
agttacagtt gtttctctta cgttgaaggt tgtctgaaat taggtaagaa cccagagagg
                                                                      2100
agacatg
                                                                       2107
```

```
<210> 11
<211>9
5 <212> PRT
<213> Secuencia artificial
```

10

12 TOP OCCUCITION AITHIOM

<223> Marcador de epítopo de hemaglutinina <400> 11

> Tyr Pro Tyr Asp Val Pro Asp Tyr Ala 1 5

#### **REIVINDICACIONES**

- 1. Un vector de transferencia génica de plantas para silenciamiento génico inducido por virus, comprendiendo el vector un ácido nucleico que codifica:
  - a) genes virales de virus asociado con el enrollamiento de la vid 2 (LR-2) que comprenden metiltransferasa, ARN helicasa y ARN polimerasa dependiente de ARN;
  - b) un supresor de ARNi;

5

30

50

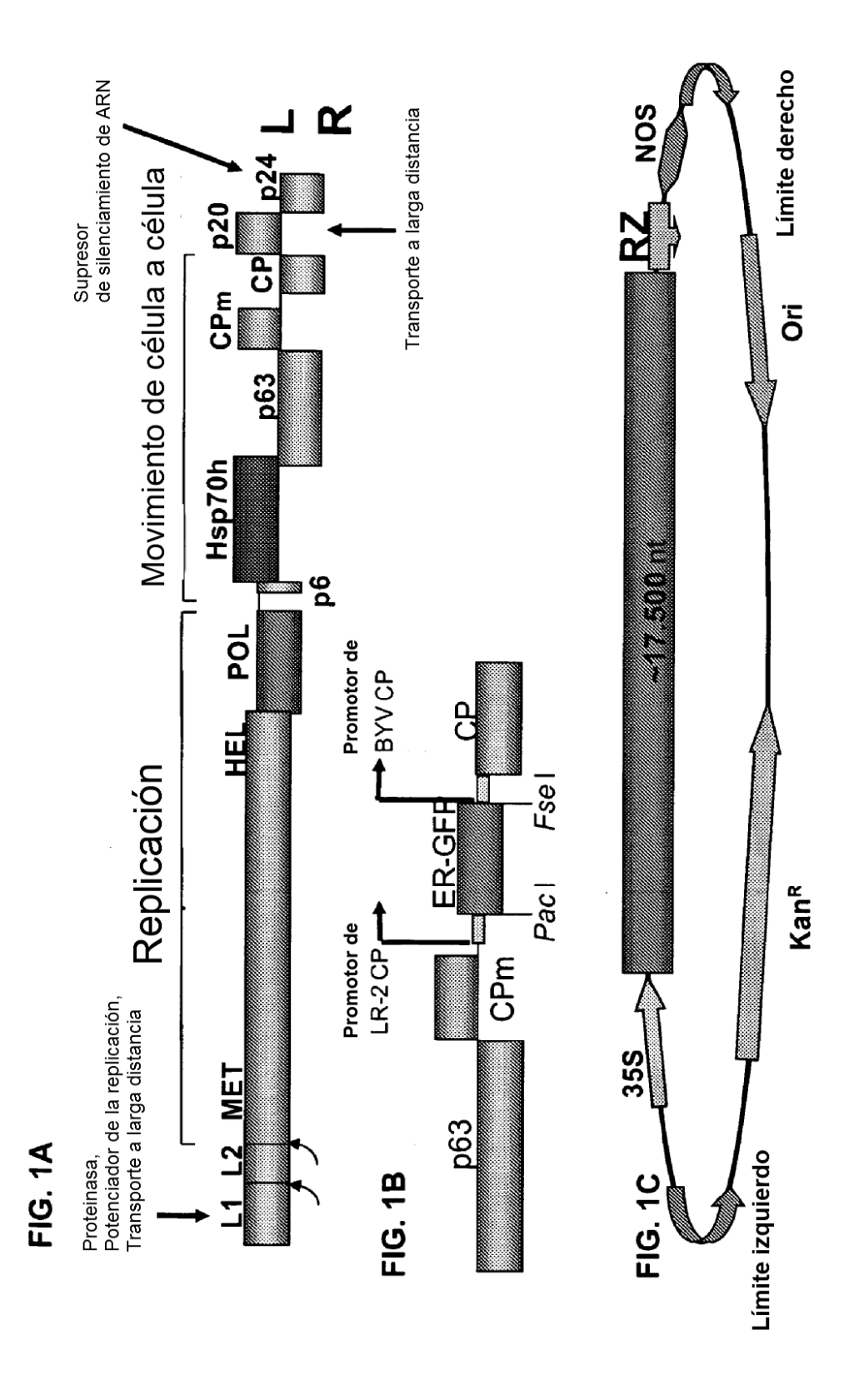
55

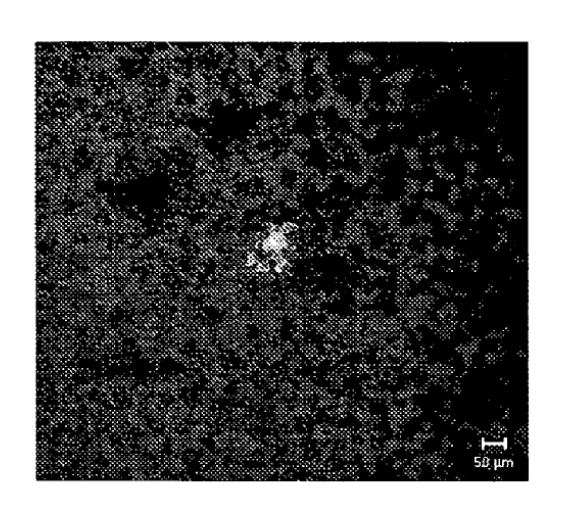
- c) proteasas líder L1 y/o L2; y
- d) un polinucleótido heterólogo unido operativamente a un promotor, en el que el polinucleótido heterólogo se expresa en una célula vegetal,

en donde el vector de transferencia génica de plantas es competente para replicación y capaz de replicar de forma infecciosa en la célula vegetal, y el ácido nucleico codifica las proteasas líder L1 y L2, o

- en donde el vector de transferencia génica de plantas replica de forma condicionada y en donde al menos una proteasa líder seleccionada de L1 y L2 está inactivada de modo que el vector no pueda replicarse de forma infecciosa independientemente.
- 2. El vector de la reivindicación 1, que comprende además genes virales del virus asociado con el enrollamiento de la vid 2 (LR-2) que están implicados en el ensamblaje de viriones y/o el transporte dentro de plantas.
  - 3. El vector de la reivindicación 2, en el que los genes virales se seleccionan del grupo que consiste en p6, Hsp70h, p63, CPm, CP y p19 del virus asociado con el enrollamiento de la vid 2 (LR-2).
- 4. El vector de una cualquiera de las reivindicaciones 1-3, en el que el polinucleótido heterólogo codifica uno o más de una molécula indicadora, un marcador seleccionable o un gen terapéutico.
  - 5. El vector de la reivindicación 4, en el que el gen terapéutico es antifúngico, antibacteriano, antiviral o un modificador del sabor.
  - 6. El vector de la reivindicación 5, en el que el gen terapéutico es para el tratamiento de la enfermedad de Pierce o del oídio.
- 7. El vector de la reivindicación 6, en el que el gen terapéutico es un polinucleótido que desencadena el silenciamiento génico inducido por virus, un polinucleótido *Run1*, o codifica un polipéptido de lisozima.
  - 8. El vector de la reivindicación 1, en el que las proteasas L1 y L2 son de LR-2.
- 9. El vector de la reivindicación 1, en el que el vector de transferencia génica de plantas es competente para replicación y capaz de replicar de forma infecciosa en la célula vegetal y el ácido nucleico codifica las proteasas líder L1 y L2, y en donde la proteasa L1 tiene la secuencia de aminoácidos mostrada en SEC ID Nº: 4.
- 10. El vector de la reivindicación 1, en el que el vector de transferencia génica de plantas es competente para replicación y capaz de replicar de forma infecciosa en la célula vegetal y el ácido nucleico codifica las proteasas líder L1 y L2, y en donde la proteasa L2 tiene la secuencia de aminoácidos mostrada en SEC ID Nº: 6.
  - 11. El vector de la reivindicación 1, en el que el vector de transferencia génica de plantas replica de forma condicionada y en donde al menos una proteasa líder seleccionada de L1 y L2 está inactivada de modo que el vector no puede replicar de forma infecciosa independientemente, en donde la proteasa líder inactivada se selecciona de L1, L2 o tanto L1 como L2.
    - 12. El vector de la reivindicación 1, en el que el supresor de supresor de ARNi es LR-2 p24.
    - 13. El vector de la reivindicación 1, en el que el supresor de ARNi es virus del amarilleo de la remolacha p21.
    - 14. Una célula vegetal que comprende el vector de una cualquiera de las reivindicaciones 1-13.
    - 15. Una planta que comprende el vector de una cualquiera de las reivindicaciones 1-13.
- 60 16. Un método para expresar un gen heterólogo en una célula vegetal que comprende introducir en la célula vegetal el vector de una cualquiera de las reivindicaciones 1-13.
  - 17. El método de la reivindicación 16, en el que introducir el vector en la célula vegetal comprende agroinoculación.
- 18. El método de la reivindicación 17, que comprende además injertar una parte de una planta que comprende la célula vegetal que comprende el vector en una parte de una planta que no comprende el vector.

67





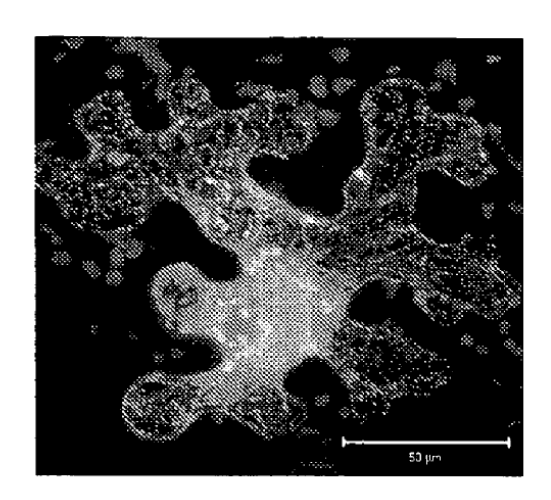


FIG. 2

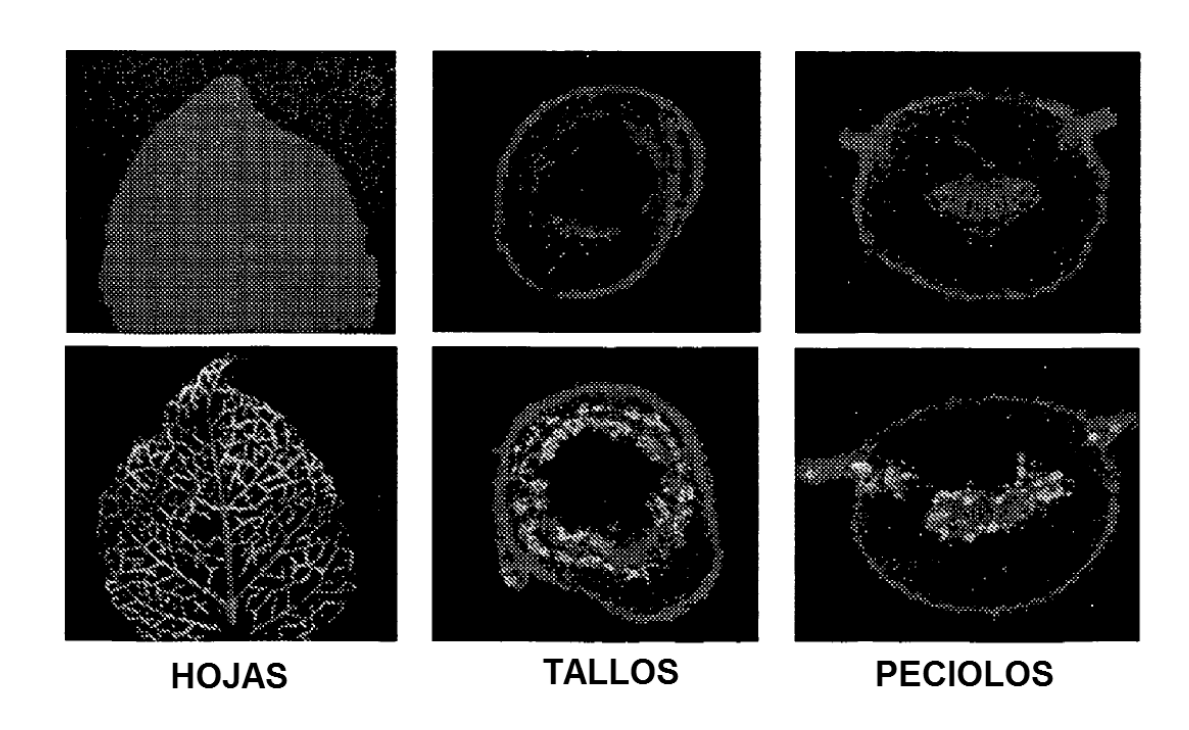
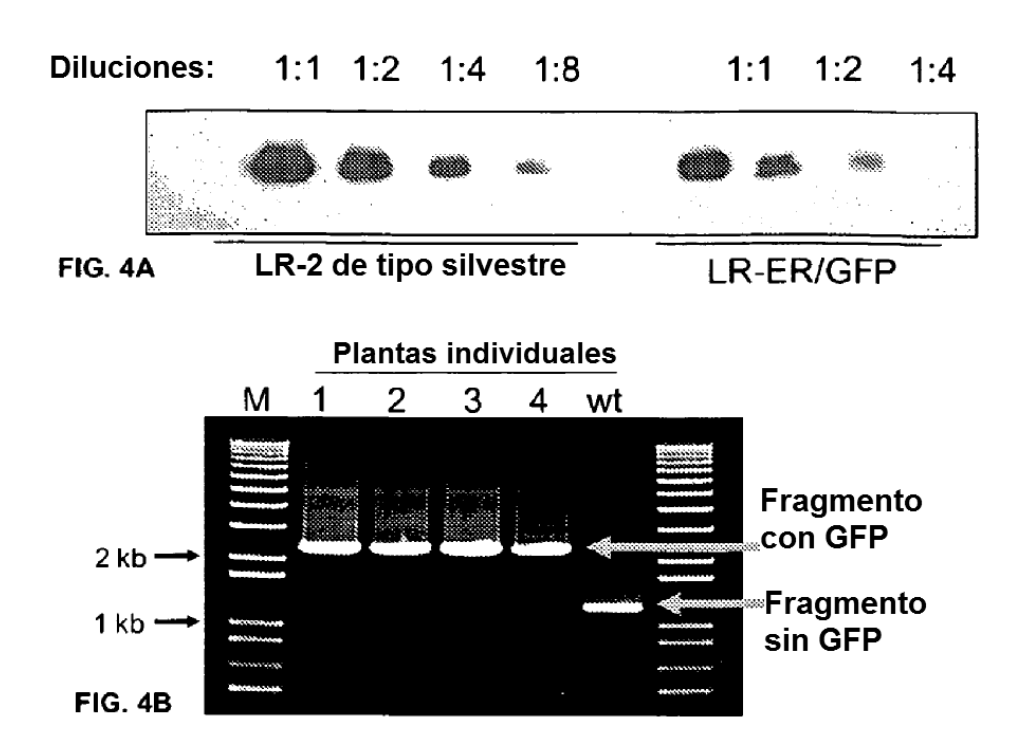


FIG. 3



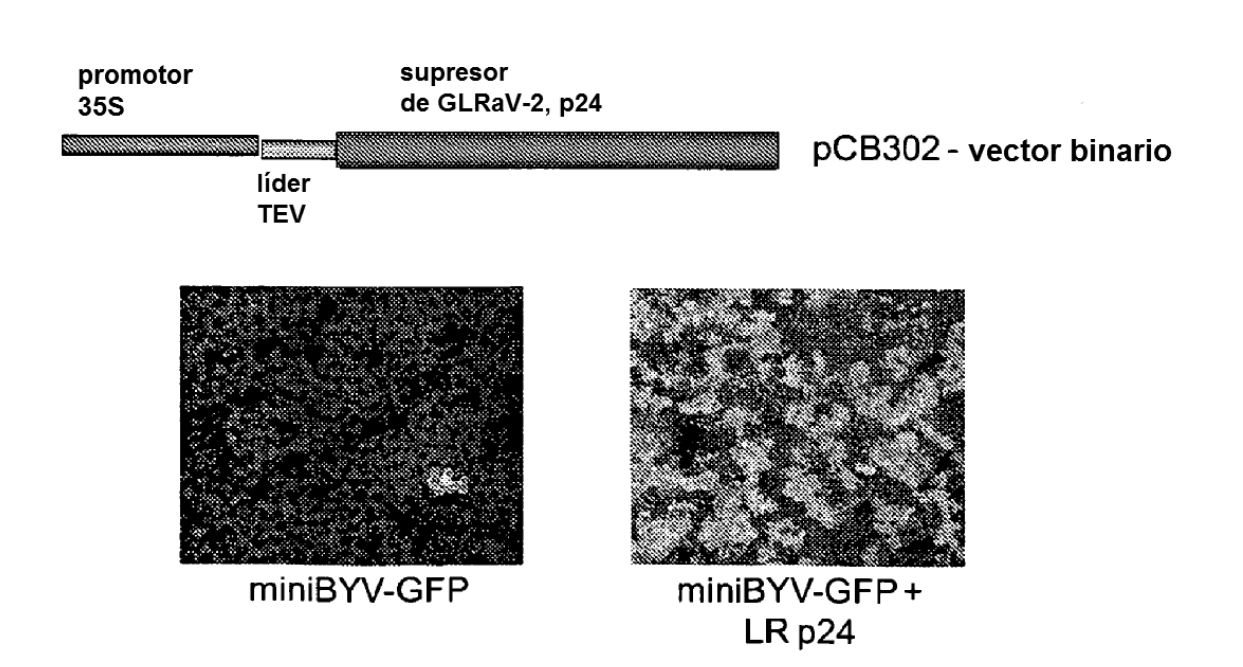


FIG.5

# Plantas de N. benthamiana 16c transgénicas para GFP

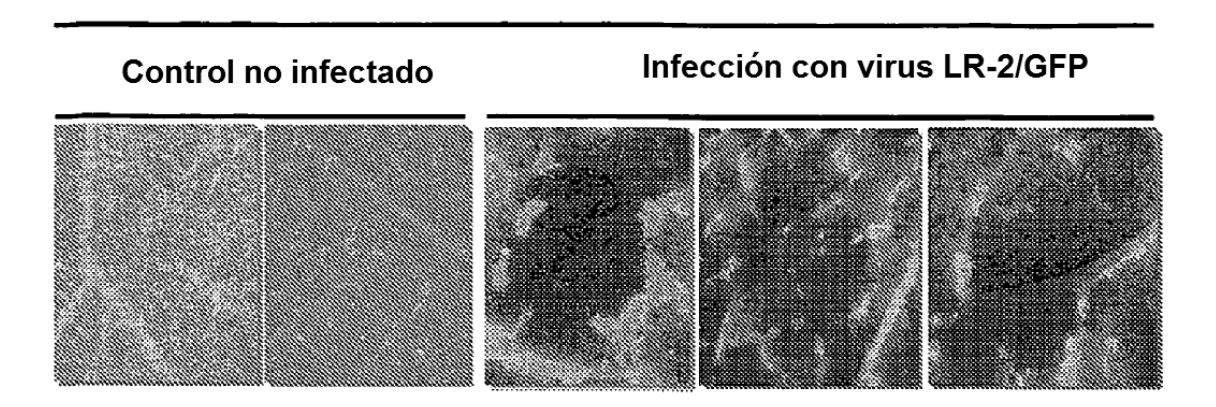


FIG. 6

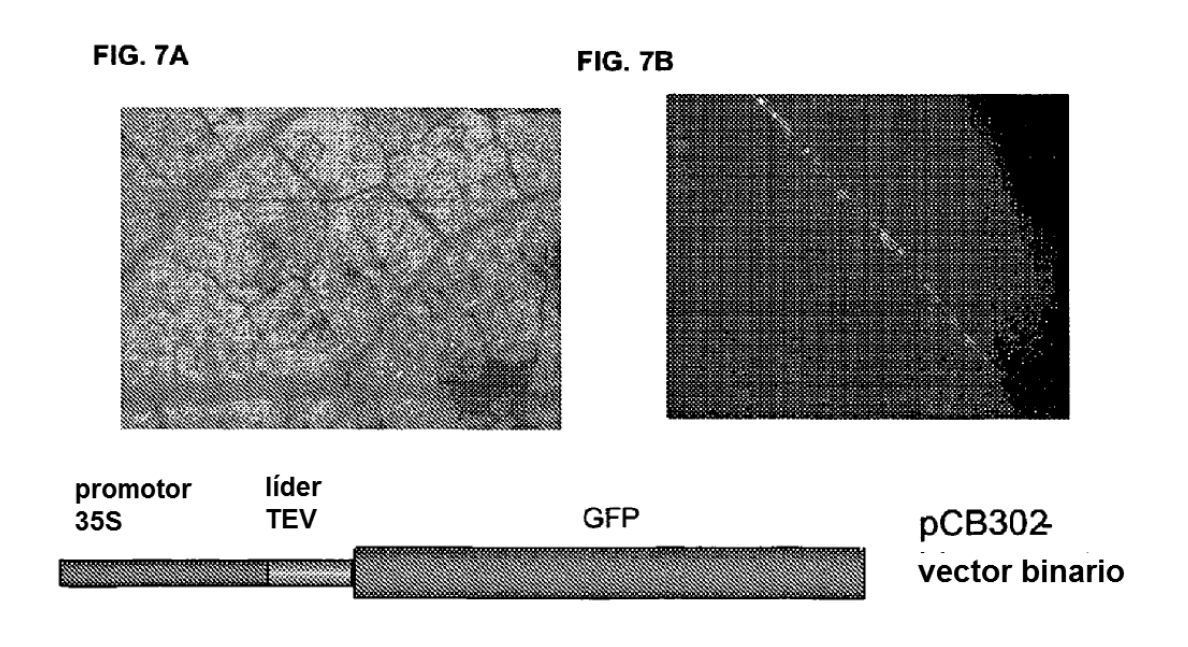


FIG. 7C

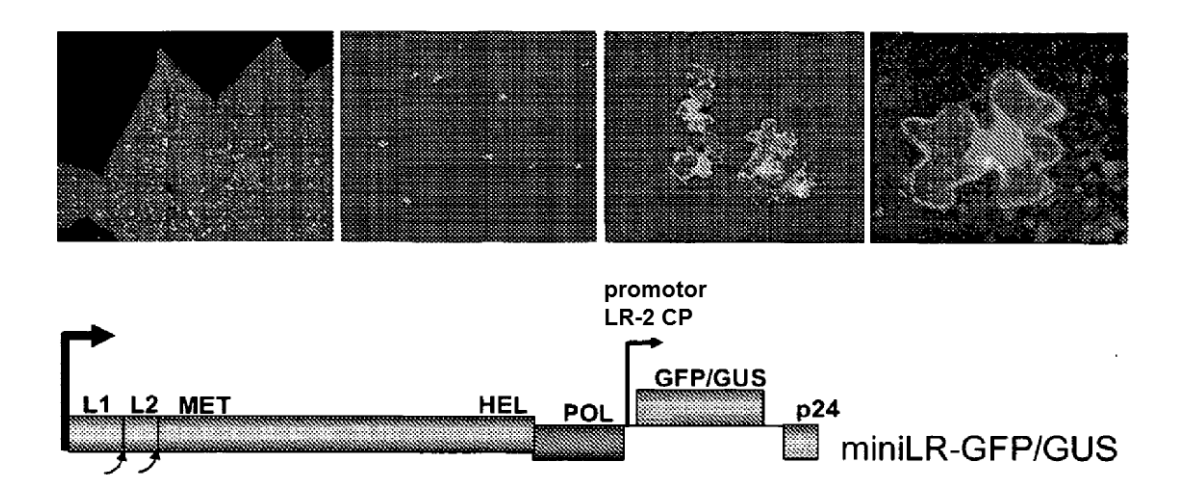


FIG.8

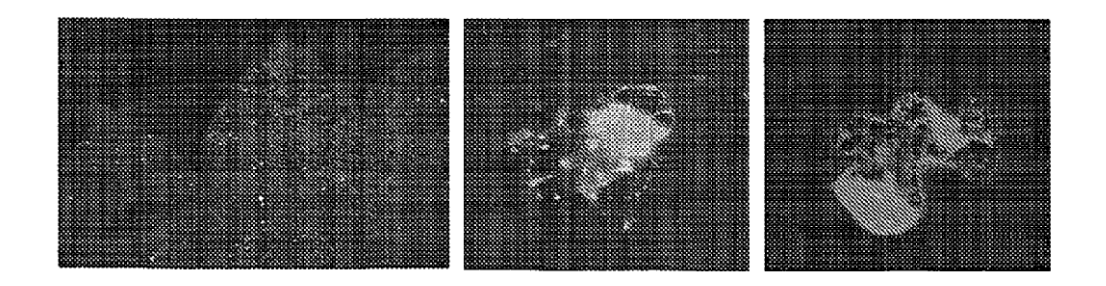
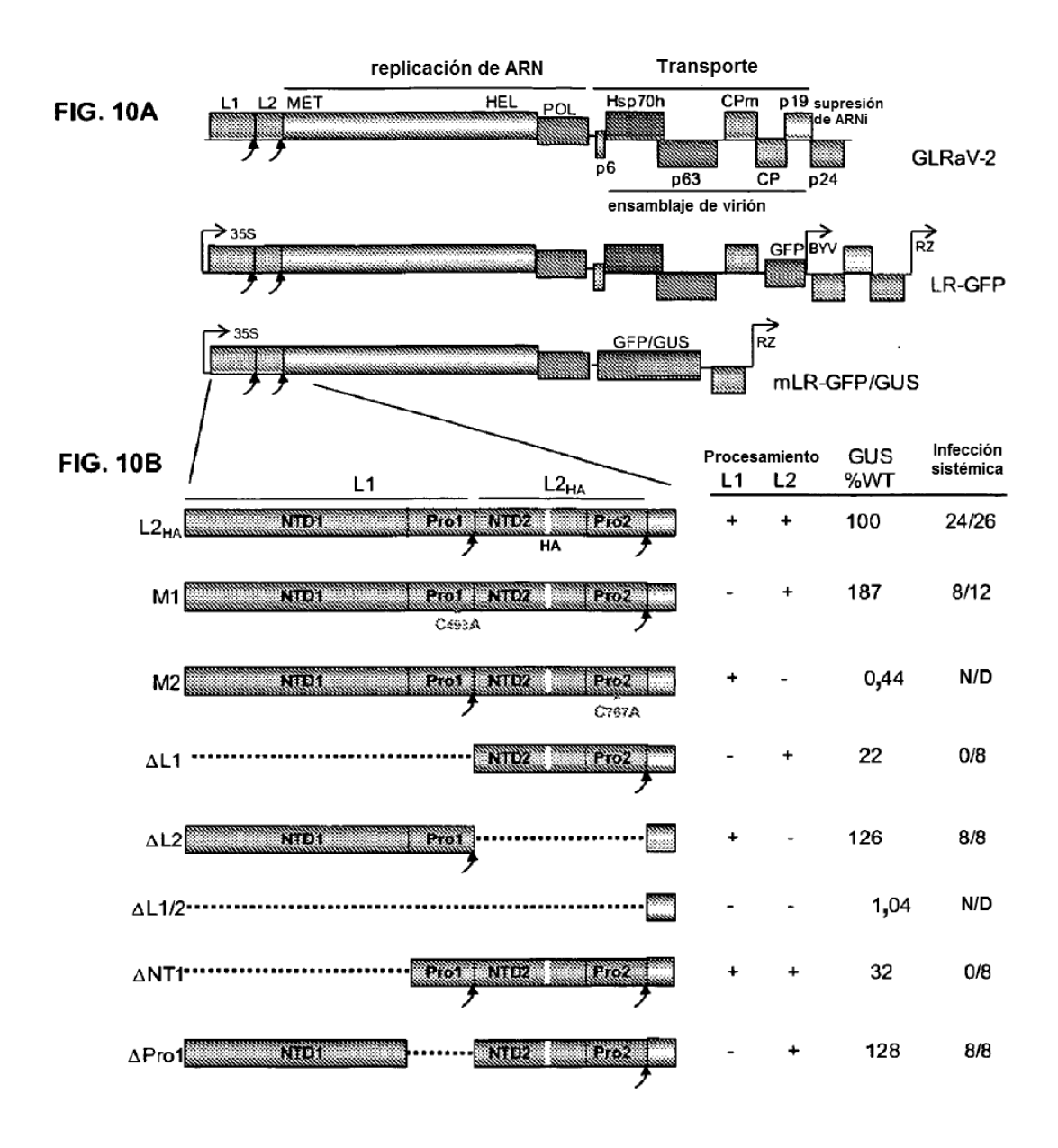
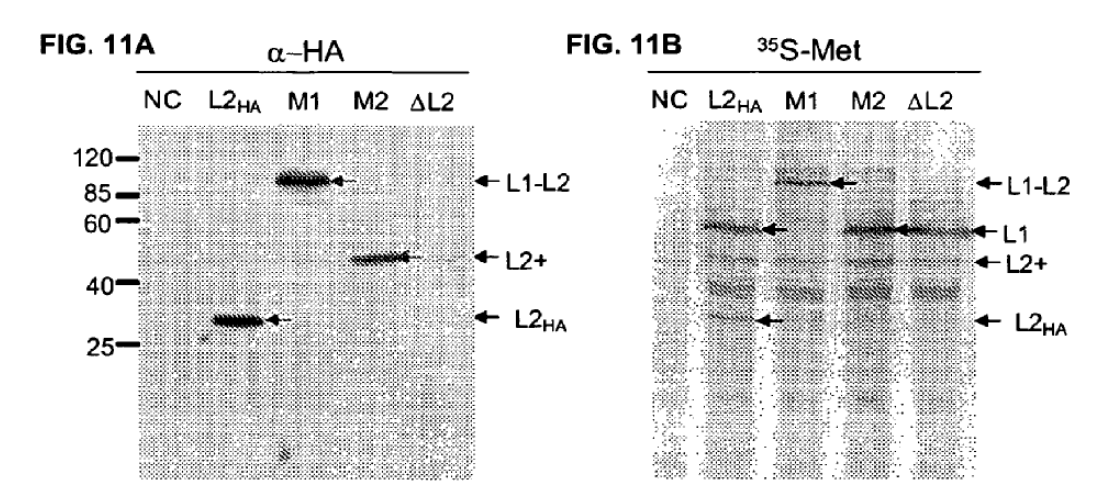
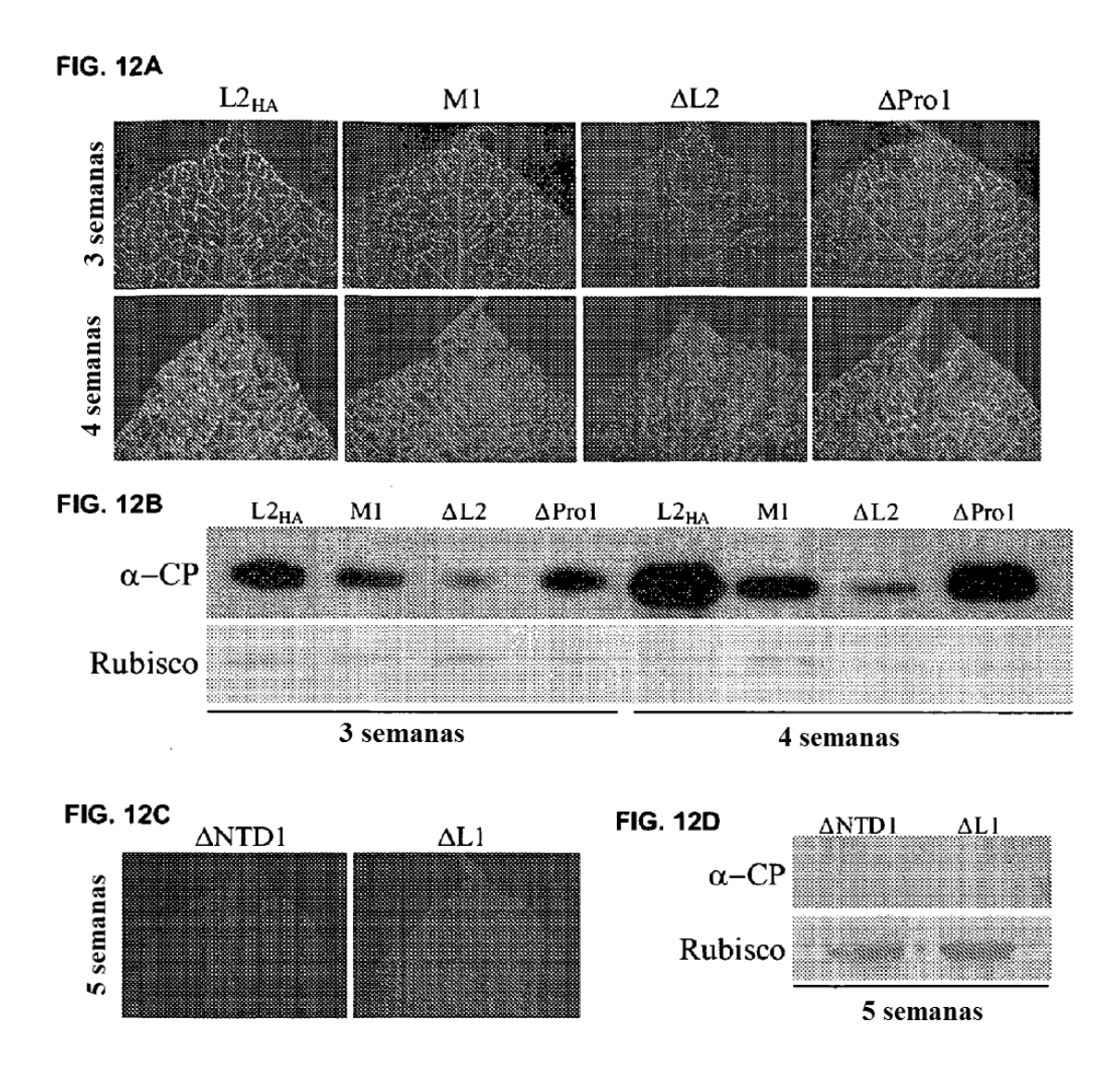
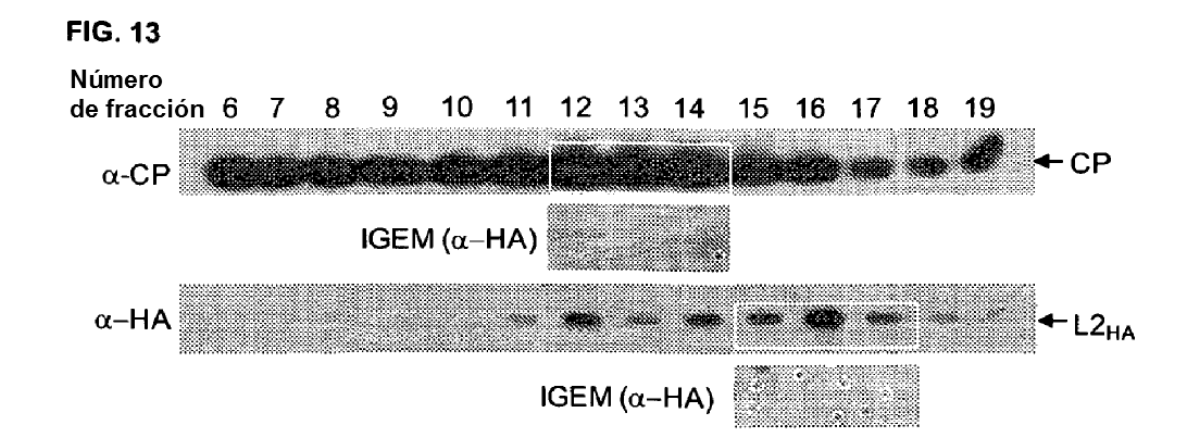


FIG. 9









NB VV	ATATTCTGTTGGCTTTCATCTGTGCTTGTGCTTCGGTTCAATCACACTCTGAAAGTTTCA ATATTCTGTTGGCTTTCATCTGTGCTTGTGCTTCGGTTCAATCACACTCTGAAAGTTTCA
NB	GTTCCCCGGAATTTCGGTTTTCTTCATAAGCCTTATTCCTACAGGATGTCTAGCCTTGCT
VV	${\tt GTTCCCCGGAATTTCGGTTTTCTTCATAAGCCTTATTC} \underline{{\tt T}} {\tt TACAGGATGTCTAGCCTTGCT}$
NB	ATCTCTGCCCTTCCCTGTTCAGTCGCTCAACTGAGCGTTGGTCAGCCTGTTGCCACGGTT
VV	ATCTCTGCCCTTCCCTGTTCAGTCGCTCAACTGAGCGTTGGTCAGCCTGTTGCCACGGTT
NB	GCCAGGTCATTTTGATGACTTCCCTTCCGTCCCTTCAGACTTACCCATCTTCGTCTGAG
VV	GCCAGGTCATTTTTGATGACTTCCCTTCCGTCCCTTCAGACTTACCCATCTTCGTCTGAG
NB	TTGACTTCCTTTTTATTTTGTTTTGGTGCTTTCCAAAAAATAAAAATGTTTTTATCTTTC
VV	TTGACTTCCTTTTTATTTTGTTTTGGTGCTTTCCAAAAAATAAAAATGTTTTTATCTTTC
NB	CTACGTTCGGTGCACGTCTTTGCGCCTTTTTCTGAAATTTCCACGATTGGTTCATGCTAT
VV	CTACGTTCGGTGCACGTCTTTGCGCCTTTTTCTGAAATTTCCACGATTGGTTCATGCTAT
NB	GAATTCATTCGGTTGGGAGGTGGTGCTTACCCTCTCTTTTTCTGTTCCTTCC
VV	GAATTCATTCGGTTGGGAGGTGGTGCTTACCCTCTTTTTCTGTTCCTTCC
NB	CCTTTGTCCGTTTCTTTGGGTTTTGTTAACGGCGTTTTTGCTGTTTTAAACATGTCATTT
VV	CCTTTGTCCGTTTCTTTGGGTTTTGTTAACGGCGTTTTTGCTGTTTTAAACATGTCATTT
NB	CCTTTCTTAAGCAACGCATCTCTTTTGACGGGCGTCGGAAAAAATGTTGTTCAAGAGAAA
VV	CCTTTCTTAAGCAACGCATCTCTTTTGACGGGCGTCGGAAAAAATGTTGTTCAAGAGAAA
NB	ATAAAAATTTCCAAATTTGAGAAGAACAGAAGAAGCGCGTTTTTTCGATAGCTCGCGCT
VV	ATAAAAATTTCCAAATTTGAGAAGAACAGAAGAAGCGCGTTTTTTCGATAGCTCGCGCT
NB	ACCGCGCGTCATGTGCCTTCCCGTCGCAATCCTAAGGAGAAGCGTGTTGTCCATGTACAG
VV	ACCGCGCGTCATGTGCCTTCCCGTCGCAATCCTAAGGAGAAGCGTGTTGTCCATGTACAG
NB	CATCTCCCTAGTGGTTCTTTACGCTTTTCCCAAAACAAAACAAAACAGAACTGCTCATC
VV	CATCTCCCTAGTGGTTCTTTACGCTTTTCCCAAAACAAAACAAAACAGAACTGCTCATC
NB	TTAAAAGAGGAAGTCGGAATTGTCGCGCGCGTTAAGTGTTCGGCAAGCGTCGTGCGCCGT
VV	TTAAAAGAGGAAGTCGGAATTGTCGCGCGCGTTAAGTGTTCGGCAAGCGTCGTGCGCCGT
NB	CGCGTTTGTGGCGGTGTGGTTAAGTGCAAACCCCTAATAGCCGTTTCTCCCTCTGGCGTG
VV	CGCGTTTGTGGCGGTGTGGTTAAGTGCAAACCCCTAATAGCCGTTTCTCCCTCTGGCGTG
NB	AAATTCCGTTGTTTCGCGCCGTCTTGCAGCACGTCCGCTTGTTTAAAGCTCAAAATCATG
VV	AAATTCCGTTGTTTCGCGCCGTCTTGCAGCACGTCCGCTTGTTTAAAGCTCAAAATCATG
NB	CGCCGTGTTGCCGTCGGTGACTGCCGAGGTGAGAAGATAATCGCGGCACGACGTGCGGCG
VV	CGCCGTGTTGCCGTCGGTGACTGCCGAGGTGAGAAGATAATCGCGGCACGACGTGCGGCG
NB	CTGCAGAAGCAGGCTTTCAACAGCCGCACACCGAAGAAAGTGCGAGAGAACCCCATTAGC
VV	CTGCAGAAGCAGGCTTTCAACAGCCGCACACCGAAGAAAGTGCGAGAGAACCCCATTAGC
NB	$\tt GTCTCCGGGGTGAACTTGGGAAGGTCTGCC{\color{red}GCCGCTCAGGTTATTTATTTCGGCAGTTTC}$
VV	GTCTCCGGGGTGAACTTGGGAAGGTCTGCC <u>A</u> CCGCTCAGGTTATTTATTTCGGCAGTTTC
NB	ACGCAGCCCTTCGCGTTGTATCCGCGCCAAGAGAGCGCGATCGTAAAAACGCAACCTCCA
VV	ACGCAGCCCTTCGCGTTGTATCCGCGCCAAGAGAGCGCGATCGTAAAAACGCAACCTCCA
NB	CCGGTCAGTGTAGTGAAGGTGGAGTGCGTAGCTGCGGAGGTAGCTCCC GACAGGGGCGTG
VV	${\tt CCGGTCAGTGTAGTGAAGGTGGAGTGGGTAGGTGGGGGGGG$

Figura 14

NB VV	GTCGACAAGAACCTACGTCTGTTGGCGTTCCCCCGCAGCGCGTGTGCTTTCTTT
NB VV	${\tt ACGGTGGTTCGGAACCGCGGCGACGTGATAATCACAGGGGTGGTGCATGAAGCCCTGAAGACGGTGGTGCATGAACCGCGGCGACGTGATAATC\underline{{\tt GCAGGGGTGCTGCATGAAGCC\underline{{\tt T}}}{\tt TGAAGAGCC\underline{{\tt T}}}{$
NB VV	AAAATTAAAGACGGGCTCTTACGCTTCCGCGTAGGCGGTGACATGCGTTTTTCGAGATTT AAAATTAAAGACGGGCTCTTACGCTTCCGCGTAGGCGGTGACATGCGTTTTTCGAGATTT
NB VV	TTCTCATCGAACTACGGCTGCAGATTCGTCGCGAGCGTGCGT
NB VV	CTAAATTGCACGAAAGCGAGTGGTGAGAAATTCTCACTCGCCGCCGCGTGCACGGCGGAT CTAAATTGCACGAAAGCGAGTGGTGAGAAATTCTCACTCGCCGCCGCGGTGCACGGCGGAT
NB VV	TACGTGGCGATGCTGCGTTATGT ${f G}$ TGTGGCGGGAAATTTCCTCTCGTCCTCATGAGTAGA TACGTGGCGATGCTGCGTTATGT ${f \underline{A}}$ TGTGGCGGGAAATTTCCTCTCGTCCTCATGAGTAGA
nb VV	$\tt GTTATTTACCCGGA{thm:thm:thm:thm:thm:thm:thm:thm:thm:thm:$
NB VV	TGTCGCCCGTTTAGAGAGTCGGATTATGCCCTCGGAATGTGGCCTACGGTGGCGCGTCTC TGTCGCCCGTTTAGAGAGTCGGATTATGCCCTCGGAATGTGGCCTACGGTGGCGCGTCTC
NB VV	${\tt AGGGCATGCGTTGAGAAGAACTTCGGTGTCGAAGCTTGTGGCATAGCTCTTCGTGGCTATAGGGCATGCGTTGAGAAGAACTTCGGTGTCGAAGCTTGTGGCATAGCTCTTCGTGGCTATAGGGCTATAGCTCTTCGTGGCTATAGCTTCTTCGTGGCTATAGCTTCTTCGTGGCTATAGCTTCTTCGTGGCTATAGCTTCTTCGTGGCTATAGCTTCTTCGTGGCTATAGCTTCTTCGTGGCTATAGCTTCTTCGTGGCTATAGCTCTTCGTGGCTATAGCTCTTCGTGGCTATAGCTTCTTCGTGGCTATAGCTTCTTCGTGGCTATAGCTTCTTCTTTCT$
NB VV	TACACCTCTCGCAATGTTTATCACTGTGATTATGACTCTGCTTATGTAAAATATTTTAGA TACACCTCTCGCAATGTTTATCACTGTGATTATGACTCTGCTTATGTAAAATATTTTAGA
NB VV	AACCTTTCCGGCCGCATTGGCGGTGGTTCGTTCGATCCGACATCTTTAACCTCCGTAATA AACCTTTCCGGCCGCATTGGCGGTGGTTCGTTCGATCCGACATCTTTAACCTCCGTAATA
NB VV	ACGGTGAAGATTAGCGGTCTTCCAGGTGGTCTTCCTAAAAATATAGCGTTTGGTGCCTTCACGGTGAAGATTAGCGGTCTTCCAGGTGGTCTTCCTAAAAATATAGCGTTTTGGTGCCTTC
NB VV	CTGTGCGATATACGTTACGTCGAACCGGTAGACTCGGGCGGCATTCAATCGAGCGTTAAG CTGTGCGATATACGTTACGT
NB VV	ACGAAACGTGAAGATGCGCACCGAACCGTAGAGGAACGGGCGGCCGGC
NB VV	CAACCGCGACAAAAGAGGATAGATGAGAAAGGTTGCGGCAGAGTTCCTAGTGGAGGTTTT CAACCGCGACAAAAGAGGATAGATGAGAAAGGTTGCGGCAGAGTTCCTAGTGGAGGTTTT
NB VV	TCGCATCTCCTGGTCGGCAGCCTTAACGAAGTTAGGAGGAAGGTAGCTGCCGGACTTCTA CCGCATCTCCTGGTCGGCAGCCTTAACGAAGTTAGGAGGAAGGTAGCTGCCGGACTTCTA
NB VV	CGCTTTCGCGTTGGCGGTGATATGGATTTTCATCGCTCGTTCTCCACCCAAGCGGGCCAC CGCTTTCGCGTTGGCGGTGATATGGATTTTCATCGCTCGTTCTCCACCCAAGCGGGCCAC
NB VV	CGCTTGCTGGTGTGGCGCCGCTCGAGCCGGAGCGTGTGCCTTGAACTTTACTCACCATCT CGCTTGCTGGTGTGGCGCCGCTCGAGCCGGAGCGTGTGCCTTGAACTTTACTCACCATCT
NB VV	$\textbf{AAAAACTTTTTGCGTTACGATGTCTTGCCTTGTTCTGGAGACTATGCAGCGATGTTTTCT} \\ \textbf{AAAAACTTTTTGCGTT\underline{\textbf{G}}CGATGTCTTGCCTTGTTCTGGAGACTATGCAGCGATGTTTTCT} \\ \textbf{AAAAACTTTTTGCGTT}\underline{\textbf{G}}$
NB VV	TTCGCGGCGGCGCCGTTTCCCTTTAGTTTTGATGACTAGAATTAGATACCCGAACGGG TTCGCGGCGGCGGCCGTTTCCCTTTAGTTTTGATGACTAGAATTAGATACCCGAACGGG

Figura 14

NB	TTTTGTTACTTGGCTCACTGCCGGTACGCGTGCGCGTTTCTCTTAAGGGGTTTTGATCCG
VV	TTTTGTTACTTGGCTCACTGCCGGTACGCGTGCGCGTTTCTCTTAAGGGGGTTTTGATCCG
NB	AAGCGTTTCGACATCGGTGCTTTCCCCACCGCAGCCAAGCTCAGAAACCGTATGGTTTCG
VV	AAGCGTTTCGACATCGGTGCTTTCCCCACCGCGGCCAAGCTCAGAAACCGTATGGTTTCG
NB	GAGCTTGGTGAAAGAAGTTTAGGTTTGAACTTGTACGGCGCATATACGTCACGCGGCGTC
VV	GAGCTTGGTGAAAGAAGTTTAGGTTTGAACTTGTACGGCGCATATACGTCACGCGGCGTC
NB	TTTCACTGCGATTATGACGCTAAGTTTATAAAGGATTTGCGTCTTATGTCAGCAGTTATA
VV	TTTCACTGCGATTATGACGCTAAGTTTATAAAGGATTTGCGTCTTATGTCAGCAGTTATA
NB	GCTGGAAAGGACGGAGTGGAAGAGGTGGTACCTTCTGACATAACTCCTGCCATGAAGCAG
VV	GCTGGAAAGGACGGGGTGGAAGAGGTGGTACCTTCTGACATAACTCCTGCCATGAAGCAG
NB	AAAACGATCGAAGCCGTGTATGATAGATTATATGGCGGCACTGACTCGTTGCTGAAACTG
VV	AAAACGATCGAAGCCGTGTATGATAGATTATATGGCGGCACTGACTCGTTGCTGAAACTG
NB	AGCATCGAGAAAGACTTAATCGATTTCAAAAATGACGTGCAGAGTTTGAAGAAAGA
VV	AGCATCGAGAAAGACTTAATCGATTTCAAAAATGACGTGCAGAGTTTGAAGAAAGA
NB	CCGATTGTCAAAGTGCCCTTTTATATGTCGGAAGCAACACAGAATTCGCTGACGCGTTTC
VV	CCGATTGTCAAAGTGCCCTTTTA <u>C</u> ATGTCGGAAGCAACACAGAATTCGCTGACGCGTTTC
NB	TACCCTCAGTTCGAACTTAAGTTTTCGCACTCCTCGCATTCAGATCATCCCGCCGCCGCC
vv	TACCCTCAGTTCGAACTTAAGTTTTCGCACTCCTCGCATTCAGATCATCCCGCCGCCCCC
NB	GCTTCTAGACTGCTGGAAAATGAAACGTTAGTGCGCTTATGTGGTAATAGCGTTTCAGAT
VV	GCTTCTAGACTGCTGGAAAATGAAACGTTAGTGCGCTTATGTGGTAATAGCGTTTCAGAT
NB	ATTGGAGGTTGTCCTCTTTTCCATTTGCATTCCAAGACGCAAAGACGGGTTCACGTATGT
VV	ATTGGAGGTTGTCCTCTTTTCCATTTGCATTCCAAGACGCAAAGACGGGTTCACGTATGT
NB	AGGCCTGTGTTGGATGGCAAGGATGCGCAGCGTCGCGTGGTGCGTGATTTGCAGTATTCC
VV	AGGCCTGTGTTGGATGGCAAGGATGCGCAGCGTCGCGTGGTGCGTGATTTGCAGTATTCC
NB	AACGTGCGTTGGGGAGACGATGATAAAATTTTGGAAGGGCCACGCAATATCGACATTTGC
VV	AACGTGCGTT <u>T</u> GGGAGACGATGATAAAATT <u>C</u> TGGAAGGGCCACGCAATATCGACATTTGC
NB	CACTATCCTCTGGGCGCGTGTGACCACGAAAGTAGTGCTATGATGATGGTGCAGGTGTAT
vv	CACTATCCTCTGGGCGCGTGTGACCACGAAAGTAGTGCTATGATGATGGTGCAGGTGTAT
NB	GACGCGTCCCTTTATGAGATATGTGGCGCCATGATCAAGAAGAAAAGCCGCATAACGTAC
VV	GACGCGTCCCTTTATGAGATATGTGGCGCCATGATCAAGAAGAAAAGCCGCATAACGTAC
NB	TTAACCATGGTCACGCCCGGCGAGTTTCTTGACGGACGCGAATGCGTCTATATGGAGTCG
VV	TTAACCATGGTCACGCCCGGCGAGTTTCTTGACGGACGCGAATGCGTCTATATGGAGTCG
NB	TTAGACTGTGAGATTGAGGTTGATGTGCACGCGGACGTCGTAATGTACAAATTCGGTAGT
VV	TTAGACTGTGAGATTGAGGTTGATGTGCACGCGGACGTCGTAATGTACAAATTCGGTAGT
NB	TCTTGCTATTCGCACAAGCTTTCAATCATCAAGGACATCATGACCACTCCGTACTTGACA
VV	TCTTGCTATTCGCACAAGCTTTCAATCATCAAGGACATCATGACCACTCCGTACTTGACA
NB	CTAGGTGGTTTTCTATTCAGCGTGGAGATGTATGAGGTGCGTATGGGCGTGAATTACTTC
VV	CTAGGTGGTTTTCTATTCAGCGTGGAGATGTATGAGGTGCGTATGGGCGTGAATTACTTC
NB	AAGATTACGAAGTCCGAAGTATCGCCTAGCATTAGCTGCACCAAGCTCCTGAGATACCGA
VV	AAGATTACGAAGTCCGAAGTATCGCCTAGCATTAGCTGCACCAAGCTCCTGAGATA <b>T</b> CGA

Figura 14

NB VV	AGAGCTAATAGTGACGTCGCTTAAAGTTAAACTTCCACGTTTCGATAAGAAACGTCGCATG AGAGCTAATAGCGACGTCGCTTAAAGTTAAACTTCCACGTTTCGATAAGAAACGTCGCATG
	•••
NB VV	TGTCTGCCTGGGTATGACACCATATACCTAGATTCGAAGTTTGTGAGTCGCGTTTTCGAT TGTCTGCCTGGGTATGACACCATATACCTAGATTCGAAGTTTGTGAGTCGCGTTTTCGAT
NB	TATGTCGTGTGTAATTGCTCTGCCGTGAACTCAAAAACTTTCGAGTGGGTGTGGAGTTTC
VV	TATGTCGTGTAATTGCTCTGCCGTGAACTCAAAAACTTTCGAGTGGGTGTGGAGTTTC
NB	${\tt ATTAAGTCTAGTAAGTCGAGGGTGATTATTAGCGGTAAAATAATTCACAAGGATGTGAAT}$
VV	ATTAAGTCTAG <u>C</u> AAGTCGAGGGTGATTATTAGCGGTAAAATAATTCACAAGGATGTGAAT
NB	TTGGACCTTAAGTACGTCGAGAGTTTCGCCGCGGTTATGTTGGCCTCTGGCGTGCGCAGC
VV	TTGGACCT <u>C</u> AAGTACGTCGAGAGTTTCGCCGCGGTTATGTTGGCCTCTGGCGTGCGCAGC
NB	AGACTAGCGTCCGAGTACCTTGCTAAGAACCTTAGTCATTTTTCGGGAGATTGCTCCTTT
VV	AGACTAGCGTCCGAGTACCTTGCTAAGAACCTTAGTCATTTTTCGGGAGATTGCTCCTTT
NB	ATTGAAGCCACGTCTTTCGTGTTGCGTGAGAAAATCAGAAACATGACTCTGAATTTTAAC
VV	ATTGAAGCCACGTCTTTCGTGTTGCGTGAGAAAATCAGAAACATGACTCTGAATTTTAAC
NB	GAAAGACTTTTACAGTTAGTGAAGCGCGTTGCCTTTGCGACCTTGGACGTGAGTTTTCTA
VV	GAAAGACTTTTACAGTTAGTGAAGCGCGTTGCCTTTGCGACCTTGGACGTGAGTTTTCTA
NB	GATTTAGATTCAACTCTTGAATCAATAACTGATTTTGCCGAGTGTAAGGTAGCGATTGAA
VV	GATTTAGATTCAACTCTTGAATCAATAACTGATTTTGCCGAGTGTAAGGTAGCGATTGAA
NB	$\tt CTCGACGAGTTGGGTTGCTTGAGAGCGGAGGCCGAGAATGAAAAAATCAGGAATCT{\color{red}G}CG$
VV	CTCGACGAGTTGGGTTGCTTGAGAGCGGAGGCCGAGAATGAAAAAATCAGGAATCT <u>A</u> GCG
NB	GGAGATTCGATTGCGGCTAAACTCGCGAGCGAGATAGTGGTCGATATTGACTCTAAGCCT
VV	GGAGATTCGATTGCGGCTAAACTCGCGAGCGAGATAGTGGTCGATATTGACTCTAAGCCT
NB	TCACCGAAGCAGGTGGGTAATTCGTCATCCGAAAACGCCGATAAGCGGGAAGTTCAGAGG
VV	TCACCGAAGCAGGTGGGTAATTCGTCATCCGAAAACGCCGATAAGCGGGAAGTTCAGAGG
NB	CCCGGTTTGCGTGGTTCTAGAAACGGGGTTGTTGGGGAGTTCCTTCACTTCGTCGTG
VV	CCCGGTTTGCGTGGTTCTAG <u>G</u> AACGGGGTTGTTGGGGAGTTCCTTCACTTCGTCGTG
NB	GATTCTGCCTTGCGTCTTTTCAAATACGCGACGGATCAACAACGGATCAAGTCTTACGTG
VV	GATTCTGCCTTGCGTCTTTTCA <u>G</u> ATACGCGACGGATCAACAACGGATCAAGTCTTACGTG
NB	CGTTTCTTGGACTCGGCGGTCTCATTCTTGGATTACAACTACGATAATCTATCGTTTATA
VV	CGTTTCTTGGACTCGGCGGTCTCATTCTTGGATTACAACTACGATAATCTATCGTTTATA
NB	$\tt CTGCGAGTGCTTTCGGAAGGTTATTCGTGTATGTTCGCGTTTTTGGCGAATCGCGGCGAC$
VV	CTGCGAGTGCTTTCGGAAGGTTATTCGTGTATGTTCGCGTTTTTGGCGAATCGCGGCGAC
NB	TTATCTAGTCGTGTCCGTAGCGCGGTGCGTGCTGTGAAAGAAGTTGCTACCTCATGCGCG
VV	TTATCTAGTCGTGTCCGTAGCGCGGTGCGTGCTGTGAAAGAAGTTGCTACCTCATGCGCG
NB	AACGCGAGCGTTTCTAAAGCCAAGGTTATGATTACCTTCGCAGCGGCCGTGTGTGCTATG
VV	AACGCGAGCGTTTCTAAAGCCAAGGTTATGATTACCTTCGCAGCGGCCGTGTGTGCTATG
NB	ATGTTTAATAGCTGCGGTTTTTCAGGCGACGGTCGGGAGTATAAATCGTATATACATCGT
VV	ATGTTTAATAGCTGCGGTTTTTCAGGCGACGGTCGGGAGTATAAATCGTATATACATCGT
NB	${\tt TACACGCAAGTATTGTT}{\tt TGACACTATCTTTTTTGAGGACAGCAGTTACCTACCCATAGAA}$
VV	TACACGCAAGTATTGTTCGACACTATCTTTTTTGAGGACAGCAGTTACCTACC

Figura 14

NB VV	GTTCTGAGTTCGGCGATATGCGGTGCTATCGTCACACTTTTCTCCTCGGGCTCGTCCATA GTTCTGAGTTCGGCGATATGCGGTGCTATCGTCACACTTTTCTCCTCGGGCTCCATA
NB	AGTTTAAACGCCTTCTTACTTCAAATTACCAAAGGATTCTCCCTAGAGGTTGTCGTCCGG
VV	AGTTTAAACGCCTTCTTACTTCAAATTACCAAAGGATTCTCCCTAGAGGTTGTCGTCCGG
NB VV	AATGTTGTGCGAGTCACGCATGGTTTGAGCACCACAGCGACCGAC
NB	GTTTTCTCCCAAATTGTGTCTCACTTACTTGTTGGAAATACCGGTAATGTGGCTTACCAG
VV	GTTTTCTCCCAAATTGTGTCTCACTTACTTGTTGGAAATACCGGTAATGTGGCTTACCAG
NB VV	${\tt TCAGCTTTCATTGCCGGGGTGGTGCCTCTTTTAGTTAAAAAGTGTGTGAGCTTAATCTTC}\\ {\tt TCAGCTTTCATTGCCGGGGTGGTGCCTCTTTTAGTTAAAAAGTGTGTGAGCTTAATCTTC}\\$
NB VV	ATCTTGCGTGAAGATACTTATTCCGGTTTTATTAAGCACGGAATCAGTGAATTCTCTTTCATCTTGCGTGAAGATACTTATTCCGGTTTTATTAAGCACGGAATCAGTGAATTCTCTTTC
NB VV	$\tt CTTAGTAGTATTCTGAAGTTCTTGAAGGGTAAGCTTGTGGACGAGTTGAAATCGATTATT\\ CTTAGTAGTATTCTGAAGTTCTTGAAGGGTAAGCTTGTGGACGAGTTGAAATCGATTATT\\$
NB	CAAGGGGTTTTTGATTCCAACAAGCACGTGTTTAAAGAAGCTACTCAGGAAGCGATTCGT
VV	CAAGGGGTTTTTGATTCCAACAAGCACGTGTTTAAAGAAGCTACTCAGGAAGCGATTCGT
NB	ACGACGGTCATGCAAGTGCCTGTCGCTGTAGTGGATGCCCTTAAGAGCGCCGCGGGAAAA
VV	ACGACGGTCATGCAAGTGCCTGTCGCTGTAGTGGATGCCCTTAAGAGCGCCGCGGGAAAA
NB VV	ATTTATAACAATTTTACTAGTCGACGTACCTTTGGTAAGGATGAAGGCTCCTCTAGCGACATTTATAACAATTTTACTAGTCGACGTACCTTTGGTAAGGATGAAGGCTCCTCTAGCGAC
NB	GGCGCATGTGAAGAGTATTTCTCATGCGACGAAGGTGAAGGTCCGGGTCTGAAAGGGGGT
VV	GGCGCATGTGAAGAGTATTTCTCATGCGACGAAGGTGAAGGTCCGGGTCTGAAAGGGGGT
NB	TCUAGCTATGGCTTCTCAATTTTAGCGTTCTTTTCACGCATTATGTGGGGAGCTCGTCGG
VV	TCCAGCTATGGCTTCTCAATTTTAGCGTTCTTTTCACGCATTATGTGGGGAGCTCGTCGG
NB	CTTATTGTTAAAGTGAAGCATGAGTGTTTTGGGAAACTTTTTGAATTTCTATCGCTCAAG
VV	CTTATTGTTAAGGTGAAGCATGAGTGTTTTGGGAAACTTTTTGAATTTCTATCGCTCAAG
NB	CTTCACGAATTCAGGACTCGCGTTTTTGGGATGAATAGAACGGACGTGGGAGTTTACGAT
VV	CTTCACGAATTCAGGACTCGCGTTTTTGGGAAGAATGGAACGGACGTGGGAGTTTACGAT
NB	TTTTTGCCCACGGACATCGTGGAAACGCTCTCATCGATAGAAGAGTGCGACCAAATTGAA
VV	TTTTTGCCCACGGACATCGTGGAAACGCTCTCATCGATAGAAGAGTGCGACCAAATTGAA
NB VV	GAACTTCTCGGCGACGACCTGAAAGGTGACAAGGATGCTTCGTTGACCGATATGAATTAC GAACTTCTCGGCGACGACCTGAAAGGTGACAAGGATGCTTCGTTGACCGATATGAATTAC
NB VV	TTTGAGTTCTCAGAAGACTTCTTAGCCTCTGTCGAGGAGCCGCCTTTCGCTGGATTGCGA TTTGAGTTCTCAGAAGACTTCTTAGCCTCTGTCGAGGAGCCGCCTTTCGCTGGATTGCGA
NB	GGAGGTAGCAAGAACGTCGCGATTTTGGCGATTTTGGAATACGCGCATAATTTGTTTCGC
VV	GGAGGTAGCAAGAACGTCGCGATTTTGGCGATTTTGGAATACGTGCATAATTTGTTTCGC
NB	ATTGTCGCAAGCAAGTGTTCGAAACGACCTTTATTTCTTGCTTTCGCCGAACTCTCAAGC
VV	ATTGTCGCAAGCAAGTGTTCGAAACGACCTTTATTTCTTGCTTTCGCCGAACTCTCAAGC
NB	GCCCTTATCGAGAAATTTAAGGAGGTTTTCCCTCGTAAGAGCCAGCTCGTCGCTATCGTG
VV	GCCCTTATTGAGAAATTTAAGGAGGTTTTCCCTCGTAAGAGCCAGCTCGTCGCTATCGTG

Figura 14

AA NR	CGCGAGTATACTCAGAGATTCCTCCGAAGTCGCATGCGTGCG
N.D.	
NB VV	TTCGTGGTAAAATCTTTCGCCGATTTGCTACCCGCATTAATGAAGCGGAAGGTTTCAGGT TTCGTGGTAAAATCTTTCGCCGATTTGCTACCCGCATTAATGAAGCGGAAGGTTTCAGGT
NB	TCGTTCTTAGCTAGTGTTTATCGCCCACTTAGAGGTTTCTCATATATGTGTGTTTTCAGCG
VV	TCGTTCTTAGCTAGTGTTTATCGCCCACTTAGAGGTTTCTCATATATGTGTGTTTCAGCG
NB	GAGCGACGTGAAAAGTTTTTTGCTCTCGTGTTTTAATCGGGTTAAGTCTCCCTTTCTTC
VV	GAGCGACGTGAAAAGTTTTTTGCTCTCGTGTGTTTAATCGGGTTAAGTCTCCCTTTCTTC
NB	$\tt GTGCGCATCGTAGGAGCGAAAGCGTGCGAAGAACTCGTGTCCTCAGCGCGTCGC\ref{tttat}$
VV	GTGCGCATCGTAGGAGCGAAAGCGTGCGAAGAACTCGTGTCCTCAGCGCGTCGCCTTTAT
NB	${\tt GAGCGTATTAAAATTTTTCT} {\tt CAGGCAGAAGTATGTCTCTCTTTCTAATTTCTTTTGTCAC}$
VV	GAGCGTATTAAAATTTTTCT <u>A</u> AGGCAGAAGTATGTCTCTCTTTCTAATTTCTTTTGTCAC
NB	TTGTTTAGCTCTGACGTTGATGACAGTTCCGCATCAGCAGGGTTGAAAGGTGGTGCGTCG
VV	TTGTTTAGCTCTGACGTTGATGACAGTTCCGCATC <u>T</u> GCAGGGTTGAAAGGTGGTGCGTCG
NB	CGAATGACGCTCTTCCACCTTCTGGTTCGCCTTGCTAGTGCCCTCCTATCGTTAGGGTGG
VV	CGAATGACGCTCTTCCACCTTCTGGTTCGCCTTGCTAGTGCCCTCCTATCGTTAGGGTGG
NB	GAAGGGTTAAAGCTACTCTTATCGCACCACAACTTGTTATTTTTGTGTTTTTGCATTGGTT
VV	GAAGGGTTAAAGCTACTCTTATCGCACCACAACTTGTTATTTTTGTGTTTTTGCATTGGTT
NB	GACGATGTGAACGTCCTTATCAAAGTTCTTGGGGGTCTTTCTT
VV	${ t GACGATGTGAACGTCCTTATCAAAGTTCTTGGGGGTCTTTCTT$
NB	TTTTCCTTGTTTGCGGCGATGCTTTTACAACCGGACAGGTTTGTGGGGTATTCCGAGAAA
VV	TTTTCCTTGTTTGCGGCGATGCTTTTACAACCGGACAGGTTTGTGGGGTATTCCGAGAAA
NB	CTTGTTACAGCGTTTGAATTTTTCTTAAAATGTTCGCCTCGCGCGCCCTGCACTACTCAAA
VV	CTTGTTACAGCGTTTGAATTTTCTTAAAATGTTCGCCTCGCGCGCCTGCACTACTCAAA
NB	${\tt GGGTTTTTTGAGTGCGTGGCGAACAGCACTGTGTCAAAAACCGTTCGAAGACTTCTTCGC}$
VV	${\tt GGGTTTTTGAGTGCGTGGCGAACAGCACTGTGTCAAAAACCGTTCGAAGACTTCTTCG{\color{red}\underline{T}}$
NB	TATTTCGTGAGGATGCTCAAACTTCGAAAAGGGCGAGGGTTGCGTGCG
VV	TATTTCGTGAGGATGCTCAAACTTCGAAAAGGGCGAGGGTTGCGTGCG
NB	CTCCATCGGCAGAAAGCCGTACCCGTCATACCTTCTAATCGGGTCGTGACCGACGGGGTT
VV	CTCCATCGGCAGAAAGCCGTACCCGTCATACCTTCTAATCGGGTCGTGACCGACGGGGTT
NB	GAAAGACTTTCGGTAAAGATGCAAGGAGTTGAAGCGTTGCGTACCGAATTGAGAATCTTA
VV	GAAAGACTTTCGGTAAAGATGCAAGGAGTTGAAGCGTTGCGTACCGAATTGAGAATCTTA
NB	GAAGATTTAGATTCTGCCGTGATCGAAAAACTCAATAGACGCAGAAATCGTGACACTAAT
VV	GAAGATTTAGATTCTGCCGTGATCGAAAAGCTCAATAGACGCAGAAATCGTGACACTAAT
NB	GACGACGAATTTACGCGCCCTGCTCATGAGCAGATGCAAGAAGTCACCACTTTCTGTTCG
VV	GACGACGAATTTACGCGCCCTGCTCATGAGCAGATGCAAGAAGTCACCACTTTCTGTTCG
NB	AAAGCCAACTCTGCTTGGTTTGGCCCTGGAAAGGGCAGTGCTTGTGGAAGACGCTATAAAG
VV	AAAGCCAACTCTGCTGGTTTGGCCCTGGAAAGGGCAGTGCTTGTGGAAGACGCTATAAAG
NB	TCGGAGAAACTTTCTAAGACGGTTAATGAGATGGTGAGGAAAGGGAGTACCACCAGCGAA
VV	TCGGAGAAACTTTCTAAGACGGTTAATGAGATGGTGAGGAAAGGGAGTACCACCAGCGAA

Figura 14

NB	GAAGTGGCCGTCGCTTTGTCGGACGATGAAGCCGTGGAAGAAATCTCTGTTGCTGACGAG
VV	GAAGTGGCCGTCGCTTTGTCGGACGATGAAGCCGTGGAAGAAATCTCTGTTGCTGACGAG
NB	CGAGACGATTCGCCTAAGACAGTCAGGATAAGCGAATACCTAAATAGGTTAAACTCAAGC
VV	CGAGACGATTCGCCTAAGACAGTCAGGATAAGCGAATACCTAAATAGGTTAAACTCAAGC
NB	TTCGAATTCCCGAAGCCTATTGTTGTGGACGACAACAAGGATACCGGGGGTCTAACGAAC
vv	TTCGAATTCCCGAAGCCTATTGTTGTGGACGACAACAAGGATACCGGGGGTCTAACGAAC
NB	GCCGTGAGGGAGTTTTATTATATGCAAGAACTTGCTCTTTTCGAAATCCACAGCAAACTG
vv	GCCGTGAGGGAGTTTTATTATATGCAAGAACTTGCTCTTTTCGAAATCCACAGCAAACTG
NB	TGCGCCTACTACGATCAACTGCGCATAGTCAACTTCGATCGTTCCGTAGCACCATGCAGC
VV	TGCGCCTACTACGATCAACTGCGCATAGTCAA <u>T</u> TTCGATCGTTCC <u>T</u> TAGCACCATGCAGC
NB	GAAGATGCTCAGCTGTACGTACGGAAGAGCGGCTCAACGATAGTGCAGGGTAAAGAGGTA
VV	GAAGATGCTCAGCTGTACGTACGGAAGAACGCTCAACGATAGTGCAGGGTAAAGAGGTA
NB	CGTTTGCACATTAAGGATTTCCACGATCACGATTTCCTGTTTGACGGGAAAATTTCTATT
VV .	CGTTTGCACATTAAGGATTTCCACGATCACGATTTCCTGTTTGACGGAAAAATTTCTATT
NB	AACAAGCGGCGGCGAGGCGGAAACGTTTTATATCACGACAACCTCGCGTTCTTGGCGAGT
VV	AACAAGCGGCGGGGGGGAAACGTTTTATATCACGACAACCTCGCGTTCTTGGCGAGT
NB	AATTTGTTCTTAGCCGGCTACCCCTTTTCAAGGAGCTTCGTCTTCACGAATTCGTCGGTC
VV	AATTTGTTCTTAGCCGGCTACCCCTTTTCAAGGAGCTTCGTCTTCACGAATTCGTCGGTC
NB	GATATTCTCCTCTACGAAGCTCCACCCGGAGGTGGTAAGACGACGACGCTGATTGACTCG
VV	GATATTCTCCTCTACGAAGCTCCACCCGGAGGTGGTAAGACGACGACGCTGATTGACTCG
<b>N</b> B	TTCTTGAAGGTCTTCAAGAAAGGTGAGGTTTCCACCATGATCTTAACCGCCAACAAAAGT
VV	TTCTTGAAGGTCTTCAAGAAAGGTGAGGTTTCCACCATGATCTTAACCGCCAACAAAAGT
NB	TCGCAGGTTGAGATCCTAAAGAAAGTGGAGAAGGAAGTGTCTAACATTGAATGCCAGAAA
VV	TCGCAGGTTGAGATCCTAAAGAAAGTGGAGAAGGAAGTGTCTAACATTGAATGCCAGAAA
NB	CGTAAAGACAAGAGATCTCCGAAAAAGAGCATTTACACCATCGACGCTTATTTAATGCAT
VV	CGTAAAGACAAGAGATCTCCGAAAAAGAGCATTTACACCATCGACGCTTATTTAATGCAT
NB	CACCGTGGTTGTGATGCAGACGTTCTTTTCATCGATGAGTGTTTCATGGTTCATGCGGGT
VV	CACCGTGGTTGTGATGCAGACGTTCTTTTCATCGATGAGTGTTTCATGGTTCATGCGGGT
NB	AGCGTACTAGCTTGCATTGAGTTCACGAGGTGTCATAAAGTAATGATCTTCGGGGATAGC
VV	AGCGTACTAGCTTGCATTGAGTTCACGAGGTGTCATAAAGTAATGATCTTCGGGGATAGC
NB	CGGCAGATTCACTACATTGAAAGGAACGAATTGGACAAGTGTTTGTATGGGGATCTCGAT
VV	CGGCAGATCCACTACATTGAAAGGAACGAATTGGACAAGTGTTTGTATGGGGATCTCGAC
NB	AGGTTCGTGGACCTGCAGTGTCGGGTTTATGGTAATATTTCGTACCGTTGTCCATGGGAT
VV	AGGTTCGTGGACCTGCAGTGTCGGGTTTATGGTAATATTTCGTACCGTTGTCCATGGGAT
NB	GTGTGCGCTTGGTTAAGCACAGTGTATGGCAACCTAATCGCCACCGTGAAGGGTGAAAGC
VV	GTGTGCGCTTGGTTAAGCACAGTGTATGGCAACCTAATCGCCACCGTGAAGGGTGAAAGC
NB	GAAGGTAAGAGCAGCATGCGCATTAACGAAATTAATTCAGTCGACGATTTAGTCCCCGAC
VV	GAAGGTAAGAGCAGCATGCGCATTAACGAAATTAATTCAGTCGACGATTTAGTCCCCGAC
NB	GTGGGTTCCACGTTTCTGTGTATGCTTCAGTCGGAGAAGTTGGAAATCAGCAAGCA
3737	GTCCCTTCC $^{\circ}$ CCTTCCCCCTATCCTCTATCACCTAACTCCAAAATCACCAAAACCACTTCCTATCACCAAACCACTTCTCTCTCTACCAAACCACC

Figura 14

ND	ATTCGCAAGGGTTGCTAAACTTAACGTTCTAACTGTGCATGAGGCGCAAGGTGAGACG
VV	ATTCGCAAGGGTTTG <u>A</u> CTAAA <u>T</u> TTAACGTTCTAAC <u>G</u> GTGCATGAGGCGCAAGGTGAGACG
NB	TATGCGCGTGTGAACCTTGTGCGACTTAAGTTTCAGGAGGATGAACCCTTTAAATCTATC
VV	TATGCGCGTGTAACCTTGTGCGACTTAAGTTTCAGGAGGATGAACCCTTTAAATCTATC
NB	AGGCACATAACCGTCGCTCTTTCTCGTCACACCGACAGCTTAACTTATAACGTCTTAGCT
VV	AGGCACATAACCGTCGCTCTTTCTCGTCACACCGACAGCTTAACTTATAACGTCTTAGCT
NB	GCTCGTCGAGGTGACGCCACTTGCGATGCCATCCAGAAGGCTGCGGAATTGGTGAACAAG
VV	GCTCGTCGAGGTGACGCCACTTGCGATGCCATCCAGAAGGCTGCGGAATTGGTGAACAAG
NB	TTTCGCGTTTTTCCTACATCTTTTGGTGGTAGTGTTATCAATCTCAACGTGAAAAAGGAC
VV	TTTCGCGTTTTTCCTACATCTTTTGGTGGTAGTGTTATCAATCTCAACGTGAA <u>G</u> AAGGAC
NB	GTGGAAGATAACAGTAGGTGCAAGGCTTCGTCGGCACCATTGAGCGTAATCAACGACTTT
VV	GTGGAAGATAACAGTAGGTGCAAGGCTTCGTCGGCACCATTGAGCGTAATCAACGACTTT
NB	TTGAACGAAGTTAATCCCGGTACTGCGGTGATTGATTTTGGTGATTTTGTCCGCGGACTTC
VV	TTGAACGAAGTTAATCCCGGTACTGCGGTGATTTGATTT
NB	AGTACTGGGCCTTTTGAGTGCGGTGCCAGCGGTATTGTGGTGCGGGACAACATCTCCTCC
VV	AGTACTGGGCCTTTTGAGTGCGGTGCCAGCGGTATTGTGGTGCGGGACAACATCTCCTCC
NB	$\tt AGCAACATCACTGATCACGATAAGCAGCGTGTTTAGCGTAGTTCGGTCGCA{\color{red} G}CGATTCC$
VV	AGCAACATCACTGATCACGATAAGCAGCGTGTTTAGCGTAGTTCGGTCGCA <u>A</u> GCGATTCC
NB	GCGTAGAAAACCTTCTCTACAAGAAAATTTGTATTCGTTTGAAGCGCGGAATTATAACTT
VV	GCGTAGAAAACCTTCTCTACAAGAAAATTTGTATTCGTTTGAAGCGCGGAATTATAACTT
NB	CTCGACTTGCGACCGTTACACATCTGCTTCAATGTTCGGAGAGGCTATGGCGATGAACTG
VV	CTCGACTTGCGACCGTTACACATCTGCTTCAATGTTCGGAGAGGCTATGGCGATGAACTG
NB	TCTTCGTCGTTGCTTCGACCTAGATGCCTTTTCGTCCCTGCGTAATGATGTGATTAGTAT
VV	TCTTCGTCGTTGCTTCGACCTAGATGCCTTTTCGTCCCTGCGTAATGATGTGATTAGTAT
NB	CACACGTTCAGGCATCGAACAATGGCTGGAGAAACGTACTCCTAGTCAGATTAAAGCATT
VV	CACACGTTCAGGCATCGAACAATGGCTGGAGAAACGTACTCCTAGTCAGATTAAAGCATT
NB	AATGAAGGATGTTGAATCGCCTTTGGAAATTGACGATGAAATTTGTCGTTTTAAGTTGAT
VV	AATGAAGGATGTTGAATCGCCTTTGGAAATTGACGATGAAATTTGTCGTTTTAAGTTGAT
NB	${\tt GGTGAAGCGTGACGCTAAGGTGAAGTTAGACTCTTCTTGTTTAACTAAACACAGC{\tt GCCCGC}}$
VV	GGTGAAGCGTGACGCTAAGGTGAAGTTAGACTCTTCTTGTTTAACTAAACACAGC <u>C</u> CCGC
NB	TCAAAATATCATGTTTCATCGCAAGAGCATTAATGCTATCTTCTCTCCTATCTTTAACGA
VV	TCAAAATATCATGTTTCATCGCAAGAGCATTAATGCTATCTTCTCTCCTATCTTTAA <u>T</u> GA
NB	GGTGAAAAACCGAATAATGTGCTGTCTTAAGCCTAACATAAAGTTTTTTACGGAGATGAC
VV	GGTGAAAAACCGAATAATGTGCTGTCTTAAGCCTAACATAAAGTTTTTTACGGAGATGAC
NB	TAACAGGGATTTTGCTTCTGTTGTCAGCAACATGCTTGGTGACGACGATGTGTACCATAT
VV	TAACAGGGATTTTGCTTCTGTTGTCAGCAACATGCTTGGTGACGACGATGTGTACCATAT
NB	AGGTGAAGTTGATTTCTCAAAGTACGACAAGTCTCAAGATGCTTTCGTGAAGGCTTTTGA
VV	AGGTGAAGTTGATTTCTCAAAGTACGACAAGTCTCAAGATGCTTTCGTGAAGGCTTTTGA
NB	AGAAGTGATGTATAAGGAACTCGGTGTTGATGAAGAGTTGCTGGCTATCTGGATGTGCGG
VV	AGAAGTGATGTATAAGGAACTCGGTGTTGATGAAGAGTTGCTGGCTATCTGGATGTGCGG

Figura 14

NB VV	${\tt CGAGCGGTTATCGATAGCTAACACTCTCGATGGTCAGTTGTCCTTCACGATCGAGAATCACGAGCGGTTATCGATAGCTAACACTCTCGATGGTCAGTTGTCCTTCACGATCGAGAATCACGATCGAGAATCACGATCGAGAATCACGATCGAGAATCACGATCGAGAATCACGAGATCGAGAATCACGATCGAGAATCACGATCGAGAATCACGATCGAGAATCACGATCGAGAATCACGATCGAGAATCACGATCGAGAATCACACGATCGAGAATCACACGATCGAGAATCACACGATCGAGAATCACACGATCGAGAATCACACGATCGAGAATCACACGATCGAGAATCACACGATCGAGAATCACACGATCGAGAATCACACGATCGAGAATCACACGATCGAGAATCACACGATCGAGAATCACACGATCGAGAATCACACGATCGAGAATCACACACA$
NB	AAGGAAGTCGGGAGCTTCGAACACTTGGATTGGTAACTCTCTCGTCACTTTTGGGTATTTT
VV	AAGGAAGTCGGGAGCTTCGAACACTTGGATTGGTAACTCTCTCGTCACTTTGGGTATTTT
NB VV	${\tt AAGTCTTTACTACGACGTTAGAAATTTCGAGGCGTTGTACATCTCGGGCGATGATTCTTTAGAGTCTTTACTACGACGTTAGAAATTTCGAGGCGTTGTACATCTCGGGCGATGATTCTTT}$
NB VV	${\tt AATTTTTTCTCGCAGCGAGATTTCGAATTATGCCGACGACATATGCACTGACATGGGTTTATTTTTTCTCGCAGCGAGATTTCGAATTATGCCGACGACATATGCACTGACATGGGTTTATGCCGACGACATATGCACTGACATGGGTTTATGCACTGACATGACATGGGTTTATGCACTGACATGGGTTTATGCACTGACATGACATGGGTTTATGCACTGACATGACATGGGTTTATGCACTGACATGGGTTTATGCACTGACATGACATGACATGGGTTTATGCACTGACATGACATGGGTTTATGCACTGACATGACATGGGTTTATGCACTGACATGACATGGGTTTATGCACTGACATGACATGGGTTTATGCACTGACATGACATGGGTTTATGCACTGACATGACATGGGTTTATGCACTGACATGACATGGGTTTATGCACTGACATGACATGGGTTTATGCACTGACATATGACAT$
NB VV	${\tt TGAGACAAAATTTATGTCCCCAAGTGTCCCGTACTTTTGTTCTAAATTTGTTGTTATGTG}\\ {\tt TGAGACAAAATTTATGTCCCCAAGTGTCCCGTACTTTTGTTCTAAATTTGTTGTTATGTG}\\$
NB VV	$\tt TGGTCATAAGACGTTTTTGTTCCCGACCCGTACAAGCTTTTTGTCAAGTTGGGAGCAGTTGGTCATAAGACGTTTTTTGTTCCCGACCCGTACAAGCTTTT\underline{C}GTCAAGTTGGGAGCAGT$
NB VV	$\texttt{CAAAGAGGATGTTTCAATGGATTTCCTTTTCGAAACTTTTACCTCCTTTAAAGACTTAACCAAAGAGGATGTTTCAATGGATTTCCTTTTCGA\underline{G}\texttt{A}\texttt{C}\texttt{C}\texttt{T}\texttt{T}\texttt{T}\texttt{A}\texttt{C}\texttt{C}\texttt{C}\texttt{C}\texttt{T}\texttt{T}\texttt{T}\texttt{A}\texttt{A}\texttt{G}\texttt{A}\texttt{C}\texttt{T}\texttt{T}\texttt{A}\texttt{A}\texttt{C}$
NB VV	$\tt CTCCGATTTTAACGACGAGCGCTTAATTCAAAAGCTCGCTGAACTTGTGGCTTTAAAATACTCCGATTTTAACGACGAGCGCTTAATTCAAAAGCTCGCTGAACTTGTGGCTTTAAAATACTCCGATTTTAACGACGACGCTTAAAATACTCAAAAGCTCGCTGAACTTGTGGCTTTAAAATACTCCGATTTTAACAAAAGCTCGCTGAACTTGTGGCTTTAAAATACTCCGATTTTAACAAAAGCTCGCTGAACTTGTGGCTTTAAAATACTCCGATTTTAACAAAAGCTCGCTGAACTTGTGGCTTTAAAATACTCCGATTTTAACAAAAGCTCGCTGAACTTGTGGCTTTAAAATACTCCGATTTTAACAAAAGCTCGCTGAACTTGTGGCTTTAAAAATACTCCGATTTAAAATAAAT$
NB VV	${\tt TGAGGTTCAAACCGGCAACACCACCTTGGCGTTAAGTGTGATACATTGTTTGCGTTCGAATGAGGGTTCAAACCGGCAA\underline{{\tt T}}{\tt ACCACCTTGGCGTTAAGTGTGATACATTGTTTGCGTTCGAATGAGGGTTCAAACCGGCAA\underline{{\tt T}}{\tt ACCACCTTGGCGTTAAGTGTGATACATTGTTTGCGTTCGAATGAGGGTGAAACCGGCAA\underline{{\tt T}}{\tt ACCACCTTGGCGTTAAGTGTGATACATTGTTTGCGTTCGAATGAGGGTGAAACCGGCAA\underline{{\tt T}}{\tt ACCACCTTGGCGTTAAGTGTGATACATTGTTTGCGTTCGAAATGAGGGTGAAACCACCGGCAAAACCGGCAAAACACCACCTTGGCGTTAAGTGTGATACATTGTTTGCGTTCGAAATGAGGTGAAACCACCGGCAAAACACCACCTTGGCGTTAAGTGTGATACATTGTTTGCGTTCGAAATGAGAAACACCGGCAAAACACACCTTGGCGTTAAGTGTGAAACATTGTTTGCGTTCGAAAACACCGGCAAAACACACCTTGGCGTTAAGTGTGAAACATTGTTTGCGTTCGAAAACACCACCTTGGCGTTAAGTGTGAAACATTGTTTGCGTTCGAAAACACCACCTTGGCGTTAAGTGTGAAACATTGTTTGCGTTCGAAAACACACAC$
NB VV	$\tt TTTCCTCTCGTTTAGCAAGTTGTATCCTCGCGTGAAGGGATGGCAGGTTTTTTACACGTCTTTCCTCTCGTTTAGCAAGTTGTATCCTCGCGTGAAGGGATGGCAGGTTTTTTACACGTCTTTTCCTCGCGTGAAGGGATGGCAGGTTTTTTACACGTCTTTTCCTCGCGTGAAGGGATGGCAGGTTTTTTACACGTCTTTTTTTT$
NB VV	${\tt GGTTAAGAAAGCGCTTCTCAAGAGTGGGTGTTCTCTTCGACAGTTTCATGACCCCTTT} \\ {\tt GGTTAAGAAAGCGCTTCTCAAGAGTGGGTGTTCTCTCTTCGACAGTTTCATGACCCCTTT} \\$
NB VV	${\tt TGGTCAGGCTGTCATGGTTTGGGATGATGAGTAGCGCTAACTTGTGCGCAGTTTCTTTGTTGGTCAGGCTGTCATGGTTTGGGATGAGTAGCGCTAACTTGTGCGCAGTTTCTTTGTTGGGATGAGTAGCGCTAACTTGTGCGCAGTTTCTTTGTTGTGGGATGAGTAGCGCTAACTTGTGCGCAGTTTCTTTGTTGTGGGATGAGTAGCGCTAACTTGTGCGCAGTTTCTTTGTTGTGTGCGCAGTTTCTTTGTTGTGTGTG$
NB VV	${\tt TCGTGACATACACCTTGTGTGTCACCGTGCGTTTATAATGAATCAGGTTTTGCAGTTTGATCGTGACATACACCTTGTGTGTCACCGTGCGTTTATAATGAATCAGGTTTTGCAGTTTGATTGA$
NB VV	$\textbf{ATGTTTA} \textbf{TTTCTGCTGAATCTCGCGGTTTTTGCTGTGACTTTCATTTTCATTCTTCTGGTATGTTT\underline{\textbf{G}} TTTCTGCTGAATCTCGCGGGTTTTTGCTGTGACTTTCATTTTCATTCTTCTGGTATGTTTCATTCTTCTGGTATGTTTTCATTCTTCTGGTATGTTTTCATTCTTCTGGTATGTTTTCATTCTTCTGGTATGTTTTCATTCTTCTGGTATGTTTTCATTCTTCTGGTATGTTTTCATTCTTCTGGTATGTTTTCATTCTTCTGGTATGTTTTCATTCTTCTGGTATGTTTTCATTCTTCTGGTATGTTTTCATTCTTCTGGTATGTTTTCATTCTTCTGGTATGTTTTCATTCTTCTGGTATGTTTTCATTCTTCTGGTATGTTTTCATTCTTCTGGTATGTTTTTCATTCTTCTGGTATGTTTTCATTCTTCTGGTATGTTTTTCATTCTTCTGGTATGTTTTCATTCTTCTGGTATGTTTTCATTCTTCTGGTATGTTTTCATTCTTCTGGTATGTTTTCATTCTTCTGGTATGTTTTCATTCTTCTGGTATGTTTTCATTCTTCTGGTATGTTTTCATTCTTCTGGTATGTTTTTCATTCTTCTGGTATGTTTTTTCATTCTTCTGGTATGTTTTTCATTCTTCTGGTATGTTTTTTTT$
NB VV	$\tt CTTCCGCGTGATTAAGTCTTTTCGCCAGAAGGGTCACGAAGCGCCTGTTCCCGTTGTTCGCTTCCCGCTGATTAAGTCTTTTCGCCAGAAGGGTCACGAAGC\underline{\textbf{\textit{A}}}\texttt{CCTGTTCCCGTTGTTCG}$
NB VV	$\tt TGGCGGGGGTTTTTCAACCGTAGTGTAGTCAAAAGACGCGCATATGGTAGTTTTCGGTTTTGGCGGGGGGTTTTTCAACCGTAGTGTAGTCAAAAGACGCGCATATGGTAGTTTTCGGTTTT$
NB VV	${\tt GGACTTTGGCACCACATTCTCTACGGTGTGTGTACAAGGATGGACGAGTTTTTTCATT}\\ {\tt GGACTTTGGCACCACATTCTCTACGGTGTGTGTACAAGGATGGACGAGTTTTTTCATT}\\$
NB VV	CAAGCAGAATAATTCGGCGTACATCCCCACTTACCTCTATCTCTCTC
NB VV	$\tt CATGACTTTTGGTTACGAGGCCGAATCACTGATGAGTAATCTGAAAGTTAAAGGTTCGTTC$
NB VV	${\tt TTATAGAGATTTAAAACGTTGGGTGGGTTGCGATTCGAGTAACCTCGACGCGTACCTTGATTATAGAGATTTAAAACGTTGGGTGGG$

Figura 14

NR	CCGTTTAAAACCTCATTACTCGGTUCGCTTGGTTAAGATCGGCTCTGGCTTGAACGAAAC
VV	CCGTTTAAAACCTCATTACTCGGTCCGCTTGGTTAAGATCGGCTCTGGCTTGAACGAAAC
NB	TGTTTCAATTGGAAACTTTGGGGGCACTGTTAAGTCTGAGGCTCATCTGCCAGGGTTGAT
VV	TGTTTCAATTGGAAACTTCGGGGGCACTGTTAAGTCTGAGGCTCATCTGCCAGGGTTGAT
NB	AGCTCTCTTTATTAAGGCTGTCATTAGTTGCGCGGAGGGCGCGTTTGCGTGCACTTGCAC
VV	AGCTCTCTTTATTAAGGCTGTCATTAGTTGCGCGGAGGGCGCGTTTGCGTGCACTTGCAC
NB	CGGGGTTATTTGTTCAGTACCTGCCAATTATGATAGCGTTCAAAGGAATTTCACTGATCA
VV	CGGGGTTATTTGTTCAGTACCTGCCAATTATGATAGCGTTCAAAGGAATTTCACTGATCA
NB	GTGTGTTTCACTCAGCGGTTATCAATGCGTATATATGATCAATGAACCTTCAGCGGCTGC
VV	GTGTGTTTCACTCAGCGGTTATCAGTGCGTATATATGATCAATGAACCTTCAGCGGCTGC
NB	GCTATCTGCGTGTAATTCGGTTGGAAAGAAGTCCGCAAATTTGGCTGTTTACGATTTCGG
VV	GCTATCTGCGTGTAATTCGGTTGGAAAGAGTCCGCAAATTTGGCTGTTTACGATTTCGG
NB	TGGTGGGACCTTCGACGTGTCTATCATTTCATACCGCAACAATACTTTTGTTGTGCGAGC
VV	${\tt TGGTGGGACCTTCGACGTGTCTATCATTCATACCGCAACAATACTTTTGTTGTGCGAGC}$
NB	TTCTGGAGGCGATCTAAATCTCGGTGGAAGGGATGTTGATCGTGCGTTTCTCACGCACCT
VV	TTCTGGAGGCGATCTAAATCTCGGTGGAAGGGATGTTGATCGTGCGTTTCTCACGCACCT
NB	CTTCTCTTTAACATCGCTGGAACCTGACCTCACTTTGGATATCTCGAATCTGAAAGAATC
VV	CTTCTCTTTAACATCGCTGGAACCTGACCTCACTTTGGATGTCTCGAATCTGAAAGAATC
NB	TTTATCAAAAACGGACGCAGAGATAGTTTACACTTTGAGAGGTGTCGATGGAAGAAAAGA
VV	TTTATCAAAAACGGACGCAGAGATAGTTTACACTTTGAGAGGTGTCGATGGAAGAAAGA
NB	AGACGTTAGAGTAAACAAAAACATTCTTACGTCGGTGATGCTCCCCTACGTGAACAGAAC
VV	AGACGTTAGAGTAAACAAAAACATTCTTACGTCGGTGATGCTCCCCTACGTGAACAGAAC
NB	GCTTAAGATATTAGAGTCAACCTTAAAAACGTATGCTAAGAGTATGAATGA
VV	GCTTAAGATATTAGAGTCAACCTTAAAA <u>T</u> CGTATGCTAAGAGTATGAATG <u>T</u> GAGTGCGCG
NB	AGTTAAGTGCGATTTAGTGCTGATAGGAGGATCTTCATATCTTCCTGGCCTGGCAGACGT
VV	AGTTAAGTGCGATTTAGTGCTGATAGGAGGATCTTCATATCTTCCTGGCCTGGCAGACGT
NB	ACTAACGAAGCATCAGAGCGTTGATCGTATCTTAAGAGTTTCGGATCCTCGGGCTGCCGT
VV	ACTAACGAAGCATCAGAGCGTTGATCGTATCTTAAGAGTTTCGGATCCTCGGGCTGCCGT
NB	GGCCGTCGGTTGCGCACTATATTCTTCATGCCTCTCAGGATCTGGGGGGGTTGCTACTGAT
VV	${\tt GGCCGTCGGTTGCGCA}{\underline{{m r}}}{\tt TATATTCTTCATGCCTCTCAGGATCTGGGGGGGTTGCTACTGAT$
NB	CGACTGTGCAGCTCACACTGTCGCTATAGCGGACAGAAGTTGTCAGCAAATCATTTGCGC
VV	CGACTGTGCAGCTCACACTGTCGCTATAGCGGACAGAAGTTGTCATCAAATCATTTGCGC
NB	TCCAGCGGGGCACCGATCCCCTTTTCAGGAAGCATGCCTTTGTACTTAGCCAGGGTCAA
VV	TCCAGCGGGGCACCGATCCCCTTTCAGGAAGCATGCCTTTGTACTTAGCCAGGGTCAA
NB	CAAGAACTCGCAGCGTGAAATCGCCGTGTTTGAAGGGGAGTACGTTAAGTGCCCTAAGAA
vv	CAAGAACTCGCAGCGTGAA <u>G</u> TCGCCGTGTTTGAAGGGGAGTACGTTAA <u>A</u> TGCCCTAAGAA
NB	CAGAAAGATCTGTGGAGCAAATATAAGATTTTTTGATATAGGAGTGACGGGTGATTCGTA
VV	CAGAAAGATCTGTGGAGCAAATATAAGATTTTTTGATATAGGAGTGACGGGTGATTCGTA
NB	CGCACCCGTTACCTTCTATATGGATTTCTCCATTTCAAGCGTAGGAGCCGTTTCATTCGT
VV	CGCACCCGTTACCTTCTATATGGATTTCTCCATTTCAAGCGTAGGAGCCGTTTCATTCGT

Figura 14

NB	GGTGAGAGGTCCTGAGGGTAAGCAAGTGTCACTCACTGGAACTCCAGCGTATAACTTTTC
VV	GGTGAGAGGTCCTGAGGGTAAGCAAGTGTCACTCACTGGAACTCCAGCGTATAACTTTTC
MD	GTCTGTGGCTCTCGGATCACGCAGTGTCCGAGAATTGCATATTAGTTTAAATAATAAAGT
NB VV	GTCTGTGGCTCTCGGATCACGCAGTGTCCGAGAATTGCATATTAGTTTAAATAATAAAGT
NB	TTTTCTCGGTTTGCTTCTACATAGAAAGGCGGATCGACGAATACTTTTCACTAAGGATGA
VV	TTTTCTCGGTTTGCTTCTACATAGAAAGGCGGATCGACGAATACTTTTCACTAAGGATGA
NB	AGCGATTCGATACGCCGATTCAATTGATATCGCGGATGTGCTAAAGGAATATAAAAGTTA
VV	AGCGATTCGATACGCCGATTCAATTGATATCGCGGATGTGCTAAAGGAATATAAAAGTTA
NB	CGCGGCCAGTGCCTTACCACCAGACGAGGATGTCGAATTACTCCTGGGAAAGTCTGTTCA
VV	CGCGGCCAGTGCCTTACCACCAGACGAGGATGTCGAATTACTCCTGGGAAAGTCTGTTCA
NB	AAAAGTTTTACGGGGAAGCAGACTGGAAGAATACCTCTCTAGGAGCATAGCAGCACACT
VV	AAAAGTTTTACGGGGAAGCAGACTGGAAGAATACCTCTCTAGGAGCATAGCAGCACACT
NB	CAAGTGAAATTAAAACTCTACCAGACATTCGATTGTACGGCGGTAGGGTTGTAAAGAAGT
VV	CAAGTGAAATTAAAACTCTACCAGACATTCGATTGTACGGCGGTAGGGTTGTAAAGAAGT
NB	CCGATTTCGAATCAGCACTTCCTAATTCTTTTGAACAGGAATTAGGACTGTTCATACTGA
VV	CCGATTTCGAATCAGCACTTCCTAATTCTTTTGAACAGGAATTAGGACTGTTCATACTGA
NB	GCGAACGGGAAGTGGGATGGAGCAAATTATGCGGAATAACGGTGGAAGAAGCAGCATACG
VV	GCGAACGGGAAGTGGGATGGAGCAAATTATGCGGAATAACGGTGGAAGAAGCAGCATACG
NB	ATCTTACGAATCCCAAGGCTTATAAATTCACTGCCGAGACATGTAGCCCGGATGTAAAAG
VV	ATCTTACGAATCCCAAGGCTTATAAATTCACTGCCGAGACATGTAGCCCGGATGTAAAAG
NB	GTGAAGGACAAAAATACTCTATGGAAGACGTGATGAATTTCATGCGTTTATCAAATCTGG
VV	GTGAAGGACAAAAATACTCTATGGAAGACGTGATGAATTTCATGCGTTTATCAAATCTGG
NB	${\tt ATGTTAACGACAAGATGCTGGCGGAACAGTGTTGGTCGCTGTCCAATTCATGCGGTGAAT}$
VV	ATGTTAACGACAAGATGCTGGCGGAACAGTGTTGGTCGCTGTCCAATTCATGCGGTGAAT
NB	TGATCAACCCAGACGACAAAGGGCGATTCGTGGCTCTCACCTTTAAGGACAGAGACACAG
VV	TGATCAACCCAGACGACAAAGGGCGATTCGTGGCTCTCACCTTTAAGGACAGAGACACAG
NB	CTGATGACACGGGTGCCGCCAACGTGGAATGTCGCGTGGGCGACTATCTAGTTTACGCTA
VV	CTGATGACACGGGTGCCGCCAACGTGGAATGTCGCGTGGGCGACTATCTAGTTTACGCTA
NB	TGTCCCTGTTTGAGCAGAGGACCCAAAAATCGCAGTCTGGCAACATCTCTCTGTACGAAA
VV	TGTCCCTGTTTGAGCAGAGGACCCAAAAATCGCAGTCTGGCAACATCTCTCTGTACGAAA
NB	AGTACTGCGAATACATCAGGACCTACTTAGGGAGTACAGACCTGTTTTTCACAGCGCCGG
VV	agtactgcgaata <u>r</u> atcaggacctacttagggagtac <b>g</b> gacctgtttttcacagcgccgg
NB	ACAGGATTCCGTTACTTACGGGCATCCTATACGATTTTTGTAAGGAATACAACATTTTCT
VV	ACAGGATTCCGTTACTTACGGGCATCCTGTACGATTTTTGTAAGGAATACAACATTTTCT
NB	${\tt ACTCGTCATATAAGAGAAACGTCGATAATTTCAGATTCTTCTTGGC} {\tt GAATTATATGCCTT}$
VV	actcgtcatataagagaaacgtcgataatttcagattcttcttggc <u>a</u> aattatatgcctt
NB	TGATATCTGACGTCTTTGTCTTCCAGTGGGTAAAACCCGCGCCGGATGTTCGGCTGCTTT
VV	TGATATCTGACGTCTTTGTCTTCCAGTGGGTAAAACCCGCGCGGATGTTCGGCTGCTTT
NB	TTGAGTTAAGTGCAGCGGAACTAACGCTGGAGGTTCCCACACTGAGTTTGATAGATTCTC
VV	TTGAGTTAAGTGCAGCGGAACTAACGCTGGAGGTTCCCACACTGAGTTTGATAGATTCTC

Figura 14

NB	AAGTTGTGGTAGGTCATATCTTAAGATACGTAGAATCCTACACATCAGATCCAGCCATCG
VV	AAGTTGTGGTAGGCCATATCTTAAGATACGTAGAATCCTACACATCAGATCCAGCCATCG
NB	ACGCGTTAGAAGACAAACTGGAAGCGATACTGAAAAGTAGCAATCCCCGTCTATCGACAG
VV	ACGCGTTAGAAGACAAACTGGAAGCGATACTGAAAAGTAGCAATCCCCGTCTATCGACAG
NB VV	$\tt CGCAACTATGGGTTGGTTTCTTTTGTTACTATGGTGAGTTTCGTACGGCTCAAAGTAGAGCGCAACTATGGGTTGGTT$
NB	TAGTGCAAAGACCAGGCGTATACAAAACACCTGACTCAGTGGGTGG
NB	TGAAAGATGTTGAGAAATTCTTCGATAAACTTCAGAGAGAATTGCCTAATGTATCTTTGC
VV	TGAAAGATGTTGAGAAATTCTTCGATAAACTTCAGAGAGAATTGCCTAATGTATCTTTGC
NB	GGCGTCAGTTTAACGGAGCTAGAGCGCATGAGGCTTTCAAAATATTTTAAAAACGGAAATA
VV	GGCGTCAGTTTAACGGAGCTAGAGCGCATGAGGCTTTCAAAATATTTAAAAAACGGAAATA
NB VV	$\texttt{TAAGTTTCA} \underline{\textbf{A}} \texttt{ACCTATATCGCGTTTAAACGTGCC} \underline{\textbf{TAGAGAGAGTTCTGGTATCTGAACATAG} \\ \texttt{TAAGTTTCA} \underline{\textbf{G}} \texttt{ACCTATATCGCGTTTAAACGTGCC} \underline{\textbf{C}} \texttt{AGAGAGTTCTGGTATCTGAACATAG} \\$
NB	ACTACTTCAGGCACGCGAATAGGTCCGGGTTAACCGAAGAAGAAATACTCATCCTAAACA
VV	ACTACTTCAGGCACGCGAATAGGTCCGGGTTAACCGAAGAAGAAATACTCATCCTAAACA
NB VV	ACATAAGCGTTGATGTTAGGAAGTTATGCGCTGAGAGAGCGTGCAATACCCTACCTA
NB	CGAAGCGCTTTAGTAAAAATCATAAGAGTAATATACAATCATCACGCCAAGAGCGGAGGA
VV	CGAAGCGCTTTAGTAAAAATCATAAGAGTAATATACAATCATCACGCCAAGAGCGGAGGA
NB	TTAAAGACCCATTGGTAGTCCTGAAAGACACTTTATATGAGTTCCAACGCAAGCGTGCCG
VV	TTAAAGACCCATTGGTAGTCCTGAAAGACACTTTATATGAGTTCCAACACAAGCGTGCCG
NB VV	GTTGGGGGTCTCGAAGCACTCGAGACCTCGGGAGTCGTGCCACCGCGAAAGGAAGCGGTTGGGGGTCTCGAAGCACTCGAGACCTCGGGAGTCGTGCTGACCACGCGAAAGGAAGCG
NB	GTTGATAAGTTTTTTAATGAACTAAAAAACGAAAATTACTCATCAGTTGACAGCAGCCGA
VV	GTTGATAAGTTTTT <u>C</u> AATGAACTAAAAAACGAAAATTACTCATCAGTTGACAGCAGCCGA
NB VV	TTAAGCGATTCGGAAGTAAAAGAAGTGTTAGAGAAAAGTAAAGAAAG
NB	CTGGCCTCCACTGACGAGCACTTCGTCTACCACATTATATTTTTCTTAATCCGATGTGCT
VV	CTGGCCTCCACTGACGAGCACTTCGTCTACCACATTATATTTTTCTTAATCCGATGTGCT
NB VV	AAGATATCGACGAGTGAAAAAGTGAAGTACGTTGGTAGTCATACGTACG
NB	AAAACGTACACCGTTCTTGACGCTTGGGTATTCAACATGATGAAAAGTCTCACGAAGAAG
VV	AAAACGTACACCGTTCTTGACGCTTGGGTATTCAACATGATGAAAAGTCTCACGAAGAAG
NB	TACAAACGAGTGAATGGTCTGCGTGCGTTCTGTTGCGCGTGCGAAGATCTATATCTAACC
VV	TACAAACGAGTGAATGGTCTGCGTGCGTTCTGTTGCGCGTGCGAAGATCTATATCTAACC
NB	GTCGCACCAATAATGTCAGAACGCTTTAAGACTAAAGCCGTAGGGATGAAAGGTTTGCCT
VV	GTCGCACCAATAATGTCAGAACGCTTTAAGACTAAAGCCGTAGGGATGAAAGGTTTGCCT
NB	GTTGGAAAGGAATACTTAGGCGCCGACTTTCTTTCGGGAACTAGCAAACTGATGAGCGAT
VV	GTTGGAAAGGAATACTTAGGCGCCGACTTTCTTTCGGGAACTAGCAAACTGATGAGCGAT

Figura 14

NB	CACGACAGGGGGGTCTCCATCGTTGCAGCGAAAAACGCTGTCGATCGTAGCGCTTTCACG
VV	CACGACAGGGCGGTCTCCATCGTTGCAGCGAAAAACGCTGTCGATCGTAGCGCTTTCACG
NB	GGTGGGGAGAAAGATAGTTAGTTTGTATGATCTAGGGAGGTACTAAGCACGGTGTGCT
VV	GGTGGGGAGAAAGATAGTTAGTTTGTATGATCTAGGGAGGTACTAAGCACGGTGTGCT
NB	ATAGTGCGTGCTATAATAATAAACACTAGTGCTTAAGTCGCGCAGAAGAAAACGCTTAAT
VV	ATAGTGCGTGCTATAATAAACACTAGTGCTTAAGTCGCGCAGAAGAAAACGCTTAAT
NB	TAACAATGAAGACTAATCTTTTTCTCTTTTCTCATCTTTTCACTTCTCCTATCATTATCCT
vv	TAACAATGAAGACTAATCTTTTTCTCTTTTCTCATCTTTTCACTTCTCCTATCATTATCCT
NB	CGGCCGAATTCAGTAAAGGAGAAGAACTTTTCACTGGAGTTGTCCCAATTCTTGTTGAAT
VV	CGGCCGAATTCAGTAAAGGAGAAGAACTTTTCACTGGAGTTGTCCCAATTCTTGTTGAAT
NB	TAGATGGTGATGTTAATGGGCACAAATTTTCTGTCAGTGGAGAGGGTGAAGGTGATGCAA
VV	TAGATGGTGATGTTAATGGGCACAAATTTTCTGTCAGTGGAGAGGGTGAAGGTGATGCAA
NB	CATACGGAAAACTTACCCTTAAATTTATTTGCACTACTGGAAAACTACCTGTTCCATGGC
VV	CATACGGAAAACTTACCCTTAAATTTATTTGCACTACTGGAAAACTACCTGTTCCATGGC
NB	CAACACTTGTCACTACTTTCTCTTATGGTGTTCAATGCTTTTCAAGATACCCAGATCATA
VV	CAACACTTGTCACTACTTTCTCTTATGGTGTTCAATGCTTTTCAAGATACCCAGATCATA
NB	TGAAGCGGCACGACTTCTTCAAGAGCGCCATGCCTGAGGGATACGTGCAGGAGAGGACCA
VV	TGAAGCGGCACGACTTCTTCAAGAGCGCCATGCCTGAGGGATACGTGCAGGAGAGGACCA
NB	TCTTCTTCAAGGACGACGGGAACTACAAGACACGTGCTGAAGTCAAGTTTGAGGGAGACA
VV	TCTTCTTCAAGGACGACGGGAACTACAAGACACGTGCTGAAGTCAAGTTTGAGGGAGACA
NB	CCCTCGTCAACAGGATCGAGCTTAAGGGAATCGATTTCAAGGAGGACGGAAACATCCTCG
VV	CCCTCGTCAACAGGATCGAGCTTAAGGGAATCGATTTCAAGGAGGACGGAAACATCCTCG
NB	GCCACAAGTTGGAATACAACTACAACTCCCACAACGTATACATCATGGCCGACAAGCAAA
vv	GCCACAAGTTGGAATACAACTACAACTCCCACAACGTATACATCATGGCCGACAAGCAAA
NB	AGAACGGCATCAAAGCCAACTTCAAGACCCGCCACAACATCGAAGACGGCGGCGTGCAAC
vv	AGAACGGCATCAAAGCCAACTTCAAGACCCGCCACAACATCGAAGACGGCGGCGTGCAAC
NB	TCGCTGATCATTATCAACAAAATACTCCAATTGGCGATGGCCCTGTCCTTTTACCAGACA
VV	TCGCTGATCATTATCAACAAAATACTCCAATTGGCGATGGCCCTGTCCTTTTACCAGACA
NB	ACCATTACCTGTCCACACAATCTGCCCTTTCGAAAGATCCCAACGAAAAGAGAGACCACA
vv	ACCATTACCTGTCCACACAATCTGCCCTTTCGAAAGATCCCAACGAAAAGAGAGACCACA
NB	TGGTCCTTCTTGAGTTTGTAACAGCTGCTGGGATTACACATGGCATGGATGAACTATACA
VV	TGGTCCTTCTTGAGTTTGTAACAGCTGCTGGGATTACACATGGCATGGATGAACTATACA
NB	AACATGATGAGCTTTAGGCCGGCCTAAACTGTTCCTGAATAGAACCATTGGCAAACGTGG
vv	AACATGATGAGCTTTAGGCCGGCCTAAACTGTTCCTGAATAGAACCATTGGCAAACGTGG
NB	GATCCCGTCAGGGTATGAGTTCCTCGGGGCAGATTTTCTAACTGCGACCAGCGTGTTTT
vv	GATCCCGTCAGGGTATGAGTTCCTCGGGGCAGATTTTCTAACTGCGACCAGCGTGTGTTT
NB	GAACGATCACGAAAAAGCTATCGTACTACAGGCCTCAAGAGCTGCCATTGATAGAGCAGT
VV	GAACGATCACGAAAAAGCTATCGTACTACAGGCCTCAAGAGCTGCCATTGATAGAGCAGT
NB	CTCTTCGTCGGTCGACGGGAAGATCGTCAGTCTTTTCGACCTCGGTCGTCTTAGTTAACA
VV	$\tt CTCTTCGTCGGTCGACGGGAAGATCGTCAGTCTTTTCGACCTCGGTCGTCTTAGTTAACA$

Figura 14

NB VV	CAGTTACTAAGGTTCCATTTTATTATTGCATTGTTTTTCATTTAGTGTAATCGTACTTGA CAGTTACTAAGGTTCCATTTTATTATTGCATTGTTTTTCATTTAGTGTAATCGTACTTGA
ND	C $T$
NB VV	GTTCTAATCCTGCAGGCTATGGAGTTGATGTCCGACAGCAACCTTAGCAACCTGGTGATA GTTCTAATCCTGCAGGCTATGGAGTTGATGTCCGACAGCAACCTTAGCAACCTGGTGATA
NB	ACCGACGCCTCTAGTCTAAATGGTGTCGACAAGAAGCTTTTATCTGCTGAAGTTGTAAAA
vv	ACCGACGCCTCTAGTCTAAATGGTGTCGACAAGAAGCTTTTATCTGCTGAAGTTGTAAAA
NB	$\tt ATGCTGGTGCAGAAAGGGGCTCCTAACGAGGGTATAGAAGTGGTGTTCGGTCTACTCCTT$
VV	$\mathtt{ATG}\underline{\mathtt{T}}\mathtt{T}\mathtt{G}\mathtt{G}\mathtt{T}\mathtt{G}\mathtt{C}\mathtt{A}\mathtt{A}\mathtt{A}\mathtt{G}\mathtt{G}\mathtt{G}\mathtt{G}\mathtt{C}\mathtt{T}\mathtt{C}\mathtt{C}\mathtt{T}\mathtt{A}\mathtt{C}\mathtt{G}\mathtt{A}\mathtt{G}\mathtt{G}\mathtt{G}\mathtt{G}\mathtt{T}\mathtt{A}\mathtt{G}\mathtt{A}\mathtt{A}\mathtt{G}\mathtt{T}\mathtt{G}\mathtt{G}\mathtt{T}\mathtt{C}\mathtt{T}\mathtt{C}\mathtt{C}\mathtt{T}\mathtt{T}$
NB	TACGCACTCGCGGCAAGAACCACGTCTCCTAAGGTTCAGCGCGCAGATTCAGACGTTATA
VV	TACGCACTCGCGGCAAGAACCACGTCTCCTAAGGTTCAGCGCGCAGATTCAGACGTTATA
NB	TTTTCAAATAGTTTCGGAGAGGGAATGTGGTAGTAACAGAGGGTGACCTTAAGAAGGTA
VV	TTTTCAAATAGTTTCGGAGAGAGGAATGTGGTAGTAACAGAGGGTGACCTTAAGAAGGTA
NB	CTCGACGGGTGTGCGCCTCTCACTAGGTTCACTAATAAACTTAGAACGTTCGGTCGTACT
VV	CTCGACGGGTGTGCGCCTCTCACTAGGTTCACTAATAAACTTAGAACGTTCGGTCGTACT
NB	TTCACTGAGGCTTACGTTGACTTTTGTATCGCGTATAAGCACAAATTACCCCAACTCAAC
VV	TTCACTGAGGCTTACGTTGACTTTTGTATCGCGTATAAGCACAAATTACCCCAACTCAAC
NB	GCCGCGGCGAATTGGGGATTCCAGCTGAAGATTCGTACTTAGCTGCAGATTTTCTGGGT
VV	$\texttt{GC}\underline{\boldsymbol{\tau}}\texttt{GCGGCGGAATTGGGGATTCCAGCTGAAGATTCGTACTTAGCTGCAGATTTTCTGGGT}$
NB	ACTTGCCCGAAGCTCTCTGAATTACAGCAAAGTAGGAAGATGTTCGCGAGTATGTACGCT
VV	ACTTGCCCGAAGCTCTCTGAATTACAGCAAAGTAGGAAGATGTTCGCGAGTATGTACGCT
NB	CTAAAAACTGAAGGTGGAGTGGTAAATACACCAGTGAGCAATCTGCGTCAGCTAGGTAGA
VV	CT#AAAACTGAAGGTGGAGTGGTAAATAC@CCAGTGAGCAATCTGCGTCAGCTAGGTAGA
NB	AGGGAAGTTATGTAATGGAAGATTACGAAGAAAAATCCGAATCGCTCATACTGCTACGCA
VV	AGGGAAGTTATGTAATGGAAGATTACGAAGAAAAATCCGAATCGCTCATACTGCTACGCA
NB	CGAATCTGAACACTATGCTTTTAGTGGTCAAGTCCGATGCTAGTGTAGAGCTGCCTAAAC
VV	CGAATCTGAACACTATGCTTTTAGTGGTCAAGTCCGATGCTAGTGTAGAGCTGCCTAAAC
NB	TACTAATTTGCGGTTACTTACGAGTGTCAGGACGTGGGGAGGTGACGTGTTGCAACCGTG
VV	TACTAATTTGCGGTTACTTACGAGTGTCAGGACGTGGGGGAGGTGACGTGTTGCAACCGTG
NB	AGGAATTAACAAGAGATTTTGAGGGCAATCATCATACGGTGATCCGTTCTAGAATCATAC
VV	AGGAATTAACAAGAGATTTTGAGGGCAATCATCATACGGTGATCCGTTCTAGAATCATAC
NB	AATATGACAGCGAGTCTGCTTTTGAGGAATTCAACAACTCTGATTGCGTAGTGAAGTTTT
VV	AATATGACAGCGAGTCTGCTTTTGAGGAATTCAACAACTCTGATTGCGTAGTGAAGTTTT
NB	TCCTAGAGACTGGTAGTGTCTTTTGGTTTTTCCTTCGAAGTGAAACCAAAGGTAGAGCGG
VV	TCCTAGAGACTGGTAGTGTCTTTTGGTTTTTCCTTCGAAGTGAAACCAAAGGTAGAGCGG
NB	TGCGACATTTGCGCACCTTCTTCGAAGCTAACAATTTCTTCTTTGGATCGCATTGCGGTA
VV	TGCGACATTTGCGCACCTTCTTCGAAGCTAACAATTTCTTCTTTGGATCGCATTGCGGTA
NB	CCATGGAGTATTGTTTGAAGCAGGTACTATCTGAAACTGAATCTATAATCGATTCTTTTT
VV	CCATGGAGTATTGTTTGAAGCAGGTACTA <u>A</u> CTGAAACTGAATCTATAATCGATTCTTTTT
NB	GCGAAGAAAGAAATCGTTAAGATGAGGGTTATAGTGTCTCCTTATGAAGCTGAAGACATT
VV	GCGAAGAAAGAAATCGTTAAGATGAGGGTTATAGTGTCTCCTTATGAAGCTGAAGACATT

Figura 14

NB	CTGAAAAGATCGACTGACATGTTACGAAACATAGACAGTGGGGTCTTGAGCACTAAAGAA
VV	CTGAAAAGATCGACTGACATGTTACGAAACATAGACAGTGGGGTCTTGAGCACTAAAGAA
NB	TGTATCAAGGCATTCTCGACGATAACGCGAGACCTACATTGTGCGAAGGCTTCCTACCAG
vv	TGTATCAAGGCATTCTCGACGATAACGCGAGACCTACATTGTGCGAAGGCTTCCTACCAG
NB	TGGGGTGTTGACACTGGGTTATATCAGCGTAATTGCGCTGAAAAACATTTAATTGACACG
VV	TGGGGTGTTGACACTGGGTTATATCAGCGTAATTGCGCTGAAAAAC <b>G</b> TTTAATTGACACG
NB	GTGGAGTCAAACATACGGTTGGCTCAACCTCTCGTGCGTG
vv	GTGGAGTCAAACATACGGTTGGCTCAACCTCTCGTGCGTG
NB	TGTAAGGATGAACCAAAAGAGCTAGTAGCATTCATCACGCGAAAGTACGTGGAACTCACG
VV	TGTAAGGATGAACCAAAAGAGCTAGTAGCATTCATCACGCGAAAGTACGTGGAACTCACG
NB	GGCGTGGGAGTGAGAGCGGTGAAGAGGGAAATGCGCTCTCTTACCAAAACAGTTTTA
VV	GGCGTGGGAGTGAGAAGCGGTGAAGAGGGAAATGCGCTCTCTTACCAAAACAGTTTTA
NB	AATAAAATGTCTTTGGAAATGGCGTTTTACATGTCACCACGAGCGTGGAAAAACGCTGAA
VV	AATAAAATGTCTTTGGAAATGGCGTTTTACATGTCACCACGAGCGTGGAAAAACGCTGAA
NB	$\tt TGGTTAGAACTAAAATTTTCACCTGTGAAAATCTTTAGAGATCT \ref{thm:constraint} TATTAGACGTGGAA$
VV	TGGTTAGAACTAAAATTTTCACCTGTGAAAATCTTTAGAGATCT <b>GC</b> TATTAGACGTGGAA
NB	ACGCTCAACGAATTGTGCGCCGAAGATGATGTTCACGTCGACAAAGTAAATGAGAATGGG
VV	ACGCTCAACGAATTGTGCGCCGAAGATGATGTTCACGTCGACAAAGTAAATGAGAATGGG
NB	GACGAAAATCACGACCTCGAACTCCAAGACGAATGTTAAACATTGGTTAAGTTTAACGAA
VV	GACGAAAATCACGACCTCGAACTCCAAGACGAATGTTAAACATTGGTTAAGTTTAACGAA
NB	AATGATTAGTAAATAAATCGAACGTGGGTGTATCTACCTGACGTATCAACTTAAGCT
VV	AATGATTAGTAAATAAATCGAACGTGGGTGTATCTACCTGACGTATCAACTTAAGCT
NB	GTTACTGAGTAATTAAACCAACAAGTGTTGGTGTAATGTGTATGTTGATGTAGAGAAAAA
VV	GTTACTGAGTAATTAAACCAACAAGTGTTGGTGTAATGTGTATGTTGATGTAGAGAAAAA
NB	TCCGTTTGTAGAACGGTGTTTTTCTCTTCTTTATTTTTAAAAAAAA
VV	TCCGTTTGTAGAACGGTGTTTTTCTCTTCTTTATTTTTAAAAAAAA
NB	AAAGAAGC
VV	AAAGAAGC

Figura 14